

## Autoensamblaje Dependiente de Coherencia en Anestésicos Dentales: Modulación Estructural mediante Exposición Pasiva a Campos

David Nixon, M.B., Ch.B.  
Investigador Independiente y Médico  
Brisbane, Australia

Email: [david@drdavidnixon.com](mailto:david@drdavidnixon.com) | Sitio web: [www.drdavidnixon.com](http://www.drdavidnixon.com) | ORCID: [0009-0007-9817-5421](https://orcid.org/0009-0007-9817-5421)

---

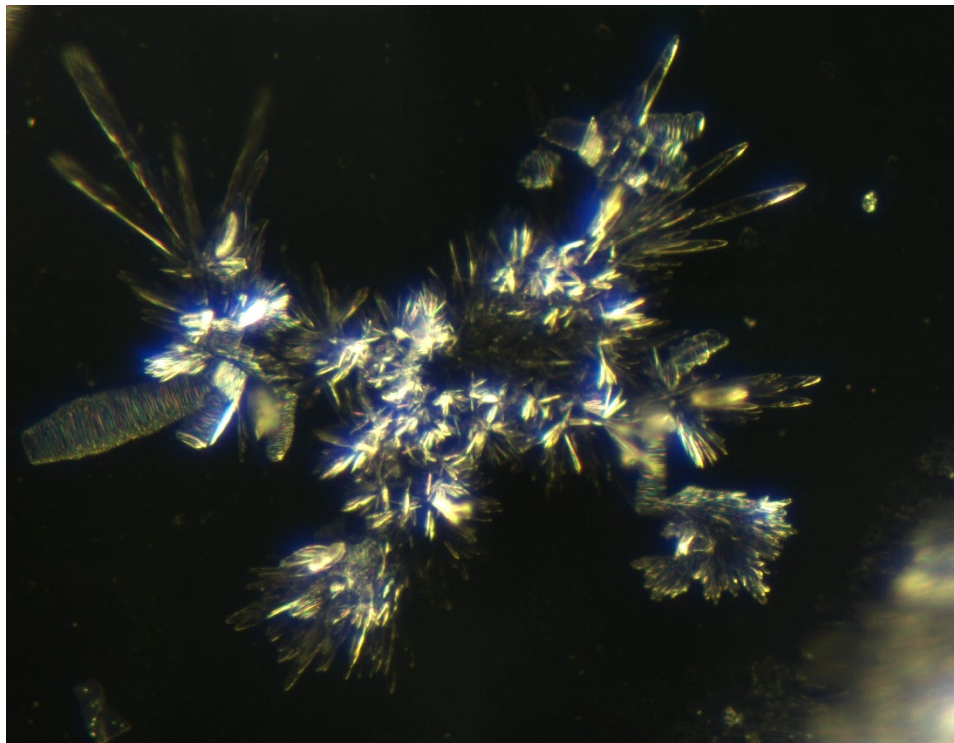


Imagen de portada. Estructuras cristalinas formadas en anestésico dental no tratado tras la evaporación de una gota sésil. Ensamblajes como estos, con geometría definida y motivos de ramificación, sirven como puntos de referencia para evaluar los efectos de los tratamientos basados en campos sobre el comportamiento del autoensamblaje.

## Dedicación: Carlos Orozco

Este trabajo está dedicado a mi querido amigo Carlos Orozco, cuya perspicacia, corazón y misión de vida eran inseparables de la ciencia de la coherencia. Él enseñó que la clave de la coherencia no es meramente un concepto de campo o un diagrama, sino una alineación vivida: de luz, de amor y de cada color dentro de nosotros, integrados en un todo.

“Cuando los colores se funden en uno a través de la acción de la energía rotatoria, se define el color blanco, que representa la unificación de todos los colores. A esto lo llamamos luz. Por lo tanto, podemos llamarlo armonía, ya que todos los colores se han vuelto uno, y ese único color está compuesto por todos los colores.”

—Carlos Orozco

Carlos entendió que la verdadera coherencia no surge de la fuerza o el control, sino de la integración: del cuerpo, el corazón, la intención y el campo. Su contribución a este trabajo fue tanto directa como catalítica: fue durante los experimentos que compartimos con su dispositivo *Key to Coherence* cuando presencié por primera vez la capacidad de los campos estructurados para influir en la formación de cristales bajo el microscopio. Aunque las implicaciones solo se entendieron parcialmente en ese momento, aquellas sesiones sentaron las bases para los descubrimientos posteriores.

Su enseñanza — *que la coherencia y la congruencia forman el puente entre la intención y la realidad* — resuena en cada apéndice, en cada experimento y en cada fotografía de este trabajo.

**Carlos, tu voz está aquí.**



*Carlos Orozco hablando sobre la coherencia y la ciencia de la luz.*

# Índice

Resumen .....	316
Palabras clave: .....	317
Tecnologías: <i>microscopía de campo oscuro, modulación energética, tratamiento basado en frecuencias, campo de baja intensidad exposición, Disco de Orgonita, Sistema Theraphi.</i> .....	317
Resumen para el público general.....	317
Introducción.....	318
Materiales y métodos .....	320
Resultados: Autoensamblaje estructurado y dinámicas de cristalización moduladas por campos .....	325
Theraphi .....	332
Orgonita .....	336
Resumen de los resultados.....	349
Discusión.....	350
Conclusión .....	356
Referencias .....	357
Apéndice 1: Dominios de coherencia en sistemas vivos. ....	359
Apéndice 2: Revisión del agua coherente – Reflexiones sobre Del Giudice et al. (2015).....	362
Apéndice 3: Valor Glass, integridad de la coherencia y autoensamblaje sensible al campo.....	368
Apéndice 4: Campos electromagnéticos de alta frecuencia y dominios de coherencia sintéticos .....	369
Apéndice 5: Mezcla óptica no lineal y holografía en tiempo real.....	370
Apéndice 6: Moduladores de coherencia: Wi-Fi, oro y campos estructurados .....	373
Apéndice 7. Modelado funcional de los efectos de campo de la orgonita.....	380
Apéndice 8: La secuencia del “Estirador de Caramelo”.....	381
Apéndice 9: Cristalización generacional, redistribución coloidal y la energía–información Bifurcación .....	384
Glosario.....	387
Agradecimientos.....	395
Declaración de conflicto de intereses .....	395
Aviso de derechos de autor .....	395
Aviso legal.....	396

## Autoensamblaje Dependiente de Coherencia en Anestésicos Dentales: Modulación Estructural mediante Exposición Pasiva a Campos

### Resumen

La microscopía revela que ciertos productos farmacéuticos, particularmente los anestésicos dentales, presentan comportamientos estructurados compatibles con el autoensamblaje. Mediante la evaporación de gotas sésiles (EDS), se observa una secuencia consistente de cuatro fases: emergencia de nanopartículas, agregación coloidal, formación de vesículas y consolidación cristalina. Estas estructuras exhiben precisión geométrica, sensibilidad a campos y capacidad de respuesta dinámica, características que no se explican mediante los paradigmas químicos clásicos.

Este estudio investiga si las intervenciones de campo de baja energía pueden modular este proceso. Se expusieron muestras de anestésico dental a un Disco de orgonita pasivo (compuesto de resina, aluminio y cuarzo molido) durante 48 horas, o a una sesión de dos horas en un campo de plasma Theraphi, y posteriormente se analizaron mediante EDS y microscopía de campo oscuro. Los resultados mostraron reducciones marcadas en el movimiento vesicular, cristalización abortada y colapso estructural tras la exposición a la orgonita. En contraste, Theraphi pareció reforzar o acelerar el desarrollo estructural.

Estos hallazgos respaldan el modelo tetrafásico propuesto de autoensamblaje e introducen el marco de la Interfaz Biosintética (IBS), que define el potencial de la interfaz como el producto de Coherencia (C), Resonancia (R) y Flujo de Información (F). El colapso estructural en condiciones específicas sugiere que la interrupción de la coherencia podría ofrecer una estrategia viable para dismantelar nanoestructuras sintéticas incrustadas en sistemas biológicos.

Al mismo tiempo, los resultados sugieren que no todas las intervenciones basadas en la coherencia afectan de manera uniforme a los ensamblajes sintéticos, lo que subraya la necesidad de una exploración específica de las terapias basadas en campos.

## **Palabras clave:**

**Tecnologías:** *microscopía de campo oscuro, modulación energética, tratamiento basado en frecuencias, exposición a campos de baja intensidad, Disco de Orgonita, Sistema Theraphi.*

**Estructuras:** *Dominio Círculo-Rectángulo (DCR), coloides, autoensamblaje cristalino, biomateriales sintéticos, nanoestructuras autoensamblables, vesículas, Zona de Colapso del Perímetro (ZCP).*

**Marcos Teóricos:** *Modelo de Interfaz Bio-Sintética (IBS), Paradoja de la Coherencia, interrupción de la coherencia, estratificación resonante, arquitecturas sensibles a señales, desestabilización estructural, Firma Tetrafásica.*

## **Resumen para el público general**

En los últimos cuatro años, he dedicado miles de horas a examinar anestésicos dentales y otros productos médicos bajo el microscopio. Repetidamente, me he encontrado con estructuras extrañas: fibras, cristales y partículas coloidales que no parecen pertenecer a la muestra. No se trata de contaminantes aleatorios. Presentan una estructura, se autoorganizan y son sensibles a su entorno, más parecidas a sistemas de ingeniería que a subproductos naturales.

Si estas estructuras son sintéticas y se basan en señales, los tratamientos convencionales diseñados para alterar la química podrían no ser suficientes. Este estudio explora una posibilidad diferente: ¿puede la exposición a campos de baja intensidad interrumpir la coherencia de la que aparentemente dependen estas estructuras?

Para probar esto, se colocaron viales sellados de anestésico dental junto a un Disco de orgonita pasivo compuesto por un tercio de resina, un tercio de aluminio y un tercio de cuarzo molido. El disco genera un campo estático no alimentado; es decir, sin electricidad, sin calor ni interacción química. En un segundo ensayo, otras muestras se expusieron a una sesión de Theraphi de dos horas utilizando un dispositivo de campo basado en plasma activo, promocionado para fines regenerativos.

Tras 48 horas de exposición, la microscopía reveló un cambio notable. Muchas muestras tratadas con Orgonita no lograron cristalizar en absoluto. Estructuras que normalmente emergerían, como grandes vesículas con vórtices internos y motivos cristalinos distintivos, estuvieron ausentes. En varios casos, el movimiento vesicular se había detenido por completo. Estos resultados sugieren que el campo de Orgonita interrumpió de forma generalizada la dinámica de autoensamblaje observada típicamente en muestras no tratadas.

Por el contrario, la exposición al campo Theraphi no inhibió la cristalización e incluso podría haber reforzado ciertas características del proceso. Esto plantea una consideración importante: las diferentes tecnologías basadas en campos podrían no tener efectos uniformes sobre estas estructuras sintéticas. Algunas podrían estabilizar, otras interrumpir; una dinámica que justifica una investigación más exhaustiva.

Estos hallazgos sugieren que los sistemas sintéticos de autoensamblaje podrían depender de la coherencia vibracional o estructural, y que incluso la interrupción pasiva de campo podría ser capaz de interferir en su formación. De ser así, esto abre una nueva vía para la intervención terapéutica: no atacando el material en sí mismo, sino interrumpiendo la señal que lo mantiene unido. Al mismo tiempo, introduce lo que podríamos denominar la Paradoja de la Coherencia. Algunas tecnologías curativas podrían ayudar a desensamblar estas arquitecturas. Otras, sin pretenderlo, podrían contribuir a su desarrollo.

## Introducción

En 2023, Mateo Taylor resaltó la naturaleza compleja del proceso de evaporación de la gota sésil (EDS) y de los cristales producidos en el anestésico dental, una observación que surgió tras una investigación significativa de fenómenos similares en la vacuna Comirnaty COVID-19 de Pfizer. El autor, un médico de familia con 25 años de experiencia, ha dedicado cientos de horas a la observación directa y al análisis del comportamiento de Cristalización, inicialmente en Comirnaty y posteriormente en muestras de anestésico dental (Nixon, 2025a, 2025b). Ese mismo año, el autor creó un grupo informal —los Micronautas— compuesto por individuos con una mezcla variada de formaciones y habilidades, todos interesados en explorar estos hallazgos microscópicos. Desde entonces, varios miembros de este grupo han dedicado mucho tiempo a examinar no solo muestras de anestésico dental, sino también una variedad de fluidos biológicos (Nixon 2025d).

Los hallazgos, tanto del autor como de otros miembros de los Micronautas, revelaron una consistencia sorprendente: todos los anestésicos dentales observados seguían el mismo patrón estructural durante la evaporación. Con una familiaridad creciente, se hizo posible distinguir entre marcas, cada una conforme al mismo comportamiento general, pero mostrando a la vez variaciones sutiles y reproducibles. Lo que al principio parecía ser ruido era, de hecho, señal: una progresión dinámica y multifásica que podía aprenderse, rastrearse y anticiparse. Descrito inicialmente como una firma trifásica —coloides, vesículas, cristales— una investigación posterior reveló una etapa aún más temprana. Antes de la formación de coloides, una fase invisible de partículas a Nanoescala parece autoensamblarse durante las etapas iniciales de la evaporación, sentando las bases de lo que luego se vuelve ópticamente visible. Esta comprensión ampliada ahora respalda un modelo tetrafásico de la dinámica de cristalización en fluidos farmacéuticos.

Este proceso no solo era ubicuo entre distintas marcas, sino que también resultó consistente a lo largo del tiempo. Los anestésicos dentales fabricados hace más de dos décadas mostraron el mismo comportamiento característico durante la evaporación que las formulaciones actuales. Esto plantea una pregunta ineludible: ¿es este proceso normal o ha sido anómalo durante mucho tiempo? La posibilidad de un largo periodo de desarrollo, que se extiende muchos años atrás, concuerda con hallazgos anteriores en muestras de Comirnaty, donde se observaron y registraron comportamientos de autoensamblaje similares (Nixon 2025a). Si estos fenómenos estructurales están integrados en todos los productos y épocas, podrían representar no una anomalía reciente, sino una arquitectura estable e intencional; una arquitectura que, hasta ahora, simplemente ha eludido el escrutinio.

En medicina, existe un dicho: “las cosas comunes ocurren comúnmente”. Esto funciona tanto como un heurístico como un escudo: una herramienta para guiar el razonamiento diagnóstico, a la vez que protege a los médicos de críticas indebidas cuando se pasan por alto hallazgos raros o inesperados. Sin embargo, en este caso, debe considerarse la situación inversa. Cuando se observan comportamientos estructurales consistentes a lo largo del tiempo, entre diferentes marcas y observadores, resulta menos plausible que se deban a artefactos o valores atípicos. La comunidad médica debe ahora considerar la posibilidad de que estos fenómenos no sean raros en absoluto, sino que

han permanecido invisibles únicamente porque nadie los estaba observando. Si los hallazgos son reales —y reproducibles—, la obligación de investigar ya no recae únicamente en observadores marginales, sino en la profesión en su conjunto, particularmente cuando la falta de exploración de estos hallazgos podría resultar en la pérdida de oportunidades terapéuticas.

En 2022, Mateo Taylor demostró que el crecimiento cristalino en Pfizer Comirnaty podía modularse alterando una Señal de Wi-Fi cercana. En 2023, el autor demostró que la proximidad al oro coloidal producía un efecto similar, pero opuesto: interrumpiendo o desestabilizando la formación de cristales. Estas respuestas no se explican fácilmente mediante la química convencional y, en cambio, sugieren un mecanismo biofísico más complejo. Partiendo de estos hallazgos, el presente estudio se propuso determinar si el proceso de cristalización en anestésico dental —particularmente durante la evaporación de la gota sésil (EDS)— podría modularse mediante la exposición a dos influencias de campo distintas: un campo pasivo de baja energía generado por un Disco de Orgonita , y un campo de plasma activo de mayor energía generado por el Sistema Theraphi.

El modelo de Interfaz Bio-Sintética (IBS) se desarrolló en respuesta a observaciones previas en Pfizer Comirnaty, donde las estructuras cristalinas mostraron sensibilidad a las condiciones energéticas ambientales. El presente estudio explora si dicho modelo podría ser aplicable también al comportamiento de cristalización en anestésicos dentales, particularmente si se observa que el proceso SDE se modifica bajo la influencia de estas intervenciones basadas en campos.

## Materiales y métodos

### Configuración de la microscopía

La microscopía se realizó utilizando un sistema Neogenesis con una fuente de luz LED de 9 W, capaz de obtener imágenes tanto en campo claro como en campo oscuro. Las imágenes se capturaron utilizando una cámara USB HDMI HD a una resolución máxima de  $3264 \times 1836$  píxeles.

- **Campo claro:** Condensador Abbe con filtro esmerilado ( $NA = 1,25$ )
- **Campo oscuro:** Condensador cardioide de inmersión en aceite

### Preparación de los portaobjetos

Portaobjetos de microscopio estándar ( $76,2 \times 25,4$  mm, Livingstone International) se limpiaron con alcohol isopropílico estéril al 70 % y se secaron con Kimwipes para minimizar la contaminación por partículas.

### Preparación de la muestra

Se extrajo una muestra de anestésico dental de viales sellados y se almacenó en condiciones ambientales antes del ensayo. No se utilizaron aditivos ni fijadores.

### Protocolo de exposición a orgonita

Los viales de ensayo se colocaron directamente sobre un disco de orgonita pasivo durante 48 horas a temperatura ambiente. El disco estaba compuesto por aproximadamente un tercio de resina, un tercio de virutas de aluminio y un tercio de cuarzo molido, comprimido para formar una matriz generadora de campo estático. No se utilizó ninguna fuente de alimentación ni modulación activa. La exposición se produjo en condiciones ambientales, sin refrigeración.



Figura 1. Vial de anestésico dental colocado sobre el disco de orgonita utilizado en los experimentos de interrupción de la coherencia. El disco de orgonita está compuesto por un tercio de resina, un tercio de aluminio y un tercio de cuarzo molido. No hubo contacto directo entre el disco y la gota farmacéutica; sino que la exposición energética se mantuvo de forma pasiva durante 48 horas antes de la Microscopía. El disco no está alimentado y no emite ningún campo CEM medible con instrumentación estándar. <sup>1</sup>

### Protocolo de Exposición con Theraphi

Como intervención comparativa, se expusieron muestras adicionales a un tratamiento con Theraphi de 2 horas antes del análisis SDE. El sistema Theraphi genera un campo de plasma longitudinal mediante tubos de gas noble conjugados, impulsados por una cascada de frecuencias armónicas. Las muestras se colocaron en el punto medio focal del sistema durante toda la duración del tratamiento. No hubo contacto físico alguno. Esta duración de exposición se extendió más allá del uso estándar para maximizar la modulación estructural potencial.

---

<sup>1</sup> El vial permaneció sellado durante todo el período de exposición. Se tomó la foto al finalizar el experimento.



Figura 2. Configuración del dispositivo Theraphi en la sala de tratamiento. El Theraphi es un sistema de modulación de coherencia y frecuencia basado en plasma que proporciona campos bioactivos de alto voltaje y sin contacto a través de una matriz de tubos de plasma de vidrio. Se utilizó en una etapa separada de las pruebas para comparar un tratamiento energético de alta intensidad con el modelo de exposición pasiva a la orgonita. No se produjo contacto directo con la muestra.

### **Análisis de Evaporación de la Gota Sésil (SDE)**

Tras la exposición, las gotas se visualizaron en condiciones de campo claro y Campo oscuro con Aumentos que oscilaban entre 100x y 1000x. La Cristalización, la dinámica de las vesículas y el movimiento coloidal se observaron durante todo el proceso de evaporación. Se capturaron secuencias de imágenes en múltiples instantes temporales para todas las muestras.

### **Controles y Detección de Artefactos**

Aunque en este ensayo no se incluyó ningún control que contuviera solo fluido, pruebas previas exhaustivas han confirmado que las estructuras cristalinas y vesiculares observadas no son artefactos del proceso de Microscopía. Trabajos anteriores con solución salina, agua destilada y preparaciones de control no produjeron geometrías o ensamblajes dinámicos comparables en condiciones SDE equivalentes.

### **Exposición Theraphi: Orígenes, Fundamentos e Implementación**

El Sistema Theraphi es una modalidad de tratamiento energético no invasivo desarrollada por Dan Winter y Paul Harris, que procede de una línea de dispositivos bioenergéticos experimentales destinados a restaurar el orden celular mediante la exposición a campos electromagnéticos coherentes. Basándose en modelos teóricos que involucran la conjugación de fase, las ondas escalares longitudinales y la redistribución de carga, el sistema integra principios de la física del plasma, la geometría sagrada y la resonancia biofísica.

Originalmente conceptualizado a principios de la década de 2010, el Sistema Theraphi se basa en el trabajo fundamental de pioneros como Antoine Priore —cuyos tratamientos electromagnéticos basados en plasma en la Francia de los años 60 y 70 indujeron efectos regenerativos en modelos animales— y las contribuciones especulativas de Nikola Tesla con respecto a la transmisión de energía longitudinal. Basándose en este legado, Winter y Harris aplicaron la dinámica de campo fractal para diseñar un sistema destinado a recargar los tejidos biológicos mediante la restauración de la simetría eléctrica y la coherencia de campo.

En el núcleo del Sistema Theraphi se encuentran dos tubos de plasma de gas noble dispuestos en oposición, a través de los cuales se emite un par conjugado de formas de onda electromagnéticas. Estas emisiones se generan a través de una cascada de frecuencia que combina potenciales electrostáticos de baja frecuencia con una onda portadora modulada escalarmente centrada alrededor de 3 MHz, incrustando componentes armónicos en el rango de ~0,1 a 500 kHz. Se teoriza que el campo longitudinal resultante

crea un entorno dieléctrico de fase conjugada, en el que los frentes de onda opuestos cancelan la interferencia destructiva y amplifican el contenido informativo restaurador.

Investigaciones preliminares de microscopía realizadas previamente a este estudio no revelaron una reducción detectable de las estructuras anómalas tras una exposición de 40 minutos a un campo Theraphi. No se observó supresión de la formación de cristales, disolución de vesículas ni alteración de coloides en condiciones de campo oscuro o campo claro. Estos resultados sugirieron que la duración de la exposición podría haber sido insuficiente o que el mecanismo de acción del sistema era incompatible con la arquitectura de los autoensamblajes observados.

Para abordar esto, el presente estudio extendió la duración de la exposición a dos horas, un tiempo significativamente mayor que los 20–40 minutos estándar que se utilizan habitualmente en aplicaciones terapéuticas con sujetos humanos. Las muestras se posicionaron en el punto medio focal entre los dos tubos de plasma y se mantuvieron bajo la influencia continua del campo durante todo el periodo de exposición.

Según sus desarrolladores, el campo Theraphi favorece la redistribución de la carga molecular, la realineación del dominio de coherencia y la reversión del desorden estructural. Su relevancia en esta investigación reside en la hipótesis de que un campo coherente de estas características podría interrumpir o neutralizar el comportamiento anómalo del autoensamblaje, especialmente cuando la estructura se mantiene mediante interacciones sutiles del campo o una alineación electrostática no aleatoria.

Tras la exposición, todas las muestras se sometieron a protocolos estandarizados de evaporación de gota sésil (SDE) y se obtuvieron imágenes bajo condiciones de microscopía idénticas. Se aplicó modulación con aceite C<sub>60</sub> cuando fue aplicable. La evaluación comparativa de la formación de cristales, el movimiento coloidal y la dinámica de vesículas permitió una evaluación directa de los efectos de Theraphi en relación con los controles no tratados y otros modelos de exposición energética.

### **Exposición a Orgonita: Composición, teoría y aplicación**

La orgonita es un material compuesto que, según sus defensores, transmuta las influencias electromagnéticas incoherentes o disruptivas en campos estructurados y biológicamente favorables.

Popularizada a principios de la década de 2000, la orgonita se inspira en la obra de Wilhelm Reich, que acuñó el término orgón para describir una supuesta fuerza vital universal. Basándose en teorías sobre energía sutil de mediados del siglo XX, la orgonita refleja una tradición de pensamiento basada en campos que opera al margen de los paradigmas electromagnéticos convencionales. Aunque no está formalmente reconocida dentro de la física convencional, la orgonita ha suscitado un notable interés, tanto anecdótico como experimental, debido a los efectos que se le atribuyen sobre la estructuración del agua, la vitalidad de las plantas y el bienestar subjetivo. Estas observaciones sugieren la influencia de un campo de coherencia que aún no ha sido completamente caracterizado por la instrumentación estándar.

La formulación estándar de la Orgonita incorpora tres elementos principales:

- (1) Una resina orgánica —típicamente poliéster o epoxi— que actúa como aislante eléctrico.
- (2) Virutas de metal, a menudo una mezcla heterogénea de aluminio, cobre y latón, distribuidas

a lo largo de la matriz para formar una red de uniones microcapacitivas; y

(3) Un cristal de cuarzo, usualmente cuarzo claro o rosa, incrustado dentro de la resina y comprimido durante el curado para generar una respuesta piezoeléctrica.

Algunas formulaciones también incluyen minerales como la turmalina negra, la selenita o la shungita, elegidos por sus reputadas propiedades energéticas.

Aunque los modelos teóricos siguen siendo especulativos, se han propuesto varios mecanismos para explicar los efectos potenciales de la Orgonita, entre ellos:

(a) Polarización piezoeléctrica, en la que el cuarzo comprimido genera campos eléctricos estáticos que influyen en las estructuras moleculares cercanas.

(b) Distribución de carga microcapacitiva, en la que las partículas metálicas dispersas crean gradientes de campo localizados que alteran la dinámica de la carga.

(c) generación de campos de torsión o espín, basada en modelos teóricos rusos que sugieren que los campos rotacionales pueden transmitir información independientemente de la radiación electromagnética; y

(d) inducción de campos escalares o de coherencia, por la cual la estructura fractal de la matriz curada funciona como una antena escalar pasiva, modulando potencialmente la coherencia del campo ambiental e interactuando con estructuras del vacío cuántico.

En este estudio, se colocó una muestra sellada de anestésico dental directamente sobre un Disco de Orgonita de tamaño mediano y se expuso continuamente durante 48 horas en condiciones ambientales. No se utilizó refrigeración, inmersión ni fuentes de energía externas; se empleó únicamente la exposición por proximidad. Esta duración se seleccionó basándose en ensayos empíricos previos y en una evaluación informal de kinesiología, ambos indicando que pueden producirse cambios medibles en el comportamiento estructural tras 24–72 horas de exposición a campos. Es importante destacar que no se produjo contacto directo con los componentes de la matriz; se utilizó únicamente la proximidad como modo de exposición.

Tras el período de 48 horas, la muestra se sometió a los mismos protocolos de Microscopía y evaporación de gota sécil (EGS) que todos los demás grupos del estudio. Estos incluyeron la obtención de imágenes dinámicas de la Cristalización, la formación de vesículas, el movimiento coloidal y la modulación subsiguiente con una mezcla de aceite C<sub>60</sub>. Se evaluaron las características estructurales para detectar cambios en la coherencia, complejidad y comportamiento dinámico en relación con los controles no tratados y otros modelos de exposición energética. En contraste con el Sistema Theraphi, la exposición a Orgonita produjo alteraciones distintas, incluyendo un inicio retrasado de la agregación de vesículas, un movimiento coloidal modificado y morfologías cristalinas alteradas. Estos hallazgos respaldan la hipótesis de que los campos pasivos inductores de coherencia pueden influir en el autoensamblaje sintético en sustratos farmacéuticos.

## Resumen

Si bien los mecanismos atribuidos al Sistema Theraphi y a la Orgonita permanecen fuera de los límites de la física convencional y carecen de validación formal revisada por pares, lo mismo podría decirse de muchas estructuras documentadas en este estudio, como los ensamblajes cristal-fibra, los híbridos vesícula-coloide y los denominados complejos micro-meccano. Estas formaciones no tienen entradas correspondientes en la literatura científica; sin embargo, son directamente observables mediante Microscopía.

El propósito de este artículo no es defender ni descartar modalidades de tratamiento energético basándose en su aceptabilidad teórica, sino evaluar sus efectos empíricos utilizando la Microscopía, la reproducibilidad seriada y la kinesiología aplicada como herramientas exploratorias. En el contexto de la modulación inducida por campos observada, particularmente en la disrupción de arquitecturas farmacéuticas autoensambladas, resulta razonable y necesario investigar tecnologías que operan fuera de los marcos explicativos establecidos.

Al hacerlo, este estudio invierte el flujo convencional de autoridad epistémica: no comienza con lo que está publicado, sino con lo que se observa.

Si bien la validación convencional de estos sistemas sigue siendo limitada, varios dominios adyacentes, incluidos la óptica de fase conjugada (Yariv, 1978), la polarización piezoeléctrica (Fukada & Yasuda, 1957) y los Dominios de Coherencia del agua (Del Giudice et al., 1988, 1989, 2015; Pollack, 2013), ofrecen contextos teóricos que pueden ayudar a enmarcar los fenómenos observados. Estos modelos, aunque no son completamente explicativos, proporcionan apoyo conceptual para la investigación de la disrupción, basada en campos, en procesos de autoensamblaje sintético.

## Resultados: Autoensamblaje Estructurado y Dinámica de Cristalización Modulada por Campos.

Para establecer una línea base clara para la comparación, se examinó una serie de muestras de anestésico dental mediante microscopía de campo claro y campo oscuro, tanto antes como después de la exposición a un aceite que contenía C60. Los controles no tratados mostraron una notable progresión del autoensamblaje durante la evaporación de la gota sésil (EDS), formándose filamentos perimetrales, inclusiones de tipo vesicular y, finalmente, motivos cristalinos con geometría rectilínea. Estas estructuras, que presentan regularidad arquitectónica y restricción espacial, surgieron de forma consistente y mantuvieron la coherencia a través de las etapas de secado. Su formación implicaba procesos no aleatorios, posiblemente gobernados por campos energéticos ocultos o programación latente. Este comportamiento en la fase temprana estableció un punto de referencia visual y conceptual para evaluar los efectos subsiguientes de los tratamientos basados en campos. Las figuras siguientes documentan esta lógica desplegada. Este patrón fundacional, al que se hace referencia a lo largo de este estudio como la *Firma Tetrafásica*, sirve como el punto de referencia con respecto al cual se miden todos los comportamientos interrumpidos o mejorados por campos.

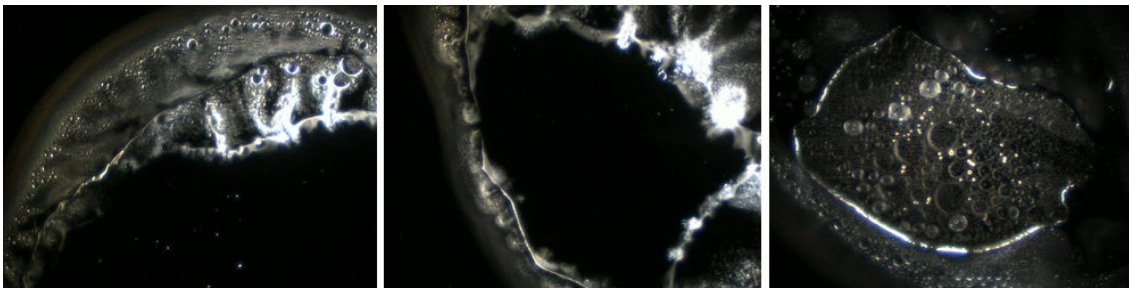


Figura 3. Inicio del autoensamblaje durante la evaporación temprana en anestésico dental no tratado. Filamentos radiales, actividad en los bordes e inclusiones de tipo vesicular incrustadas emergen en distintas microzonas. Aumento 40x.

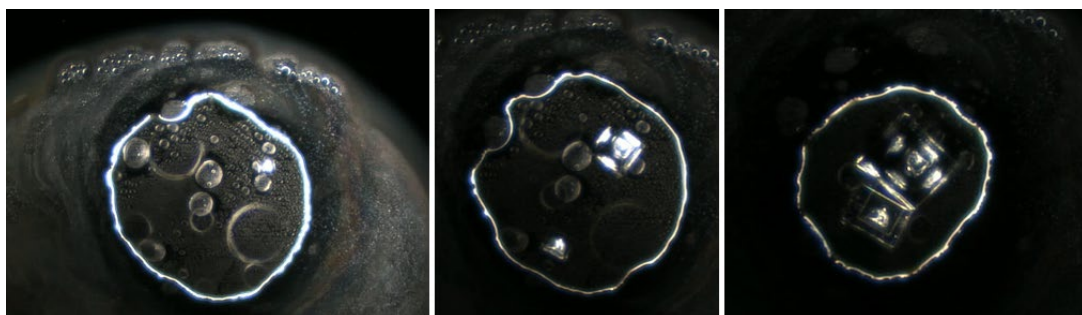


Figura 4. Progresión hacia motivos cristalinicos rectilíneos y dominios delimitados. Elementos vesiculares y geométricos coexisten, lo que sugiere un comportamiento de fase hibridado. Aumento 40x.

Las Figuras 3 y 4 documentan un proceso de transformación secuencial en muestras de anestésico dental no tratado durante la evaporación de gota sécil (EDS) de segundo ciclo, revelando una transición compleja desde formas cristalinas a toroidales y vesiculares, seguida por el resurgimiento de motivos geométricos. En la Figura 3, el cristal emparejado inicial muestra integridad superficial y orden interno, que posteriormente se disuelve revelando halos toroidales luminosos y residuos vesiculares persistentes, lo que sugiere una estructuración por campos o una impronta energética. La Figura 4 destaca fenómenos de extensión de bordes y evolución estructural: zonas densas en vesículas con límites definidos dan lugar a motivos cristalinos, incluidas formas cuadradas y rectangulares, que nuclean preferentemente cerca de discontinuidades. Estos progresan hacia ensamblajes cristalinos completos y compartimentados, con huecos internos y geometría angular. Tales características, distintivas en muestras no tratadas, indican un proceso de autoensamblaje no clásico, probablemente programado

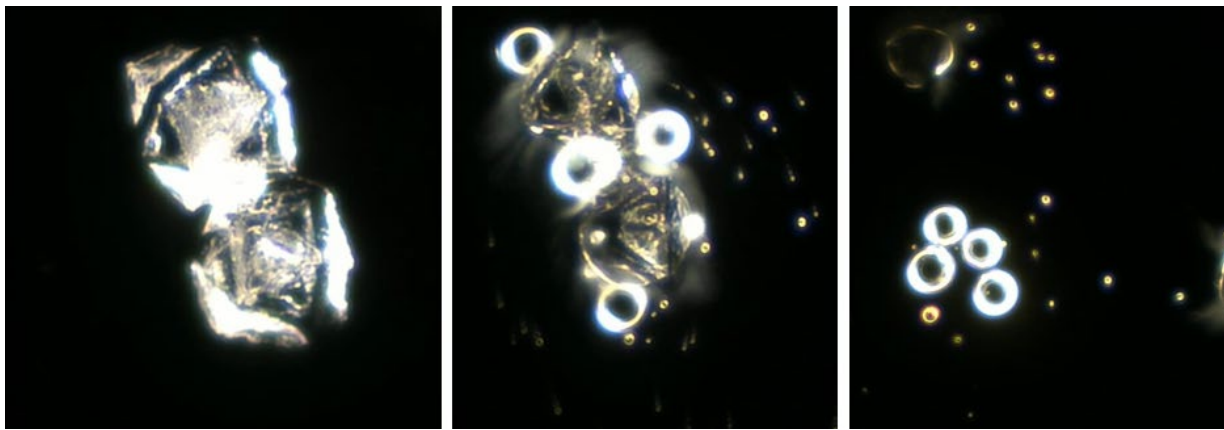


Figura 5. Transformación secuencial en anestésico dental sin tratamiento durante el SDE de segundo ciclo. El cristal pareado inicial (izquierda) se disuelve en toroides luminosos (centro), seguido de residuos híbridos persistentes de vesícula-toroide (derecha), lo que sugiere una estructuración de campo retenida. Aumento: 200x.

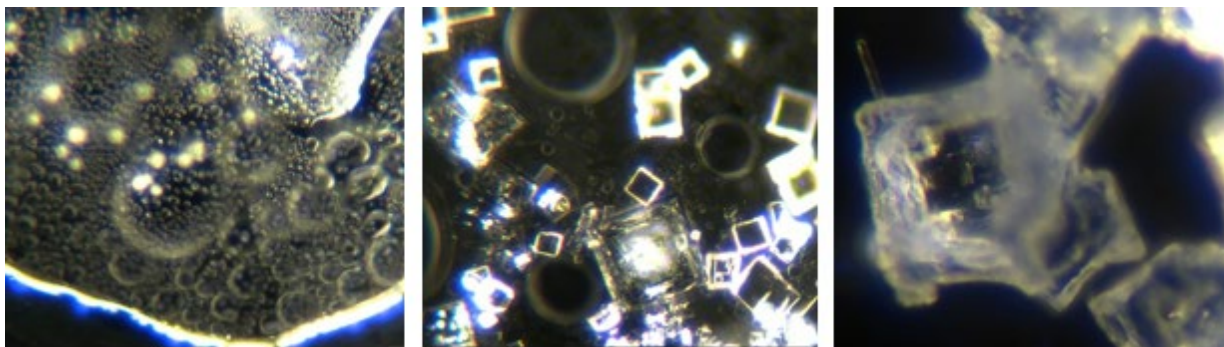


Figura 6. Emergencia estructural en anestésico dental sin tratamiento. Una zona densa en vesículas (izquierda) da lugar a motivos cristalinos rectangulares (centro), culminando en un cristal de extensión de borde completamente desarrollado, con huecos internos y simetría angular (derecha). Aumentos: 100x, 100x, 200x.

La imagen secuencial en muestras de anestésico dental sin tratamiento revela una coreografía estratificada de evolución estructural, comenzando con dominios densos en vesículas y culminando en motivos cristalinos altamente ordenados. Estas transiciones ocurren a lo largo de límites morfológicos distintos, particularmente en las zonas de borde, donde los gradientes organizativos parecen concentrarse. La aparición de formas rectilíneas tales como cuadrados, rectángulos y vacíos internos sugiere un mecanismo de crecimiento no estocástico, posiblemente influenciado por la alineación del campo o la programación moldeada. A diferencia de la Cristalización clásica, que sigue una saturación uniforme y la propagación de la red cristalina, estas estructuras surgen de zonas compartimentadas y específicas de fase. La arquitectura observada, que incluye bordes laminados, vacíos embebidos y centros vesiculares, implica un proceso de autoensamblaje multifásico guiado. Este comportamiento se alinea con las transiciones cristalinas previamente documentadas en excipientes farmacéuticos, donde el orden emerge de precursores fluidos o vesiculares en respuesta a condiciones energéticas localizadas. La reproducibilidad y complejidad de estos motivos, particularmente en muestras no tratadas, refuerzan la hipótesis de que la programación estructural es una propiedad inherente, y quizás diseñada, de la formulación

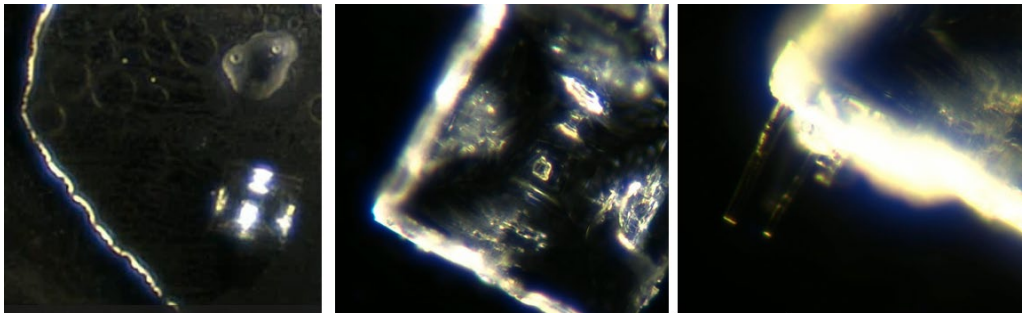


Figura 7. Emergencia secuencial en anestésico dental no tratado. Los motivos cristalinos se forman en bordes ricos en vesículas, progresando desde extensiones tempranas del borde (izquierda) hasta motivos angulares (centro) y una arquitectura cristalina completa (derecha). Aumento 40x, 100x, 200x.

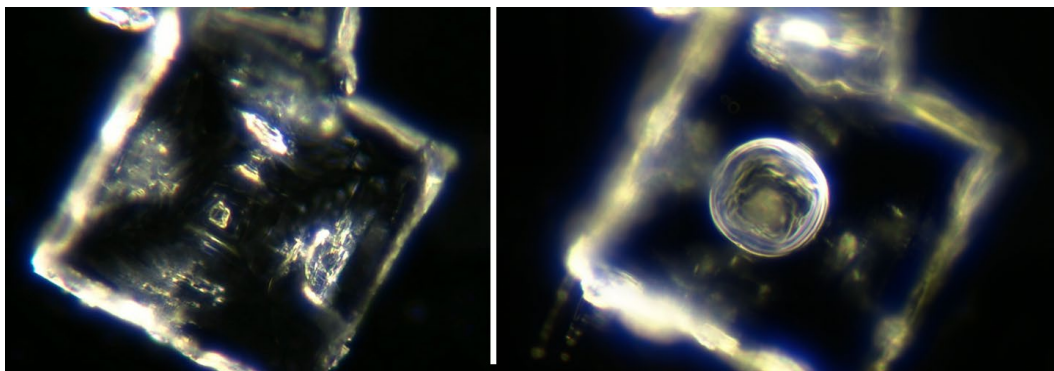


Figura 8. Cristal angular de anestésico dental sin tratamiento. La subestructura estratificada (izquierda) y la inclusión vesicular central (derecha) sugieren un crecimiento moldeado y compartimentado. Aumento: 200x.

El retraso en la Cristalización observado en varias muestras parece desempeñar un papel crucial para permitir la organización interna y la complejidad estructural. En contraste con la precipitación rápida, que tiende a producir formaciones desordenadas o planas, la Cristalización retardada permite tiempo para que surjan geometrías anidadas, simetría axial e inclusiones localizadas. Estas características, particularmente en los cristales rectangulares que se muestran a continuación, sugieren un proceso autoorganizado no impulsado puramente por el asentamiento termodinámico, sino potencialmente mediado por gradientes de campo internos o una impronta energética residual. Las observaciones repetidas revelan motivos estables, como toroides centrales, rectángulos incrustados y estructuras de luz concéntricas, que persisten y evolucionan con el tiempo, lo que indica una arquitectura dinámica en lugar de estáti-

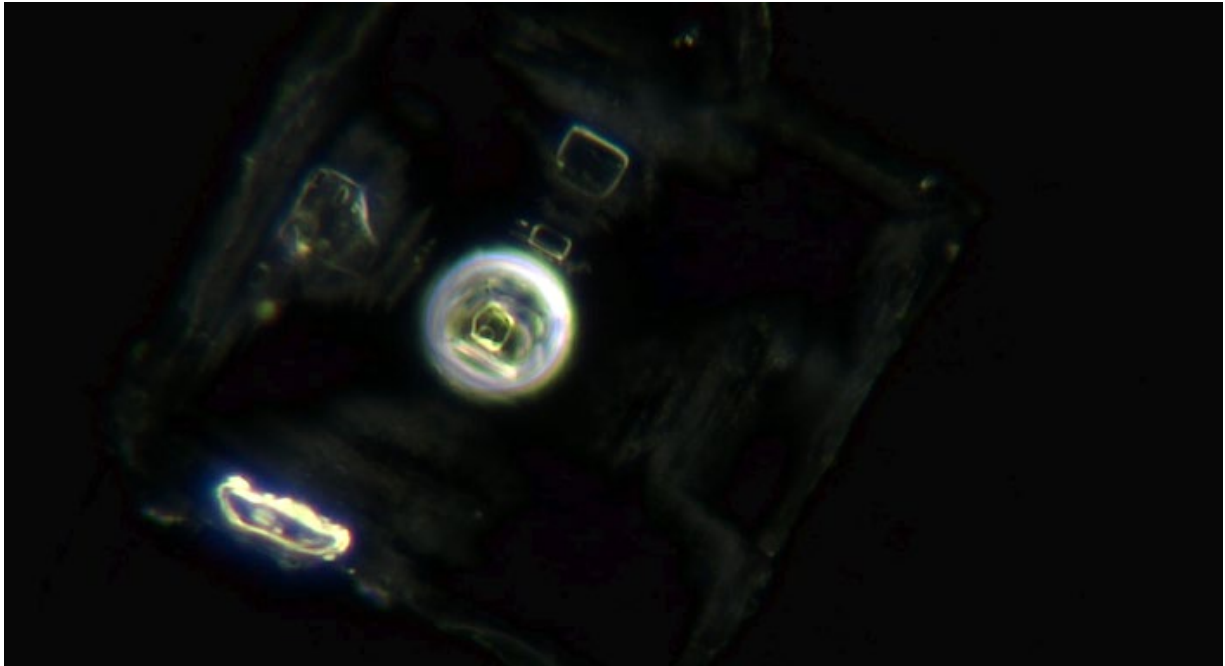


Figura 9. Un cristal rectangular fotografiado en la línea base (Figura 6) y 24 horas después (Figura 7) muestra una estructuración central intensificada y una inclusión concéntrica bien definida. Los motivos cuadrados y circulares permanecen ópticamente activos, lo que indica una organización interna y una capacidad de respuesta sostenidas.

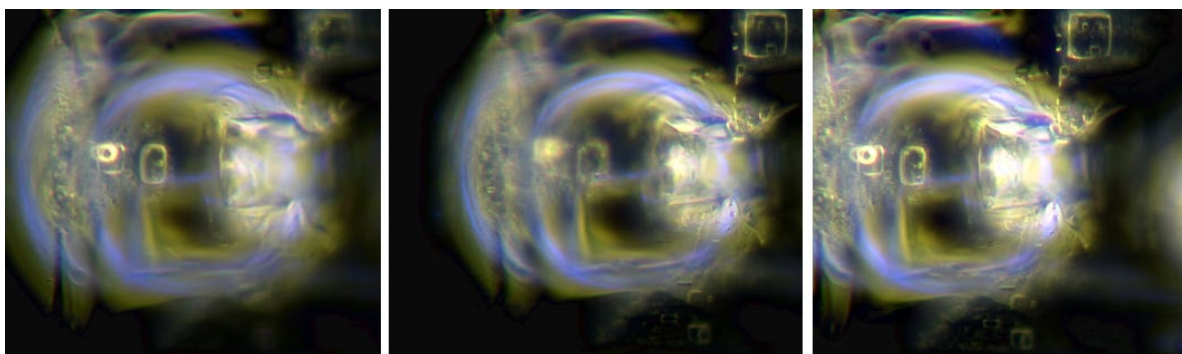


Figura 10. La secuenciación del plano focal revela una estructura de luz toroidal, inclusiones rectangulares y zonas internas compartimentadas dentro de un cristal de anestésico dental no tratado. El compuesto EDF confirma una arquitectura interna organizada. Aumento 200x.

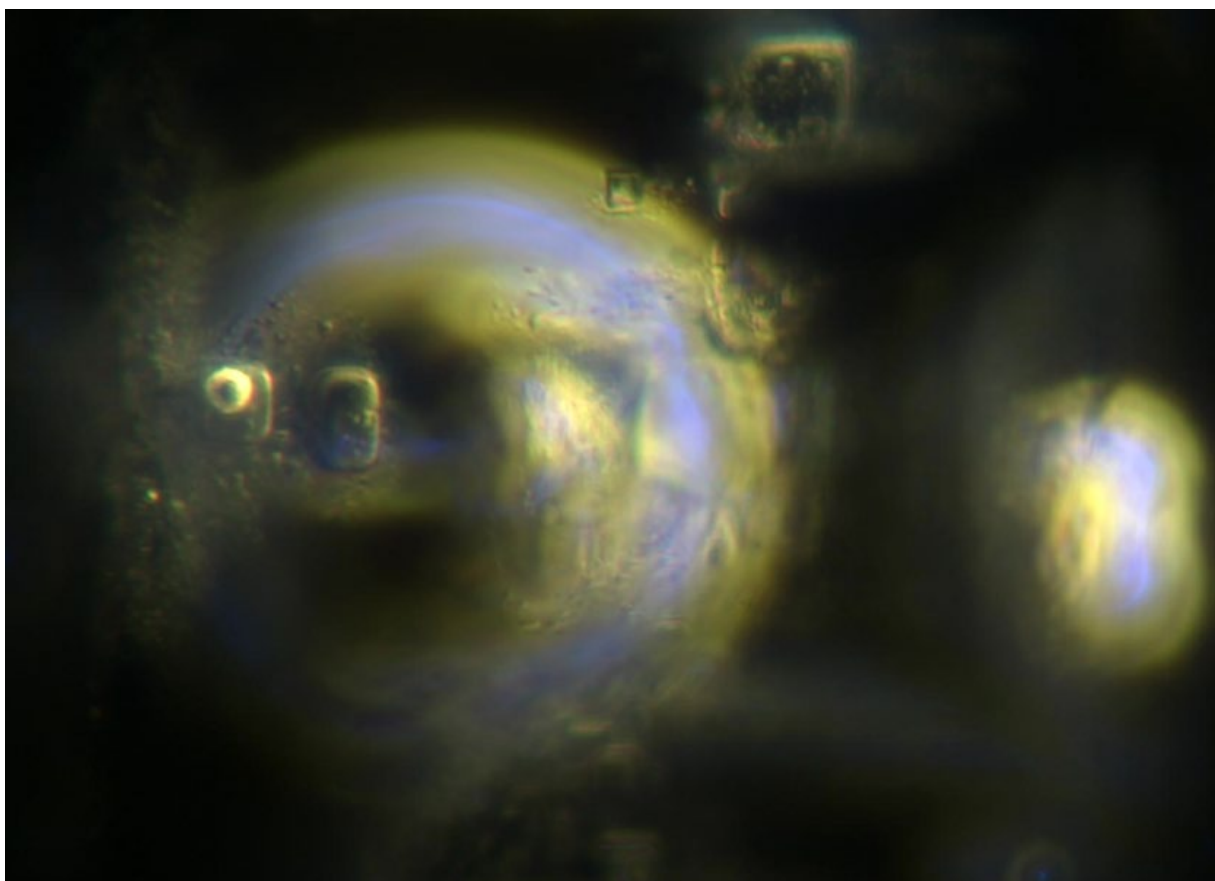


Figura 11. Primer plano de la estructura toroidal dos horas después de la obtención de la imagen inicial. La simetría y el detalle interno se hicieron más refinados con el tiempo, mostrando inclusiones rectangulares mejoradas y arcos coherentes. Aumento 200x.

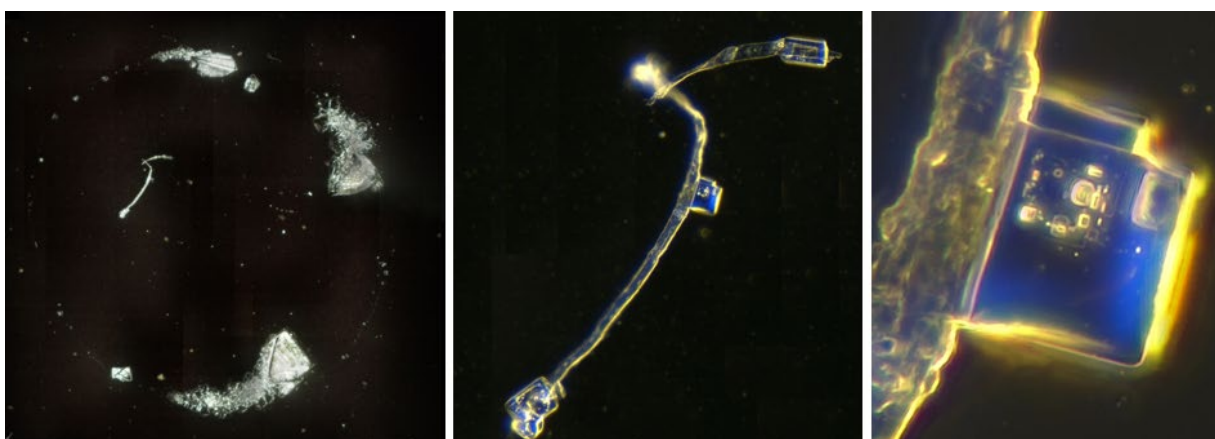


Figura 12. Panel compuesto que muestra el desarrollo de cristales tras un segundo ciclo de evaporación de gota sécil (EDS).

Izquierda: Una vista de campo oscuro de baja potencia revela una distribución circular parcial de material cristalino con geometría angular y una fibra casi central. Centro: Una sola fibra que soporta tres cristales adheridos. Derecha: Primer plano del conjunto central cristal-fibra (ACCF). Aumentos: izquierda (aproximadamente 25x), centro (200x), derecha (400x).

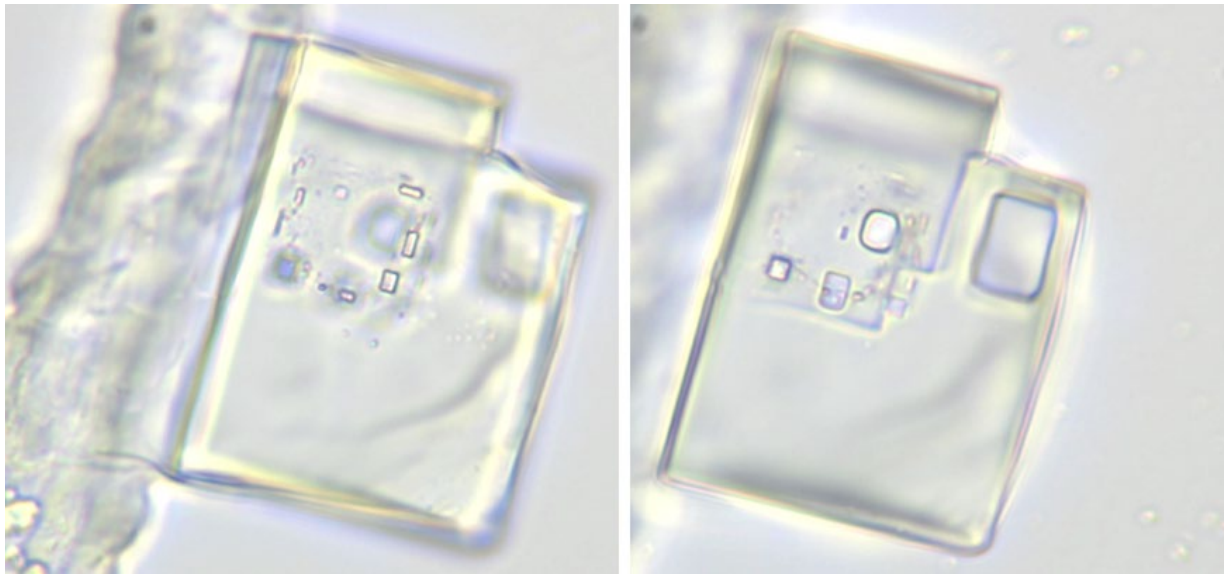


Figura 13. Imágenes de campo claro emparejadas de un cristal rectangular procedente de anestésico dental no tratado, que ilustran incisiones geométricas internas y una probable organización moldeada. Campo claro, aumento 400x.

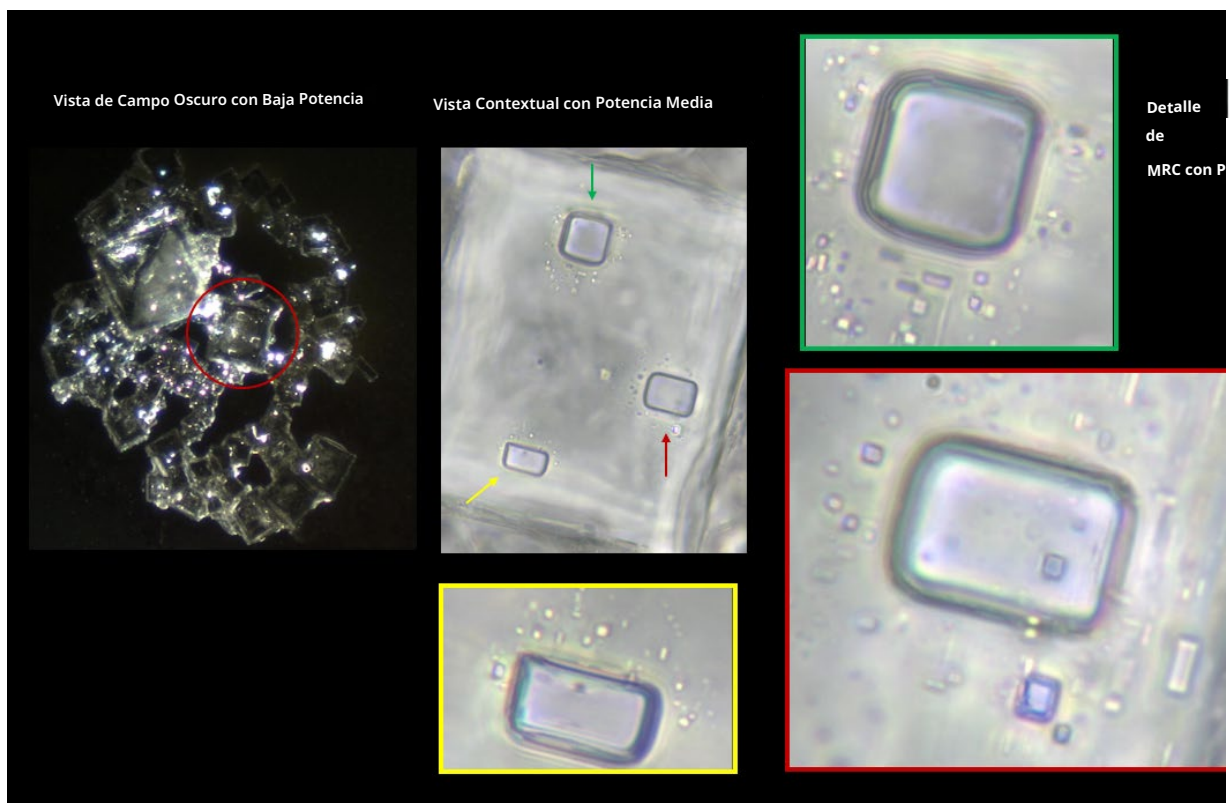


Figura 14. Visualización a multiescala de motivos círculo-rectángulo (MRC) en una muestra de anestésico dental no tratado. Izquierda: Vista de campo oscuro a baja potencia. El círculo rojo señala la región analizada. Centro: La vista contextual de campo claro identifica tres regiones que contienen MRC (flechas verde, roja, amarilla). Derecha, de arriba abajo: Recuadro verde: MRC con límite definido e inclusiones mínimas. Recuadro rojo: La imagen EDF de alta potencia revela motivos anidados, microincisiones y capas concéntricas. Aumentos: izquierda (aproximadamente 100x), centro (400x), derecha (1000x).

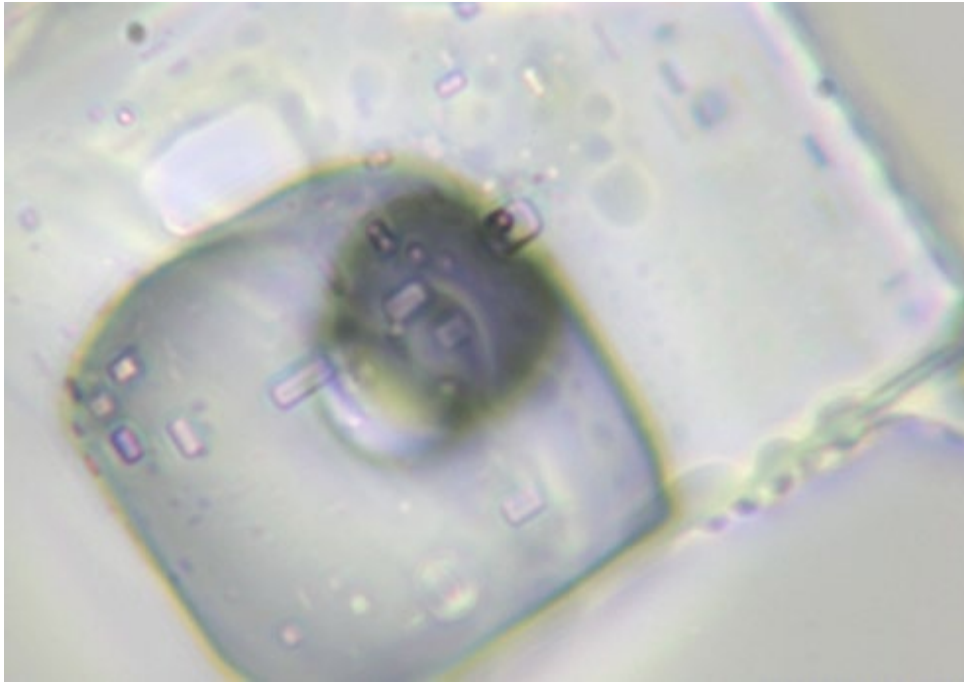


Figura 15. Vista ampliada de la estructura interior del MRC resaltada en la Figura 14. El **elemento interno** de forma circular parece estar suspendido dentro de un recinto cristalino, rodeado de unidades cuboides más pequeñas. La claridad de este fotograma ilustra el complejo patrón interno, lo que sugiere un diseño modular o compartimentación. Aumento 1000x.

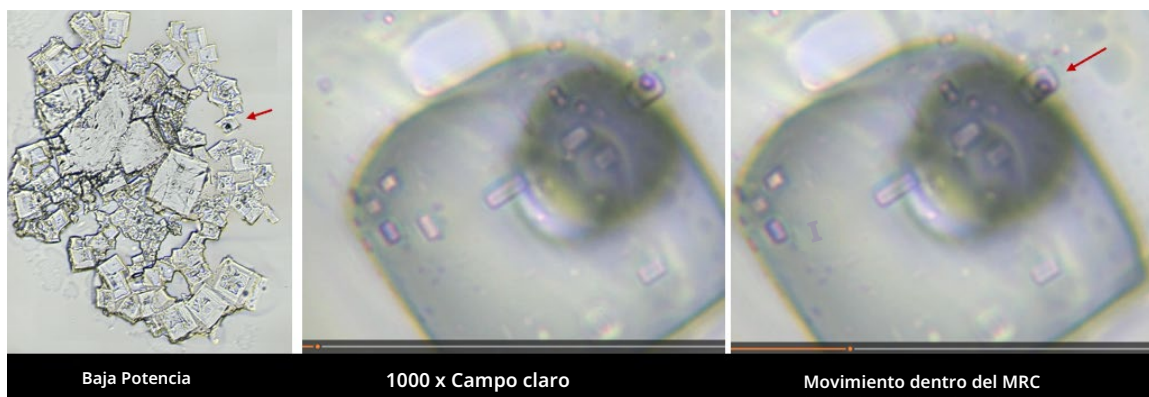


Figura 16. Movimiento interno en tiempo real dentro de un motivo círculo-rectángulo (MRC) observado en anestésico dental sin tratar. Izquierda: La vista de baja potencia muestra una extensa cristalización de MRC; una flecha roja señala el motivo destacado. Centro: Con un aumento de 1000x bajo campo claro, la estructura interna de forma circular se aprecia dentro del MRC. Derecha: Un fotograma tomado segundos después muestra un claro desplazamiento del elemento interno (flecha roja), lo que indica un movimiento localizado dentro de un recinto estable. Este comportamiento respalda la hipótesis de que los MRC podrían poseer subestructuras dinámicas sensibles a señales, en lugar de formas cristalinas estáticas. Aumentos: Panel izquierdo: baja potencia (~100x); paneles central y derecho: 1000x.

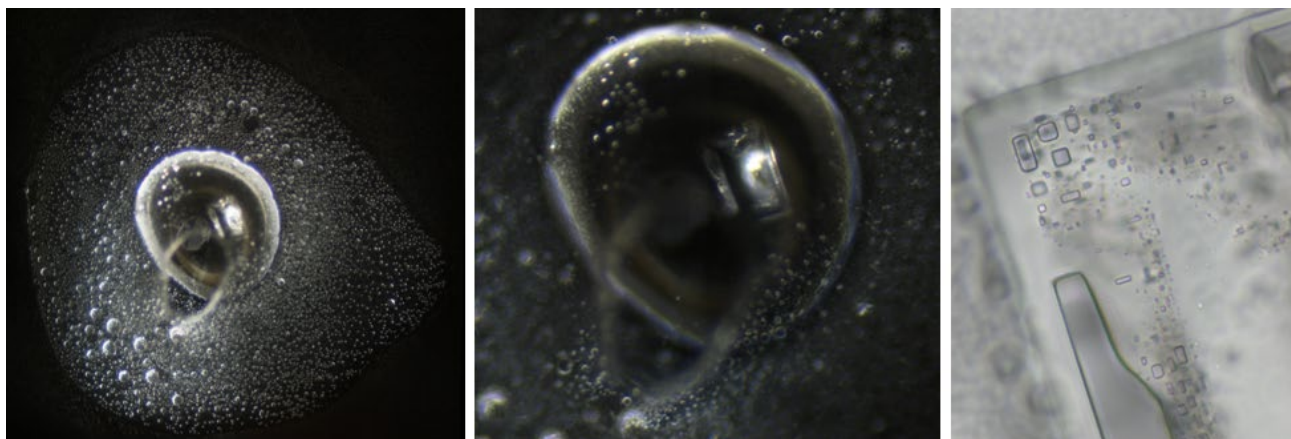


Figura 17. Un cristal complejo formado dentro de una gota de aceite con C60, fotografiado con microscopía de campo oscuro y campo claro. Izquierda y centro: Las vistas en campo oscuro revelan una llamativa estructura toroidal angular con curvatura concéntrica, rodeada de vesículas gaseosas o formaciones de nanoburbujas. Derecha: La imagen en campo claro destaca motivos rectangulares incrustados y geometrías compartimentadas dentro de la matriz interna del cristal, lo que sugiere un diseño sintético o portador de información. Aumento: 1000x.

## Theraphi

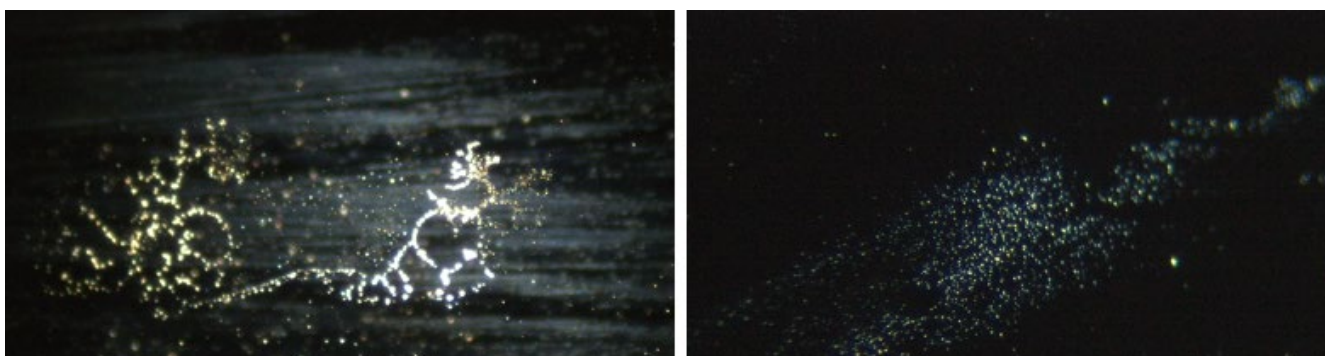


Figura 18. Imágenes de microscopía de campo oscuro que muestran actividad coloidal al inicio del proceso de evaporación de una gota sécil de un anestésico dental expuesto al campo Theraphi. Izquierda: Agrupación temprana de puntos coloidales a lo largo de trazas filamentosas, lo que sugiere un movimiento u organización guiados por el campo. Derecha: Una banda densa y dispersa de partículas coloidales brillantes que aparece inmediatamente después de la colocación de la gota. Tal visibilidad temprana y abundante de coloides no se observó en muestras de control no tratadas, lo que apoya la hipótesis de que la exposición a Theraphi inicia o acelera el autoensamblaje a nanoescala.



Figura 19. Un llamativo arco coloidal semicircular observado en la muestra expuesta al campo Theraphi bajo iluminación de Campo oscuro. La estructura muestra una banda central densa de material reflectante, bordeada por un halo continuo de colores de interferencia prismáticos, lo que sugiere una estratificación organizada o efectos ópticos inducidos por la coherencia. Este tipo de curvatura ordenada y dispersión espectral no se ha observado en muestras no tratadas, lo que plantea la posibilidad de que el campo Theraphi induzca la alineación de fase o la estructuración de la capa límite a la nanoescala.

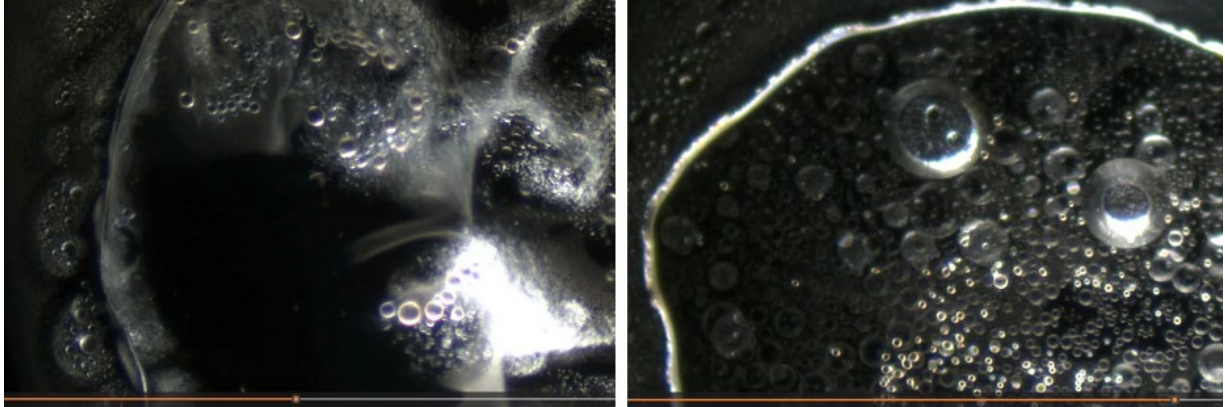


Figura 20. Fotogramas de video microscopía que capturan el comportamiento dinámico de una gota de anestésico dental expuesta al campo Theraphi durante la evaporación sécil. Izquierda: Movimiento de fluido en fase temprana con plegamiento ondulado, efectos de tensión de membrana y patrones de flujo vesiculares. Derecha: Organización estructural en fase intermedia, que presenta una formación de vesículas diferenciada y una densa agrupación de coloides. Aumento de 100x.



Figura 21. Vista completa de la gota seca de una muestra de anestésico dental tratado con Theraphi, que muestra un patrón de deposición periférico característico del "efecto anillo de café". La morfología final seca se asemeja mucho a la de las muestras de control no tratadas. Presenta una densa acumulación en los bordes, bandas periféricas y compartimentación interna.

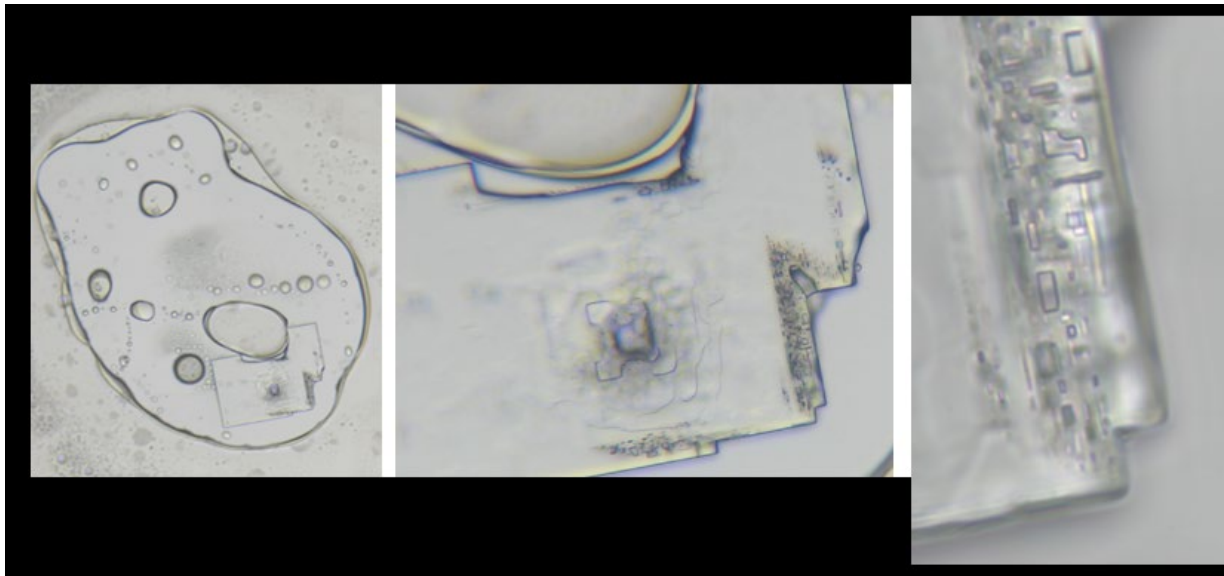


Figura 22 . Progresión del desarrollo cristalino en la muestra tratada con Theraphi. Izquierda: Dominio cristalino inicial que se forma dentro de un límite similar a una vesícula, mostrando inclusiones internas y una definición temprana del borde. Centro: El aumento intermedio revela una zonificación interna escalonada y un rasgo central anidado. Derecha: Vista de alta resolución del borde, que muestra microestructuras rectangulares incrustadas con un espaciado preciso, lo que sugiere un diseño moldeado o portador de información .

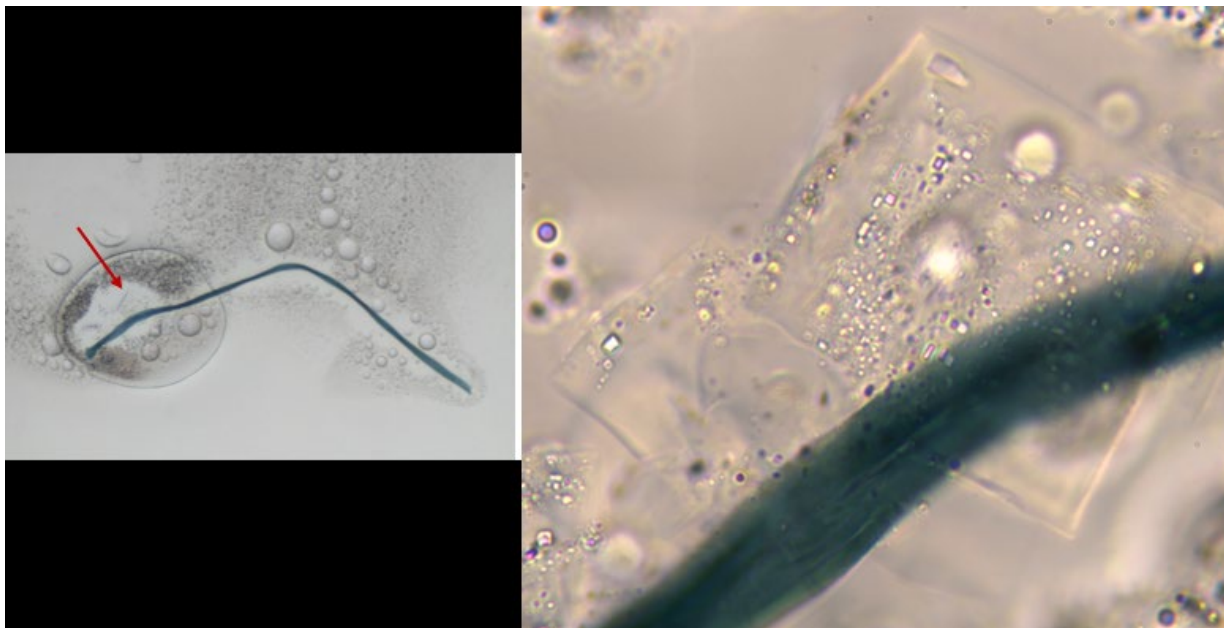


Figura 23. Visión general contextual y detalle ampliado de un ensamblaje de cristal-fibra formado dentro de una vesícula tras la exposición a Theraphi. Izquierda: Imagen de campo claro a 200x que muestra la vesícula completa que contiene CFA, con una flecha roja que marca la región de interés. Derecha: Vista de alto aumento (aproximadamente 500x con mejora digital) del mismo sitio, que revela un cristal rectangular bisecado por un elemento fibroso.

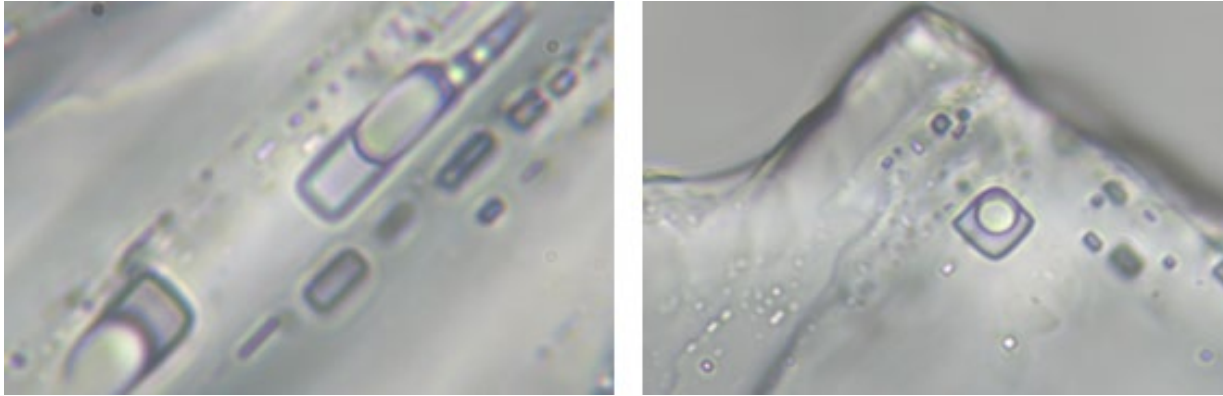


Figura 24. Imágenes de campo claro de alta resolución que muestran regiones cristalinas complejas con motivos círculo-rectángulo (MRC) incrustados. Izquierda: Conjuntos lineales de estructuras rectangulares y similares a vesículas, integradas dentro de la matriz cristalina, que muestran regularidad espacial y consistencia dimensional. Derecha: MRC situado en el ápice de una faceta cristalina, con zonificación estratificada e inclusiones periféricas.

No hay evidencia de que el tratamiento con Theraphi del anestésico dental reduzca la expresión del comportamiento estructural inherente de la formulación. Por el contrario, las muestras tratadas con Theraphi mostraron una mayor abundancia inicial de coloides visibles al principio, en comparación con lo que se observa normalmente en los controles no tratados. Ningún componente de la formación de vesículas, el crecimiento de cristales o el patrón coloidal mostró supresión. De hecho, el autoensamblaje dinámico y la complejidad de las estructuras resultantes fueron al menos iguales, si no superiores, a los observados en las muestras no tratadas.

### Orgonita

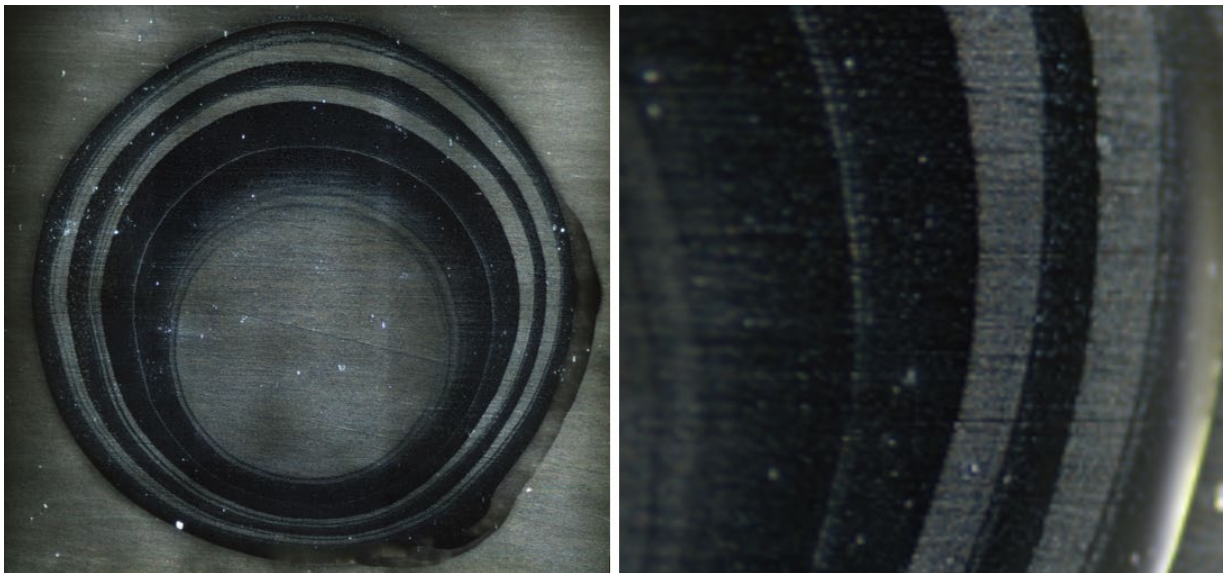


Figura 25. Autoensamblaje detenido y estratificación resonante en la primera gota de anestésico dental tras 48 horas de exposición a un Disco de Orgonita. Izquierda: La gota sécil completa exhibe bandas concéntricas definidas con nitidez, sin crecimiento cristalino o fibroso interno. Derecha: Primer plano de la región estratificada . Aumento aproximado de 40x (izquierda) y 100x (derecha).

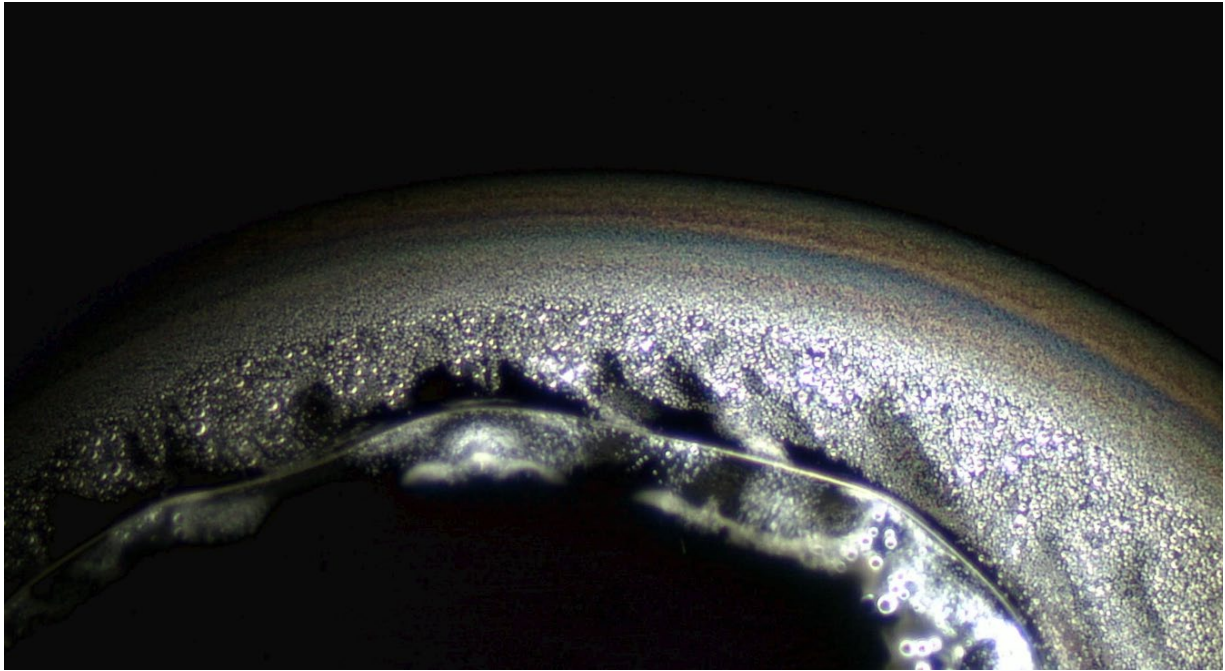


Figura 26. Estratificación espectral periférica y zonas de densidad coloidal en una muestra de anestésico dental tratado con organita. Este primer plano del borde de la gota secándose revela un patrón de bandas prismáticas vívido, junto con microdominios coloidales densamente compactados. La supresión de la Nucleación y la aparición de capas de interferencia similares a un arcoíris sugieren un cambio en la dinámica de la tensión superficial y el comportamiento de secado, lo que concuerda con la modulación de la coherencia. Aumento de aproximadamente 200x.

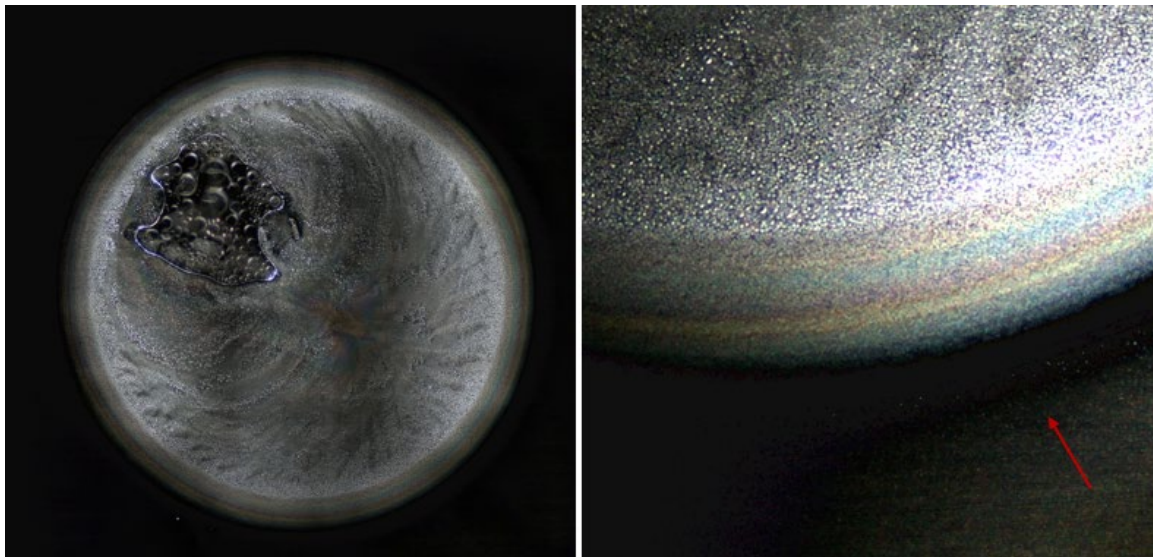


Figura 27. Visión general de campo completo y detalle periférico mejorado de una gota de anestésico dental tratado con organita. Izquierda: la gota sésil muestra patrones de secado radiales sin geometría cristalina, en consonancia con otras muestras tratadas. Un cúmulo de burbujas, al que aquí nos referimos como "Dominio Residual de Coherencia" (DRC), permanece parcialmente suspendido en el cuadrante superior, mientras que el campo circundante está dominado por coloides dispersos de manera uniforme. Derecha: La imagen mejorada (contraste y sombra ajustados) revela bandas nítidas y destaca una zona de exclusión diferenciada (flecha roja). Aumento 200x (izquierda), 400x (derecha).

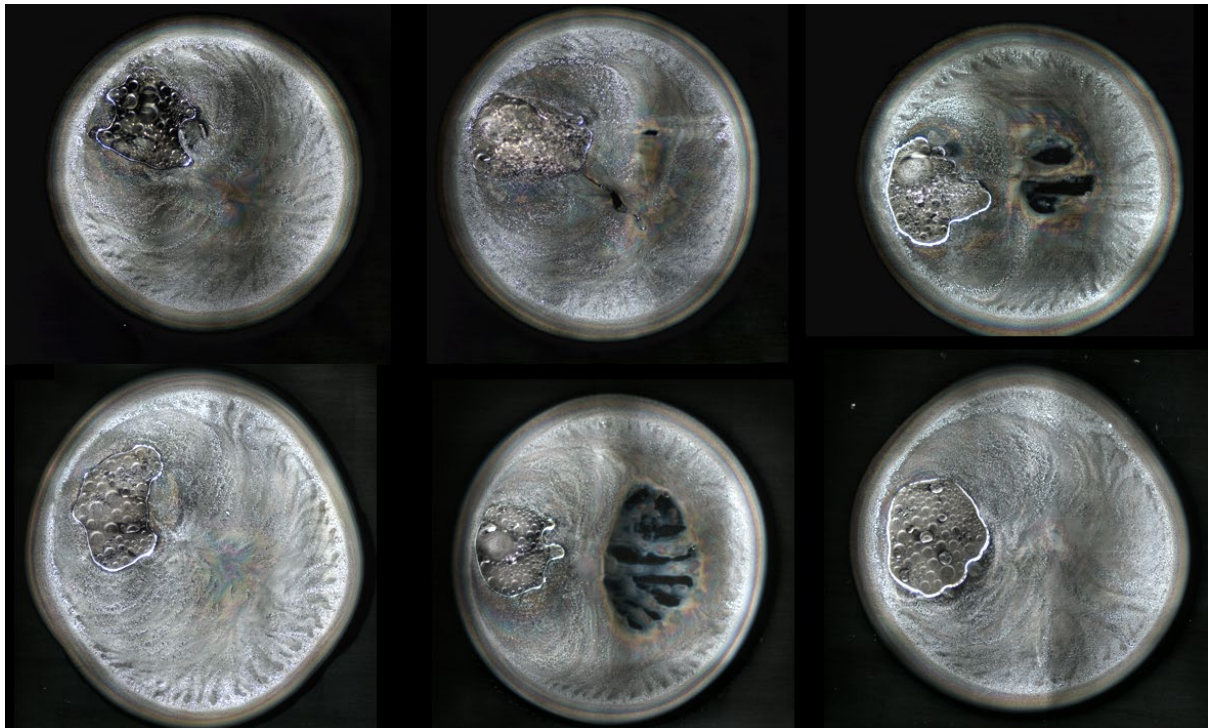


Figura 28. Consistencia en el anestésico dental tratado con orgonita: ausencia de geometría cristalina y aparición de la disrupción del cúmulo de vesículas – "Dominios Residuales de Coherencia" (DRC). Cada imagen representa una gota sécil separada del mismo conjunto de tratamiento, todas ellas expuestas a un Disco de orgonita pasivo durante 48 horas antes de su deposición. A pesar de una ligera variación en el perfil del borde y la acumulación central, todas las muestras exhiben un patrón de secado radial muy consistente, sin formación de cristales. En cambio, las zonas centrales contienen residuos irregulares de cúmulos de vesículas, a menudo parcialmente colapsadas o bifurcadas, y carecen de motivos geométricos coherentes. Los huecos interiores negros (centro derecha, centro inferior) parecen reflejar una integración incompleta o una disrupción activa durante el secado, mientras que la ausencia persistente de autoensamblaje organizado en todas las muestras apoya firmemente la hipótesis de la interferencia de la coherencia. Aumento 100x.

En todas las gotas tratadas, el "Dominio Residual de Coherencia" (DRC) se formó sistemáticamente en el mismo lado de la gota, lo que sugiere un sesgo direccional en la migración del soluto durante la evaporación. De manera destacable, la gota de control —preparada en la misma superficie e imagenada en idénticas condiciones— exhibió la formación de DRC en el lado opuesto. Esta inversión de polaridad implica que el efecto no se debe a la inclinación del sustrato ni a la asimetría de la iluminación. En cambio, podría reflejar un gradiente espacial inducido por el campo , impartido por la presencia del Disco de Orgonita. La consistencia de este patrón en múltiples gotas sugiere una memoria de campo residual o un comportamiento de bloqueo de la orientación, incluso en ausencia de la formación de una estructura cristalina. Los patrones de dispersión coloidal difirieron notablemente entre las distintas condiciones. En las muestras tratadas con orgonita, los coloides permanecieron desacoplados y dispersos por todo el sustrato. Por el contrario, tanto las muestras tratadas con Theraphi como las muestras de control mostraron un acoplamiento estrecho entre vesículas y coloides con una dispersión periférica mínima, lo que indica una integración espontánea o apoyada por la coherencia

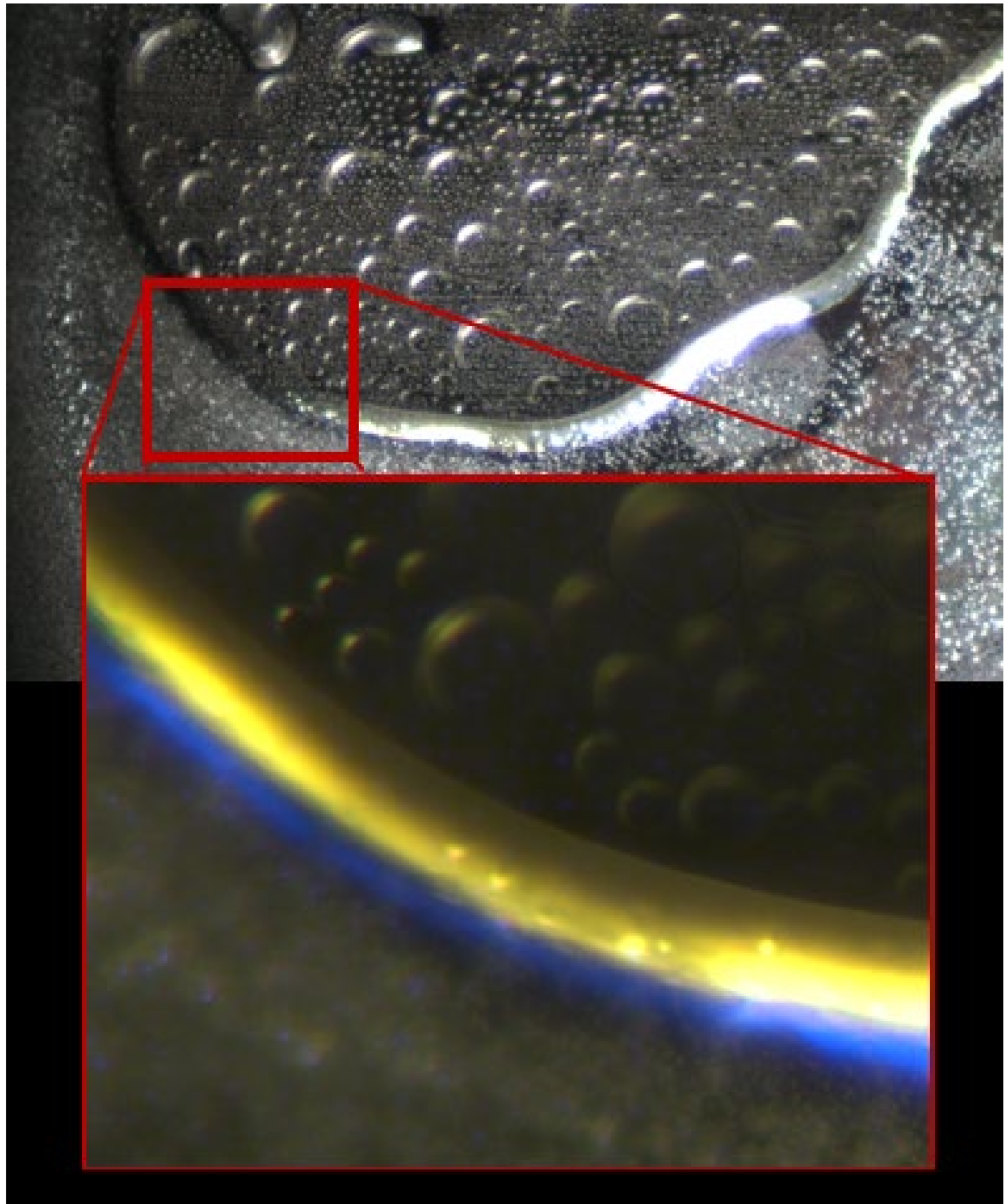


Figura 29. Desacoplamiento vesícula-colloide con un recuadro a gran aumento que muestra una membrana fotónica. La imagen principal revela una separación espacial entre las vesículas (campo superior) y los coloides (campo inferior). El recuadro muestra un límite amarillo-azul nítido, consistente con una interfaz de refracción. Esta membrana parece encerrar la zona vesicular, lo que sugiere una condición de contorno coherente potencialmente vinculada a efectos residuales del campo electromagnético o a una segregación de fases estructurada. Aumento 400x (principal), ~1000x (recuadro).

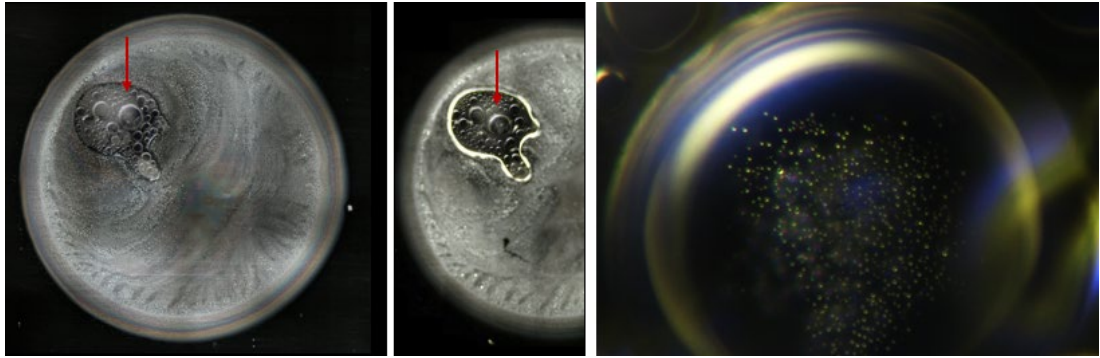


Figura 30. Estabilidad del Dominio Residual de Coherencia (DRC) y desacoplamiento vesícula-coloide. Izquierda y centro: dos imágenes de la misma gota, separadas por ~12 horas, muestran un posicionamiento persistente del DRC (flecha roja) y un cambio morfológico mínimo, lo que sugiere una zona estable de coherencia interna sin formación de cristales. Derecha: vista de alto aumento de una vesícula dentro del DRC que revela un denso cúmulo coloidal central, consistente con el desacoplamiento vesícula-coloide. La ausencia de cristales y la ubicación duradera del DRC respaldan la hipótesis de una coherencia mediada por campos. Aumento: 40x (izquierda, centro); 1000x (derecha).

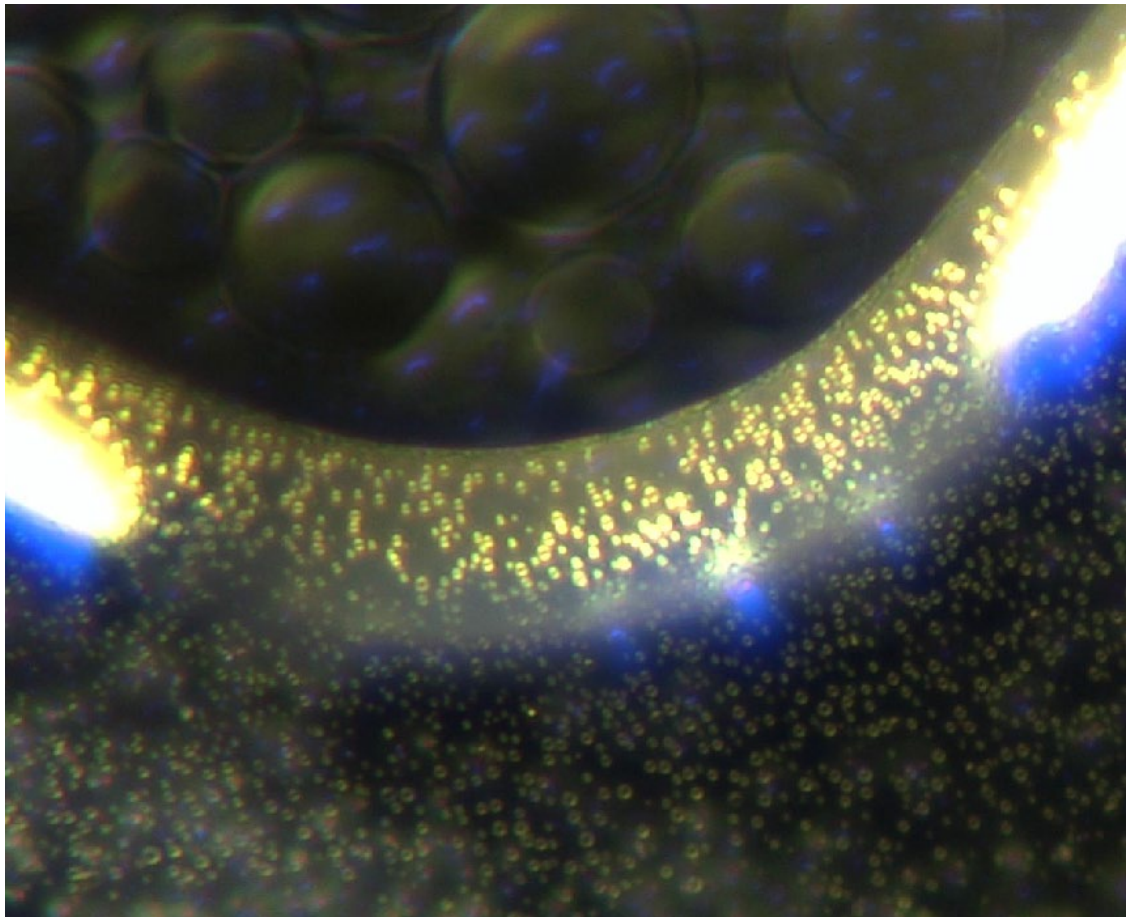


Figura 31. Coherencia de membrana de alta densidad con alineación de puntos a escala de vesícula. Un ejemplo sorprendente de integridad de la membrana y ordenamiento de partículas. Puntos a escala de vesícula (probablemente coloidales o fotónicos) que se alinean densamente a lo largo de un límite liso. La luminiscencia de doble color (amarillo-dorado y azul) sugiere interfaces de fase estructuradas o modulación energética. Las vesículas internas permanecen suspendidas pero estáticas, lo que concuerda con un estado de tipo gel de baja movilidad.

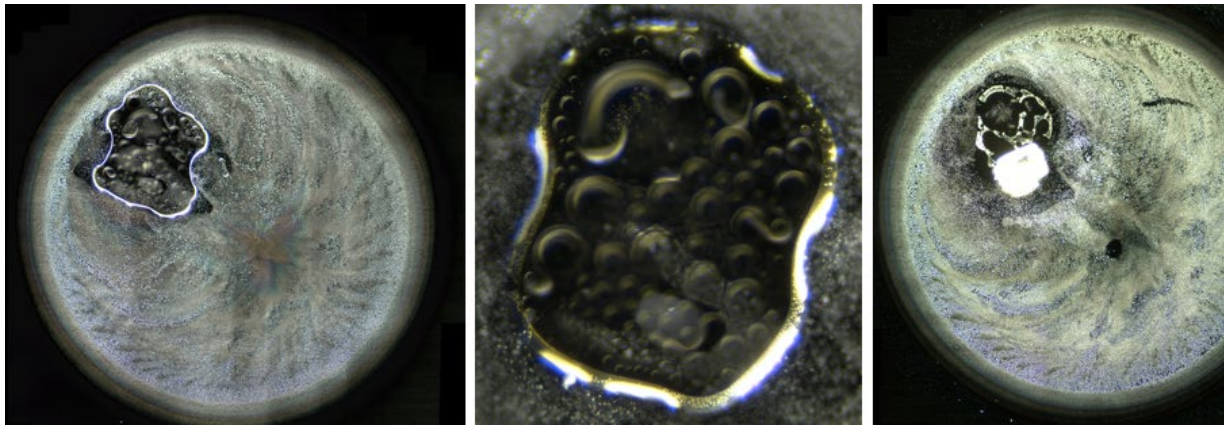


Figura 32. Aparición retardada de cristales tras una estabilidad prolongada de las vesículas. Una gota coherente, rica en vesículas, muestra una latencia prolongada antes de la cristalización. Izquierda: La fase inicial muestra límites de membrana intactos y vesículas organizadas, sin formación de cristal. Centro: La vista ampliada revela vesículas densamente empaquetadas y una membrana luminosa, lo que sugiere un sistema preparado para la transformación. Derecha: La cristalización se produce en el sitio original de la vesícula después de la exposición a la luz, marcada por cambios de reflectividad y colapso estructural, lo que respalda la hipótesis de una transición de fase desencadenada por la luz.



Figura 33. Nucleación de cristal tras una latencia prolongada. Se captura un cristal rectangular a dos aumentos durante su aparición, más de 20 horas después de la deposición de la gota. Izquierda: La nucleación temprana bajo iluminación oblicua muestra una morfología estratificada en la estructura en formación (aproximadamente 200x, profundidad de campo extendida). Derecha: Una vista con mayor aumento revela la compartimentación interna y la complejidad de la superficie, lo que confirma una transición de inicio tardío dentro de una gota previamente estabilizada. Se sospecha que la exposición a la luz es el desencadenante.

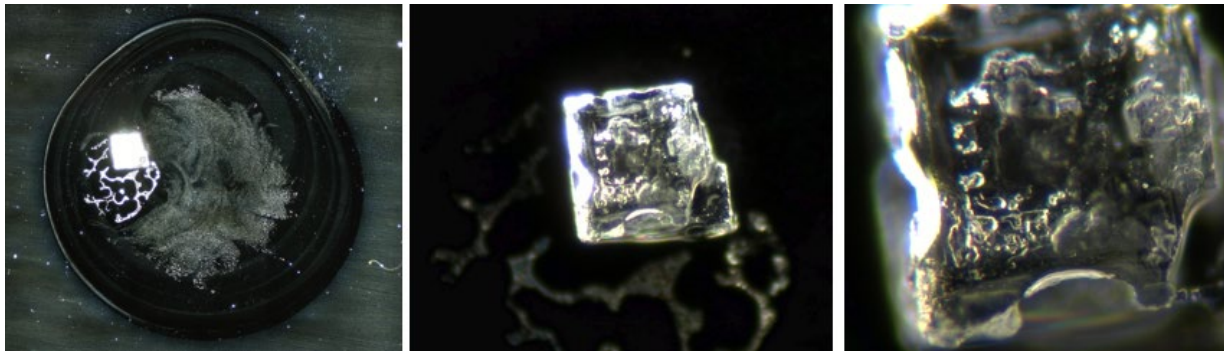


Figura 34. Cristalización tras el primer proceso SDE de anestésico dental Tratado con organita. Izquierda: La vista de baja potencia revela un único cristal dominante en el centro de un campo de residuo amplio y modelado. Centro: El aumento medio destaca la geometría limpia del cristal y su perímetro nítido. Derecha: El alto aumento muestra inhomogeneidades internas e irregularidades microestructurales. Aumento 40x, 100x, 200x.

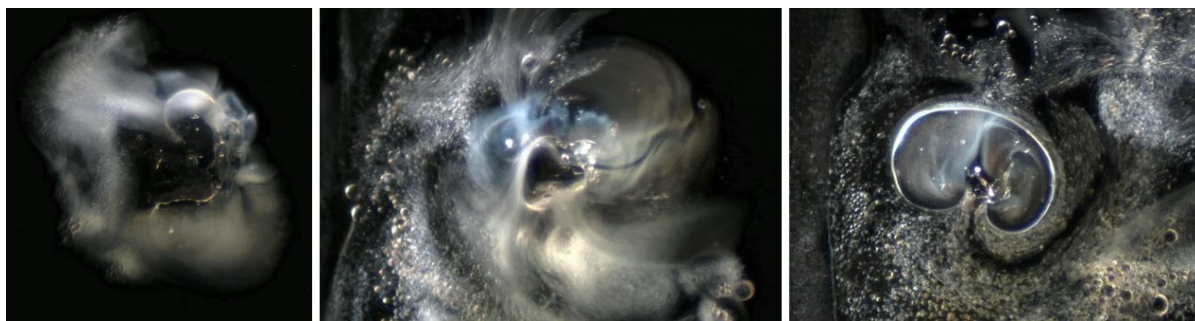


Figura 35. Disolución del cristal de primera generación formado tras el proceso SDE Tratado con organita. Izquierda: El contacto inicial muestra un desplazamiento mínimo del cristal, que permaneció en gran parte estático, a diferencia de las disoluciones SDE típicas que muestran un rápido desprendimiento o migración. Centro: A medida que avanzaba la disolución, emergió un halo azul tenue alrededor de la estructura, lo que podría indicar la presencia de nanopartículas no ensambladas. Derecha: A pesar de la presencia de movimiento vesicular y límites particulados dispersos, no se formaron estructuras toroidales, lo que sugiere una dinámica de ensamblaje alterada. Aumento 100x.

Estas secuencias finales confirman que el proceso de cristalización no es fijo, sino manipulable. Este hallazgo desafía de forma fundamental las suposiciones sobre el comportamiento pasivo de los materiales. La emergencia, la geometría y la estabilidad de las estructuras cristalinas varían drásticamente en función del contexto energético y la historia de la gota. La Cristalización retardada preserva la forma externa, pero muestra un orden interno degradado, mientras que la Cristalización inmediata en un segundo ciclo SDE exhibe lo contrario: surgen motivos interiores, pero la geometría perimetral sufre un colapso. Estas diferencias implican un delicado equilibrio entre la disponibilidad de energía y la accesibilidad de las partículas. La observación de que las estructuras pueden ajustarse o interrumpirse tras sucesivas evaporaciones sugiere una programabilidad latente dentro del sistema, un fenómeno no previsto por los modelos clásicos de Cristalización o disolución.

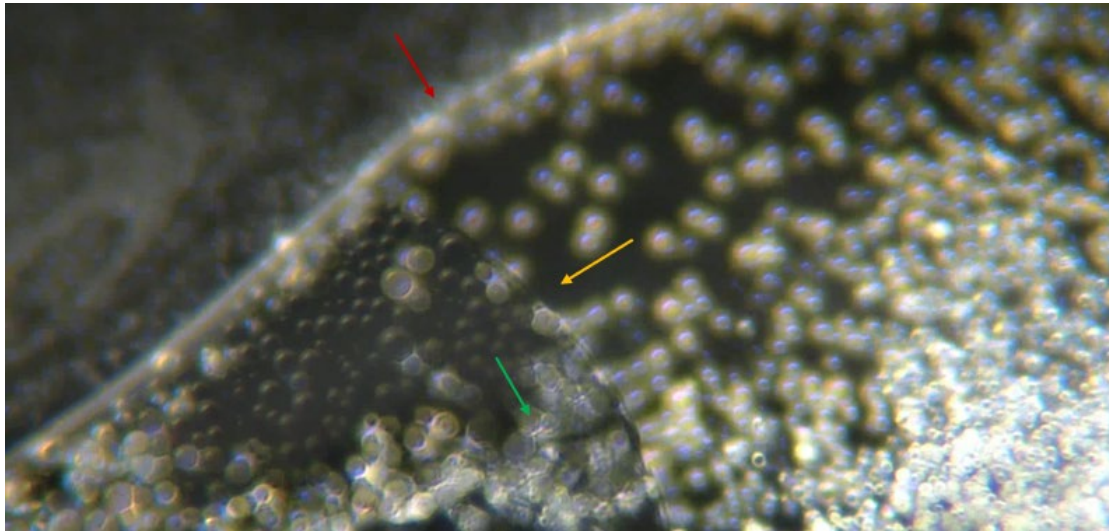


Figura 36. Fotograma del segundo vídeo del proceso SDE que muestra una alteración del comportamiento interfacial tras la exposición a Orgonita. La flecha roja señala la línea de contacto convencional de la gota, pero emergen dos características adicionales: un límite interno prominente (flecha naranja) y una subinterfaz que une el cuerpo cristalino a la matriz vesicular (flecha verde). Aumento 200x.

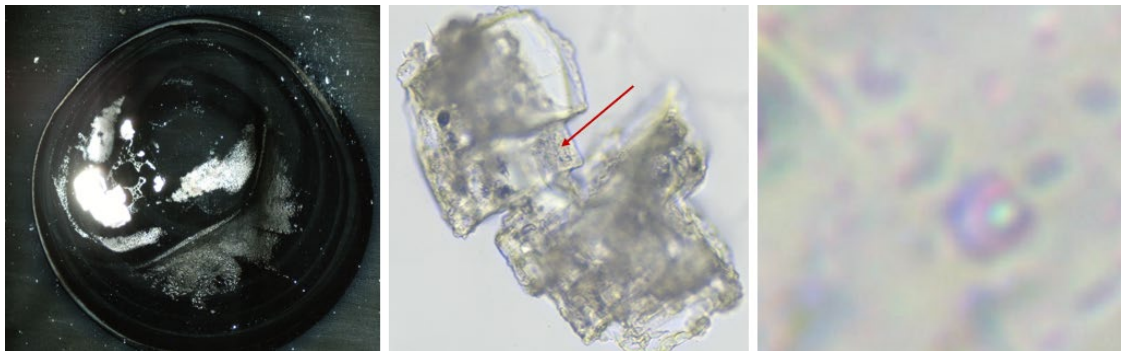


Figura 37. Cristal de segunda generación formado a partir de una muestra tratada previamente, tras un segundo ciclo de evaporación de gota sécil (EGS). A pesar de las irregularidades visibles en la morfología (izquierda y centro), persisten características reconocibles del motivo sintético original. La flecha roja destaca un nodo estructural retenido. Las imágenes de gran aumento a 4000x (derecha) revelan un Motivo Círculo-Rectángulo (MRC) distinto, lo que indica que las geometrías de diseño centrales permanecen incrustadas incluso después de una disrupción y reformación parcial.

A pesar de los claros signos de alteración, el cristal de segunda generación conservó varias características distintivas de la arquitectura sintética observada en etapas anteriores. Si bien la geometría cristalina era menos coherente y el autoensamblaje menos energético, lo que sugiere una alteración en la dinámica del autoensamblaje, motivos específicos como el Motivo Círculo-Rectángulo (MRC) seguían siendo identificables a gran aumento. Esta persistencia indica que, aunque la exposición a la Orgonita pudo haber interferido con la regularidad estructural o retrasado la cinética del autoensamblaje, no borró la plantilla o las instrucciones subyacentes incrustadas en el sistema. El resultado apoya la hipótesis de que la coherencia energética puede influir —pero no neutralizar por completo— en la capacidad de re-autoensamblaje, y que capas de codificación más profundas pueden seguir siendo accesibles incluso en condiciones alteradas.

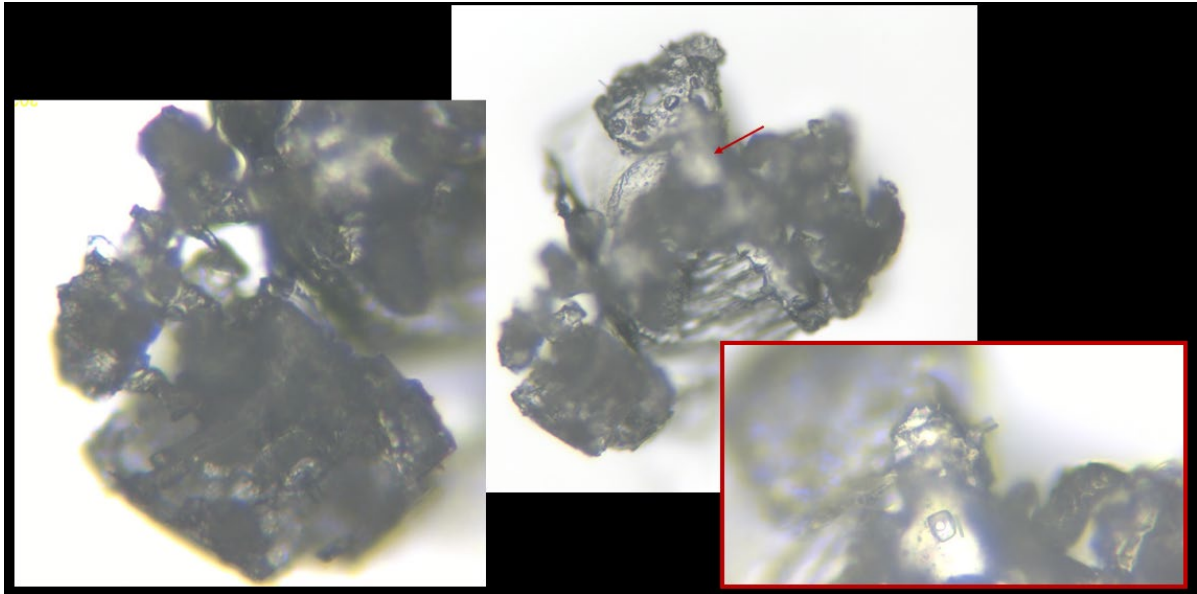


Figura 38 . Cristal de segunda generación (2GC) tras EDS tratado con organita. El panel izquierdo muestra una geometría más amplia a ~40 0x de aumento, con degradación superficial e interrupción de la estratificación. El recuadro en el extremo derecho (~1000x) destaca un Motivo Círculo-Rectángulo (MRC) persistente incrustado en el borde cristalino. A pesar de las irregularidades visibles, motivos estructurales clave siguen siendo detectables.

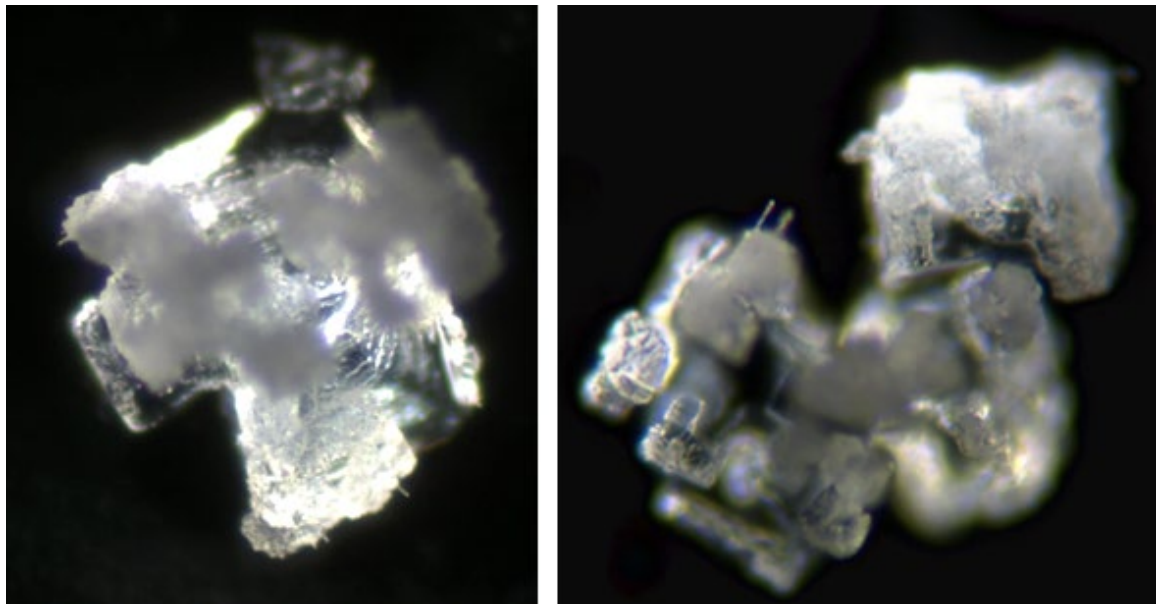


Figura 39. A pesar de las claras irregularidades y la degradación estructural parcial, ambos cristales de segunda generación mostrados exhibieron extensiones de borde prominentes, lo que sugiere una retención parcial de las rutinas arquitectónicas subyacentes. Estas formas eran notablemente más tridimensionales que las observadas en los controles no tratados, que típicamente mostraron un crecimiento planar más predecible. Aumento: 200x.

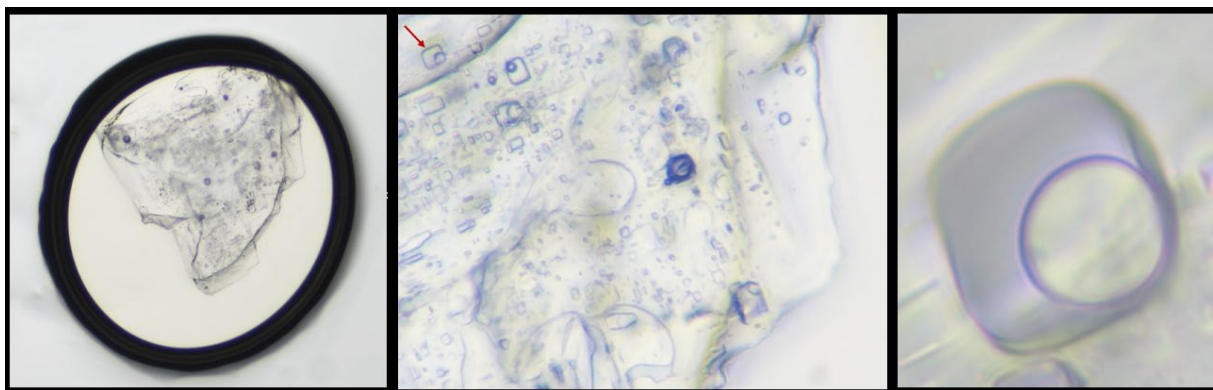


Figura 40. 2GC formado tras dos días de exposición continua a orgonita. Izquierda: La vista de baja potencia muestra una geometría perimetral deficiente y una altura desigual. Centro (400x): se revelan detalles internos que incluyen vacíos rectangulares y microestructuras. Derecha (~1000x): se enfoca un Motivo Círculo-Rectángulo (MRC) distinto con características afiladas e incrustadas.

Esta presencia recurrente de Motivos Círculo-Rectángulo (MRC) incrustados, incluso dentro de cristales de segunda generación degradados o irregulares, sugiere una cualidad fractal o recursiva en la arquitectura subyacente. Mientras que la morfología externa se distorsiona cada vez más bajo exposición prolongada a orgonita o perturbación energética, los motivos centrales reaparecen a escalas más pequeñas y en ubicaciones inesperadas. Esta persistencia fractal indica que el sistema podría operar bajo principios de codificación jerárquica, donde estructuras autosimilares se replican a través de niveles de aumento, preservando la lógica de diseño a pesar de la disrupción ambiental. La resiliencia de estos motivos en todas las condiciones refuerza la hipótesis de una plantilla o conjunto de instrucciones incrustado no gobernado únicamente por los parámetros clásicos de cristalización.

### **Polaridad de la DRC persistente y efectos de la exposición prolongada a la orgonita**

En todas las gotas tratadas con orgonita, el Dominio Residual de Coherencia (DRC) se formó consistentemente en el mismo lado de la gota sésil, lo que indica un sesgo direccional en la migración del soluto y la disrupción de la coherencia durante la evaporación. Esto no fue un artefacto de la inclinación del sustrato, la iluminación o las condiciones de toma de imágenes. El microscopio siempre se posicionó en el mismo lado de la muestra; sin embargo, la polaridad de la DRC permaneció invariante. Esta fidelidad espacial sugiere una anisotropía persistente, inducida por el campo, dentro del paisaje de coherencia de la gota, capaz de imprimir un comportamiento direccional al sistema.

Esta interpretación se vio aún más reforzada por la demostración de microscopía en vivo utilizando la muestra tratada con orgonita durante 10 días. En esta configuración, se colocaron dos microscopios a 90 grados con respecto a la fuente del ordenador portátil, y se iniciaron seis gotas en cada lado. En todos los casos (12 de 12 gotas), el proceso de autoensamblaje exhibió mayor vigor en el lado más alejado del ordenador portátil, mientras que la cristalización ocurrió consistentemente en el lado más cercano al ordenador portátil. Esta alineación, ortogonal a cualquier fuente de luz o simetría ambiental, excluye la fototaxia o la migración impulsada por la luz como factores causales. En cambio, apoya la hipótesis de que, bien la disrupción de la coherencia inducida por la orgonita, bien la emisión electromagnética del ordenador portátil, o bien su interacción, establece un gradiente espacial fijo que persiste a través de los ciclos de evaporación y las configuraciones experimentales.

La muestra de exposición a Orgonita de 10 días, capturada en la Figura 41, añade una dimensión adicional a este fenómeno. La zona DRC en esta gota adoptó una morfología perfectamente circular, que representa la configuración de mínima energía disponible para un dominio restringido. Esto sugiere que la exposición prolongada al campo de Orgonita agotó el potencial arquitectónico del sistema o lo estabilizó en un estado geoméricamente conservador. Además, el anillo periférico negro (anillo de café) era notablemente asimétrico, con un mayor grosor en el mismo lado que la DRC, lo que refleja la polaridad persistente observada en las muestras de 48 horas.

En particular, aproximadamente 12 horas después de la deposición, la DRC circular nucleó espontáneamente un cristal. Esta cristalización tardía no surgió de forma caótica, sino que emergió directamente del dominio residual estabilizado, lo que indica que la coherencia latente se conservó incluso después de una exposición y interrupción prolongadas. Esto se asemeja a observaciones anteriores en las que la integridad de las vesículas dentro de las DRC mantenía un potencial latente para la reorganización estructural, desencadenada por factores ambientales como la exposición a la luz o la evaporación a intervalos.

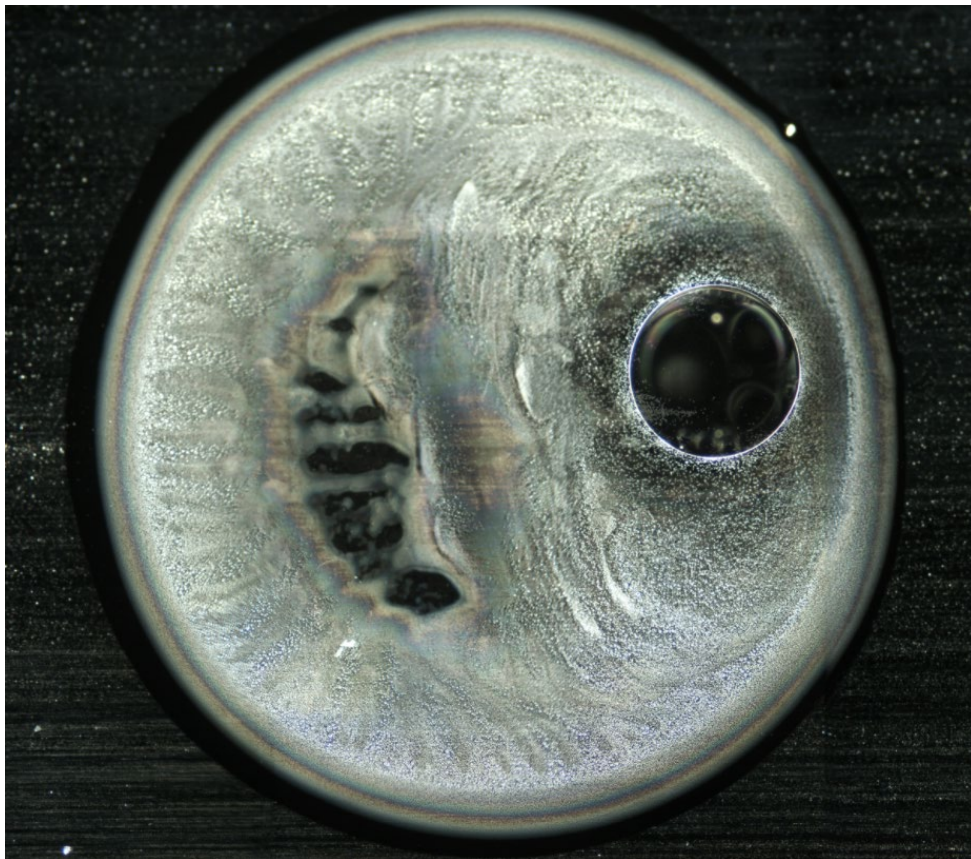


Figura 41. Dominio Residual de Coherencia circular y anillo de café asimétrico en una gota tratada con orgonita de 10 días. El DRC (lado derecho) presenta una geometría completamente circular, lo que indica una configuración de mínima energía después de una interrupción de la coherencia prolongada. El anillo de café periférico es significativamente más grueso en el lado del DRC, lo que demuestra un sesgo direccional persistente. Aproximadamente 12 horas después de la deposición, un cristal nucleó dentro de la zona del DRC, lo que sugiere una coherencia latente preservada a pesar de la interrupción de campo. Estas características direccionales se mantuvieron consistentes independientemente de la posición del Microscopio o la iluminación, como se validó aún más en experimentos *in vivo*. Aumento ~40x.

### **Asimetría de coherencia inducida por la proximidad del portátil: Hallazgos de la demostración en vivo**

Esta interpretación se vio aún más reforzada por la demostración de microscopía en vivo utilizando la muestra tratada con orgonita durante 10 días. En esta configuración, se colocaron dos Microscopios a 90 grados con respecto al portátil, con seis gotas iniciadas en cada lado. En todos los casos (12 de 12 gotas), el proceso de autoensamblaje fue más vigoroso en el lado más alejado del portátil, mientras que la Cristalización ocurrió consistentemente en el lado más cercano al portátil. Esta alineación, ortogonal a cualquier fuente de luz o simetría ambiental, excluye la fototaxia o la migración impulsada por la luz como factores causales. En cambio, los datos sugieren que la disrupción de la coherencia inducida por la Orgonita, las emisiones electromagnéticas del portátil, o su interacción, establecieron un gradiente espacial fijo que persistió a través de los ciclos de evaporación y las configuraciones experimentales.

En ambos Microscopios surgió una asimetría sorprendente: en cada gota, el lado opuesto al portátil exhibió un proceso SDE más vigoroso y dinámico, caracterizado por una migración coloidal acelerada y una redistribución radial. Por el contrario, el lado de cada gota más cercano al portátil mostró, consistentemente, una actividad disminuida y una reorganización interna menos pronunciada.

A pesar de esta disparidad en el comportamiento de las gotas, emergió consistentemente un único cristal en el lado más cercano al portátil en las seis muestras. Esta uniformidad se replicó de forma idéntica en ambos Microscopios. Por lo tanto, mientras que el lado opuesto al portátil demostró un mayor movimiento fluido y coloidal, la Cristalización se localizó preferentemente en la región más tranquila y menos dinámica orientada hacia el portátil.

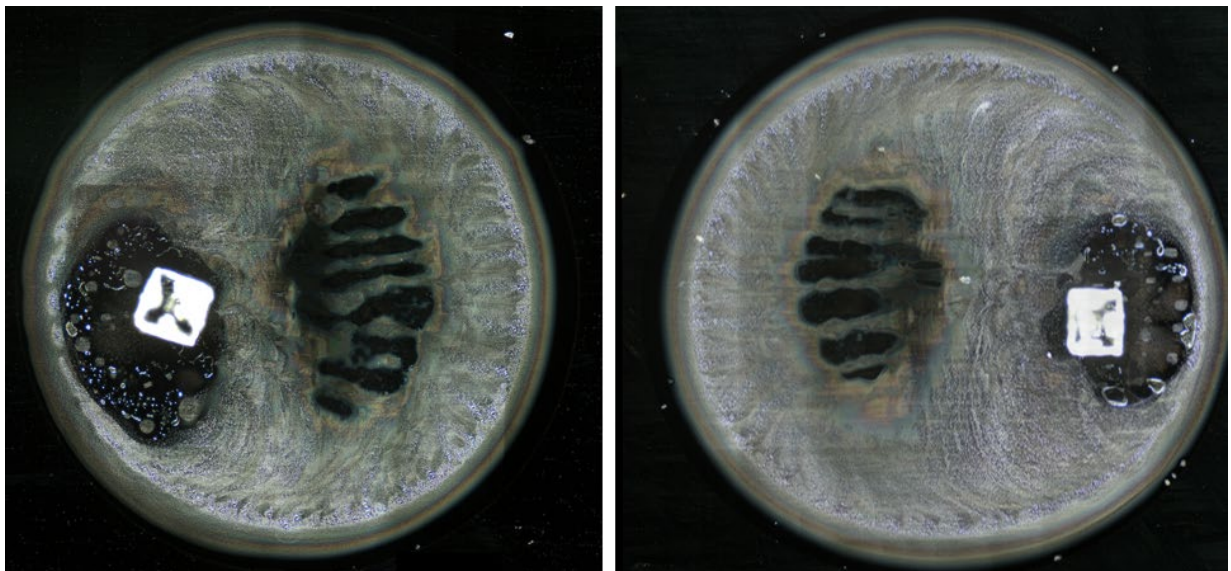


Figura 42. Ambas imágenes muestran gotas sésiles de anestésico dental tratado con orgonita, capturadas el día anterior al experimento en vivo. El Microscopio se reposicionó en el lado opuesto del portátil, en comparación con las sesiones anteriores. La DRC y la segregación de vesícula-coloide reaparecieron consistentemente en el lado más cercano al portátil, lo que confirma que el sesgo espacial no está fijado a la configuración física del Microscopio, sino que está ligado a la orientación ambiental con respecto al portátil. Esta consistencia posicional descarta la asimetría de la iluminación y respalda un mecanismo dependiente del campo que influye en la migración del soluto y la coherencia estructural. Aumento ~40x.

Esta observación sugiere que el campo electromagnético activo del portátil, o una influencia de coherencia asociada, podría estar ejerciendo un sesgo direccional en los procesos de autoensamblaje. La dinámica suprimida en el lado proximal podría haber facilitado condiciones de Nucleación más tempranas o sencillas, mientras que el movimiento aumentado en el lado distal podría haber mantenido la gota en un estado más dinámico y sin ensamblar.

Estos hallazgos contribuyen a un creciente conjunto de evidencias de que las condiciones de coherencia localizadas, incluso sutiles y derivadas de dispositivos, pueden influir no solo en la velocidad, sino también en la orientación espacial de los materiales de autoensamblaje. La simetría bilateral del efecto observada en dos Microscopios independientes, bajo idénticas condiciones ambientales, refuerza la interpretación de una influencia mediada por campos, en lugar de un resultado aleatorio o artificial. En conjunto, estas observaciones corroboran la idea de que la exposición a Orgonita modula tanto la dinámica como el paisaje de coherencia espacial del autoensamblaje, integrando una memoria direccional que gobierna el patrón y la Nucleación. La coexistencia del anillo de café asimétrico, la polaridad bloqueada de la DRC y la Cristalización retrasada dentro de una zona circular proporciona una evidencia sólida y reproducible de una anisotropía duradera mediada por campos, que no puede explicarse por gradientes de luz o sesgos de procedimiento.

## Resumen de los resultados

Los resultados de este estudio revelan una coreografía sensible a campos del autoensamblaje en el Anestésico dental. En las muestras no tratadas, se observó una progresión consistente y reproducible: el movimiento coloidal dinámico originó la formación de vesículas, seguido de la aparición de arquitecturas cristalinas. Estas estructuras mostraron una sorprendente precisión geométrica y organización interna, incorporando frecuentemente motivos tales como Motivos de Círculo-Rectángulo (MRCs) y Ensamblajes Cristal-Fibra (ECFs), lo que sugiere una lógica de ensamblaje no aleatoria y sensible a la energía.

La exposición al Sistema Theraphi no inhibió este comportamiento. Por el contrario, pareció acelerar la convergencia coloidal y favorecer el desarrollo de formaciones cristalinas iguales o mayores en complejidad que las observadas en los controles no tratados. Por el contrario, las muestras expuestas a Orgonita mostraron una marcada alteración de este proceso de autoensamblaje. La Cristalización se retrasó o detuvo, el acoplamiento vesícula-coloide se debilitó y las características coherentes del límite, incluidas las membranas fotónicas y los Dominios Residuales de Coherencia (DRC), se volvieron consistentemente prominentes. Estos patrones sugieren un efecto de interferencia de coherencia reproducible, específico de la exposición a Orgonita.

Cabe destacar que el sistema se mantuvo receptivo a ciclos de evaporación secundarios. Las estructuras que no lograron cristalizar durante la evaporación inicial de la gota sécil (EDS) a menudo reaparecieron en gotas de segunda generación. Estos cristales de segunda generación (2GC), aunque con una forma degradada, retuvieron la expresión del motivo interno, incluidos los MRC, lo que indica que la lógica organizativa subyacente no se borró, sino que se pospuso. Esta capacidad de retraso, deformación y reconstitución parcial apunta a un proceso de autoensamblaje basado en plantillas o programable, en lugar de uno puramente estocástico.

Estos hallazgos respaldan una lógica de dos etapas en la Cristalización: la Etapa 1 se basa en la coherencia energética para establecer la forma externa, mientras que la Etapa 2, activada solo tras un colapso parcial, utiliza la información coloidal desbloqueada para expresar la complejidad interna. Este modelo emergente, propuesto de forma independiente por Mateo Taylor y el autor, se explora más a fondo en el Apéndice 8.

En conjunto, los resultados indican que el autoensamblaje en estos sistemas no está gobernado únicamente por la composición química, sino que depende de las características de coherencia del campo circundante. La persistencia de motivos geométricos en condiciones interrumpidas o alteradas implica la presencia de codificación jerárquica, memoria estructural y reorganización adaptativa. Estos sistemas cristalinos no se comportan como residuos inertes, sino como participantes dinámicos en una coreografía de fases dependiente de la coherencia, capaz de modulación, supresión y regeneración estructural.

Los resultados contrastantes entre la exposición a Orgonita y a Theraphi plantean preguntas importantes sobre cómo la propia coherencia interactúa con las arquitecturas sintéticas. Mientras que la Orgonita pareció interrumpir el desarrollo estructural, Theraphi no inhibió el autoensamblaje, sino que incluso podría haberlo potenciado. Esta divergencia sugiere que la coherencia, cuando se administra a través de campos armónicos o regenerativos, puede estabilizar e incluso activar estas formaciones, particularmente si están diseñadas para alinearse con una entrada resonante. En este contexto, Theraphi podría actuar menos como un disruptor y más como un amplificador de señal. Estos resultados no socavan su potencial terapéutico para sistemas biológicos, pero sí advierten contra su uso como contramedida para procesos de ensamblaje sintéticos que dependen de la coherencia. Se necesita más investigación para determinar si la modulación del perfil de frecuencia o la duración de Theraphi podrían revertir este efecto.

## Discusión

Los resultados de este estudio ofrecen la indicación más sólida hasta el momento de que la persistencia estructural en estas preparaciones farmacéuticas depende de algo más que su composición química. A principios de 2023, Mateo Taylor planteó la siguiente pregunta: ¿por qué un anestésico dental experimenta un proceso de evaporación tan dramático y enérgico, y por qué produce cristales tan complejos? Estas preguntas siguen siendo relevantes.

A estas, podemos añadir ahora: si este proceso de cristalización fuese una simple consecuencia química de sus constituyentes conocidos, ¿por qué dos días de exposición pasiva a un Disco de Orgonita interrumpen la lógica estructural del sistema? ¿Y por qué una luz LED de alta intensidad, introducida solo después de 8 horas de latencia estructural, reinicia repentinamente una versión de segunda categoría del proceso? El contraste es evidente.

En condiciones estándar, las gotas de anestésico experimentan una secuencia tetrafásica reproducible: Aparición de nanopartículas, agregación coloidal, organización vesicular y consolidación final mediante cristalización. Sin embargo, cuando se exponen a un disruptor de campo pasivo, esta progresión se interrumpe, ya sea deteniéndose por completo o reanudándose de forma aberrante.

Tales resultados refuerzan una tesis central: la arquitectura observada no es meramente una consecuencia de la composición química, sino una secuencia de autoensamblaje dependiente de la coherencia. Esta dependencia de la coherencia de campo se examina más a fondo en el Apéndice 2, que se basa en el marco electrodinámico cuántico desarrollado por Del Giudice y colaboradores, donde la cristalización se interpreta como un fenómeno impulsado por la coherencia, que depende de la formación de dominios electromagnéticos estables dentro del medio en evaporación.

El segundo evento de Cristalización —desencadenado tras la re-evaporación de la misma muestra— ocurrió significativamente más rápido de lo habitual, con estructuras iniciales que aparecieron en cuatro minutos. Esta aceleración, aunque sorprendente, tuvo un coste: el desarrollo vesicular se vio afectado, la fase coloidal era delgada y muchos de los cristales resultantes exhibieron una pronunciada tridimensionalidad, sobresaliendo del plano de maneras raramente observadas en geometrías bien formadas.

El resultado no fue una organización refinada, sino una especie de improvisación arquitectónica: formas parciales forzadas prematuramente a una expresión cristalina. Estos resultados sugieren un sistema que intenta completar su rutina en condiciones energéticamente subóptimas.

Esto no es mera degradación, sino un intento de reconstrucción en condiciones de campo deterioradas, lo que concuerda con un sistema gobernado por rutinas sensibles a la coherencia. Un fuerte delta de coherencia —entre el restablecimiento previo activado por la luz y el nuevo contexto de evaporación— puede haber impulsado esta aceleración aberrante.

Si estos materiales son realmente receptivos y moldeados, entonces sus descomposiciones resultan tan reveladoras como sus autoensamblajes. Y debemos preguntarnos: ¿por qué un producto farmacéutico iba a contener una

lógica integrada que falla tan específicamente bajo la disrupción de la coherencia? El fallo, en este caso, parece de valor diagnóstico.

Estas observaciones han impulsado un modelo de trabajo que distingue entre dos generaciones de formación de cristales. Los cristales de primera generación (1GCs) emergen en condiciones de alta coherencia de campo, exhibiendo una geometría externa marcada y estabilidad planar. Sin embargo, su integración interna a menudo es limitada debido al bloqueo coloidal, donde las partículas coloidales suspendidas se inmovilizan dentro de las capas de agua estructuradas y permanecen distribuidas difusamente por todo el sustrato de la gota.

Los cristales de segunda generación (2GCs), por el contrario, se forman tras el colapso sistémico o la reexposición a un estímulo externo, aprovechando los coloides previamente liberados que han recuperado su movilidad. Aunque estructuralmente más débiles y más propensos a la distorsión fuera del plano, los 2GCs muestran una organización interna mejorada, incluyendo una mayor recurrencia de Motivos Círculo-Rectángulo (MRC) y una mayor articulación fractal.

Esto sugiere que, si bien la coherencia permite la fidelidad arquitectónica, el contenido de información transportado por las dispersiones coloidales sustenta una complejidad más profunda. La discusión completa se proporciona en el Apéndice 9.

A lo largo de cientos de ciclos de evaporación, la aparición de estructuras cristalinas ha seguido una secuencia notablemente estable: las Nanopartículas se agregan en dominios coloidales, las vesículas se forman y migran posteriormente, y los motivos cristalinos consolidan entonces la arquitectura. El proceso no es pasivo ni puramente químico; es dinámico, estratificado y repetible.

Por primera vez, este proceso fiable hasta ahora se interrumpió. Tal consistencia sugiere un sistema altamente restringido, cuya precisión puede representar en sí misma un punto de fragilidad. Las vesículas estaban ausentes o disminuidas, la fase coloidal era débil y los cristales aparecieron abruptamente: la primera vez, desencadenada por la luz; la segunda, sin las fases preparatorias habituales, surgiendo de un entorno estructuralmente inmaduro.

Estos resultados sugieren que las vesículas no son accesorias, sino fundamentales. Su ausencia o inmadurez parece comprometer la lógica arquitectónica de todo el sistema, produciendo resultados distorsionados en lugar de formas refinadas.

Esto es una prueba más de que los cristales son complejos por diseño, no por su composición química. La persistencia de los Motivos Círculo-Rectángulo (MRC) embebidos y la repetida aparición de patrones vesiculares, incluso en condiciones disruptivas, sugieren un sistema gobernado por principios de diseño fractal o recursivo. Estas estructuras se replican no solo espacialmente, sino también a través de sucesivas generaciones de cristalización, lo que refuerza la hipótesis de una lógica de ensamblaje jerárquica y codificada.

No obstante, la persistencia de la replicación de motivos, incluso en geometrías malformadas, sugiere una paradoja: robustez en la expresión, pero fragilidad en la coherencia. Estos resultados refuerzan la hipótesis de

una lógica de diseño embebida, pero también resaltan la dependencia del sistema de la integridad del campo como su talón de Aquiles.

La importancia de esta disrupción radica en que no se produjo por interferencia química, perturbación mecánica o variación térmica, sino por la exposición pasiva a campos. El Disco de Orgonita, un compuesto no alimentado de resina, metal y cuarzo, fue suficiente para desestabilizar un sistema que, por lo demás, había demostrado una fidelidad estructural extraordinaria en cientos de pruebas.

Esto sugiere una vulnerabilidad más profunda: que estos ensamblajes no están gobernados únicamente por gradientes de concentración o tensión superficial, sino por la coherencia.

Aún más reveladora es la comparación con la exposición a Theraphi. A pesar de proporcionar un campo energético mucho más intenso, el tratamiento con Theraphi no logró alterar la vía de cristalización, que prosiguió con su precisión y simetría habituales.

Este contraste implica que no es la magnitud de la energía lo que determina la disrupción, sino algo más sutil, posiblemente relacionado con la interferencia escalar, el desajuste de fase de coherencia o la resonancia destructiva; mecanismos no medibles mediante métricas de energía convencionales, pero decisivos en sistemas codificados por campos. Destaca un sistema cuya alteridad no es termodinámica, sino informacional.

Si estas estructuras son dependientes de la coherencia, entonces la modulación basada en campos, especialmente en dominios de baja energía no ionizantes, puede desempeñar un papel decisivo, ya sea manteniendo o fracturando su lógica interna.

A pesar de esta alteración del orden, ciertas características arquitectónicas persistieron. Los Motivos de Círculo-Rectángulo (MRC) y las inclusiones de vesículas continuaron apareciendo, aunque de forma degradada. Las extensiones de borde reaparecieron, pero con una claridad reducida y una alineación interrumpida.

Esta recurrencia parcial sugiere un nivel de redundancia en el sistema, como si el diseño incluyera comportamientos de respaldo o subrutinas a prueba de fallos capaces de iniciar la expresión de patrones incluso en condiciones comprometidas. Al mismo tiempo, estas geometrías malformadas carecían de la coherencia interna y la fidelidad planar de sus contrapartes no tratadas, lo que indica que la integridad estructural depende no solo de los aportes químicos, sino de precondiciones energéticas específicas. Lo más notable es que el inicio de la Cristalización en las muestras expuestas a Orgonita se retrasó más de doce horas, un tiempo significativamente mayor que el de los ciclos SDE típicos. Durante esta fase de latencia, las vesículas dominaron la superficie de la gota, pero permanecieron estáticas, congeladas en su posición en lugar de migrar dinámicamente.

Esta fase de integridad suspendida de las vesículas, en equilibrio pero sin respuesta, sugiere la presencia de un mecanismo de activación por coherencia, donde el potencial estructural se conserva, pero no se ejecuta hasta que

las condiciones del campo externo se vuelven permisivas.

Este estado en pausa también parece marcar una ventana de transición entre la emergencia de cristales de primera y segunda generación. La liberación y la redistribución superficial de coloides, particularmente en muestras tratadas con Orgonita, crean un sustrato enriquecido con material portador de información, incluso en ausencia de energía.

Estas placas ricas en coloides, a pesar de carecer de integración vesicular, podrían permitir la emergencia de estructuras de segunda generación caracterizadas por una complejidad interna y una forma externa reducida. Esta inversión de forma y función define un cambio de comportamiento clave bajo disrupción de campo.

La quietud resultante permitió una resolución de imagen mejorada, sugiriendo que, si bien la actividad dinámica había cesado, el potencial organizativo latente permanecía intacto. En sistemas biológicos, estos estados suspendidos podrían actuar como fases de amortiguación, deteniendo temporalmente la progresión hasta que se restablezca la coherencia o se complete la degradación.

Si esta dinámica de cristalización fuese puramente de origen químico, nada de esto debería estar sucediendo. Un sistema clásico gobernado por evaporación y gradientes de concentración no se detendría, revertiría ni degradaría selectivamente su geometría.

Completaría el proceso de cristalización en condiciones termodinámicamente favorables o fallaría por completo bajo disrupción, dejando tras de sí precipitados desordenados o residuos amorfos. Lo que no haría sería optar por reconstrucciones parciales de los mismos motivos, mantener la arquitectura vesicular en un estado estático suspendido o exhibir retrasos precisos antes de reiniciar el crecimiento. Tampoco respondería a un objeto pasivo y sin alimentación, como un Disco de orgonita. Este comportamiento sensible a campos está completamente fuera de las expectativas de la química farmacéutica estándar.

La persistencia de los motivos estructurales bajo estrés, la retención de redes de vesículas en forma latente pero intacta y la reproducibilidad de geometrías distorsionadas apuntan a un sistema que no es meramente químico, sino responsivo: capaz de detenerse, reconfigurarse e intentar un ensamblaje moldeado incluso después de que se haya interrumpido la coherencia.

Desde esta perspectiva, el fracaso en sí mismo se convierte en un diagnóstico: no se trata de averías aleatorias, sino de fallos estructurados, deformaciones predecibles que iluminan la arquitectura latente y sugieren la presencia de una lógica de ensamblaje preprogramada.

En medicina, hay un dicho: "las cosas comunes ocurren comúnmente". Funciona como un recurso heurístico y como protección: una forma de agilizar el razonamiento diagnóstico a la vez que se protege a los profesionales de la culpa cuando se pasan por alto afecciones poco comunes. He visto a colegas reprendidos por un diagnóstico erróneo, solo para ser absueltos porque la verdadera afección era estadísticamente improbable y el cuadro clínico se parecía a algo más familiar.

Esta lógica, aunque a menudo útil, se vuelve peligrosa cuando se aplica a sistemas que están intencionadamente ocultos.

Si los fenómenos documentados aquí, y en estudios relacionados, representan manifestaciones de diseño sintético, entonces la verdadera pregunta no es científica, sino civilizacional: ¿nos perdonaremos por haber ignorado las señales?

Fue Mateo Taylor, a principios de 2023, quien propuso por primera vez la idea de la reconfiguración escalonada: la etapa 1 altera la geometría externa; La etapa 2 refina el contenido interno. Esta división, posteriormente corroborada por múltiples observadores del Grupo Micronauta, sustenta el modelo cristalino generacional descrito anteriormente.

La noción de que la forma puede recurrir incluso después del colapso, pero con *distintas prioridades*, desafía todas las expectativas convencionales de estabilidad química. Cuando se reconozca esta tecnología, y se trace su arco de desarrollo a lo largo del último medio siglo, ¿miraremos hacia atrás y diremos: *la ignoramos porque parecía demasiado irrazonable*? ¿Excusaremos a nuestras instituciones, a nuestros líderes o a nosotros mismos con el mantra de que lo que vimos no podría haber sido lo que era, porque se parecía demasiado a otra cosa?

Comencé este viaje hace tres años, y en esos primeros meses mantuve largas conversaciones con Mateo Taylor, un ingeniero con una perspectiva muy diferente. Los ingenieros no desestiman lo que tienen delante diciendo: «No veo que esto suceda» o «necesitamos más datos antes de interpretar esto». Observan, miden e iteran.

La medicina, por el contrario, nos dice que el diagnóstico reside en la historia clínica. Sin embargo, cuando se trata de estos materiales —estas estructuras—, se nos dice que no confiemos en lo que observamos. La evidencia visual se subordina a los análisis químicos, la revisión por pares, el consenso de expertos y la autoridad de laboratorios multimillonarios. Curiosamente, la negación plausible se mantiene mejor no mirando, o, mejor aún, no pensando. Pero ese tipo de negación no es neutral. La curiosidad puede haber matado al gato, pero la falta de curiosidad tiene consecuencias existenciales

Esto, por tanto, se convierte en el clásico escenario de entrampamiento. Quienes invierten en narrativas virales —o en su negación— no pueden cambiar de rumbo. Quienes se centran en la toxicidad de la proteína Spike, o en su ausencia, no pueden cambiar de rumbo. Toda inversión conceptual se convierte en una trampa. Y, mientras tanto, las estructuras permanecen. Las señales continúan. El sistema avanza.

Necesitamos empezar ya, no cuando los datos estén completos. No cuando se concedan los permisos. No cuando el consenso sea seguro. La evidencia ya es visible, reproducible y descalifica los antiguos marcos. Es hora de desconectarse de los estancamientos epistémicos y comenzar un compromiso honesto con lo que se ha ocultado a plena vista.

Empezar ahora significa pasar de la negación a la documentación, del rechazo al escrutinio del diseño. Significa tratar la evidencia visual como datos primarios, no como un artefacto periférico. Significa liberar la ciencia

del control asfixiante de la supervisión institucional y permitir que quienes están fuera del sistema contribuyan sin ser ridiculizados ni ignorados.

El trabajo que tenemos por delante no es solo entender qué son estas estructuras, sino preguntar quién las construyó, cómo se están desplegando y por qué se ha negado sistemáticamente su presencia.

Debemos desarrollar nuevos marcos de análisis que prioricen la coherencia, la capacidad de respuesta a las señales y el comportamiento del sistema, por encima del reduccionismo químico. Debemos reivindicar el derecho a ver, y a decir lo que vemos, sin esperar permiso.

Esto ya no es solo un imperativo técnico. Es un ajuste de cuentas existencial; uno que comienza con la valentía de mirar.

## Conclusión

Este estudio demuestra que la cristalización en anestésicos dentales no está gobernada únicamente por la química. A través de cientos de ciclos de evaporación, el proceso ha seguido un patrón estable y multifásico, iniciado por dinámicas coloidales, estructurado por vesículas y culminando en motivos cristalinos precisos. Pero, bajo la exposición a Orgonita, esa fiabilidad se colapsó. Las vesículas no llegaron a formarse, la coherencia estructural se rompió y los ensamblajes resultantes mostraron una apariencia distorsionada y energéticamente inestable. Incluso cuando la cristalización se reinició bajo la luz, los resultados fueron deficientes: apresurados, mal formados y desordenados.

Tales resultados implican una arquitectura dependiente de la coherencia, una arquitectura modelada por la señal, no solo por la sustancia. Estas formaciones se comportan como si estuvieran moldeadas y fueran reactivas, con modos de fallo que exponen sus restricciones de diseño subyacentes. Esto no es una degradación en el sentido clásico, sino una ruptura de conjuntos de instrucciones integrados. La exposición pasiva a campos por sí sola fue suficiente para interrumpir su lógica, lo que sugiere una sensibilidad integrada que supera con creces las expectativas convencionales para los compuestos médicos.

El contraste entre las exposiciones que mejoran la coherencia y las que la interrumpen resulta particularmente revelador. El tratamiento Theraphi, aunque energético, no perturbó el proceso. La orgonita —pasiva y sin alimentación— sí lo hizo. Esta inversión subraya la fragilidad del sistema, no ante la fuerza, sino ante la interferencia. Un desajuste de coherencia, y no la magnitud de la energía, parece determinar si estos materiales conservan o pierden su integridad estructural.

Para avanzar, debemos empezar ahora. Debemos recuperar el derecho a observar —y a pensar— libremente, con rigor y sin anteojeras institucionales. Esto no es simplemente una recalibración científica. Es un punto de inflexión en cómo percibimos la realidad misma: aquello que estamos entrenados para pasar por alto, aquello a lo que ahora debemos enfrentarnos y aquello que estamos preparados para admitir que se ha visto desde siempre.

## Referencias

- Del Giudice, E., Doglia, S., Milani, M., & Vitiello, G. (1988). Campo electromagnético y ruptura espontánea de la simetría en la materia biológica. *Nuclear Physics B - Proceedings Supplements*, 3, 136–149.  
<https://doi.org/10.1088/0031-8949/40/6/017>  
→ Propone que la materia biológica exhibe una ruptura espontánea de la simetría a través de campos electromagnéticos de largo alcance.
- Del Giudice, E., Doglia, S., Milani, M., Vitiello, G., & Vitale, M. (1989). Cuantización del flujo magnético y comportamiento de Josephson en sistemas vivos. *Physica Scripta*, 40 (6), 786–791 <https://doi.org/10.1088/0031-8949/40/6/017>  
→ Introduce el comportamiento de Josephson y la cuantización del flujo magnético como indicadores de coherencia cuántica en sistemas vivos.
- Del Giudice, E., Voeikov, V., Tedeschi, A., & Vitiello, G. (2015). El origen y el papel especial del agua coherente en los sistemas vivos. En Montagnier, L., Aïssa, J., Del Giudice, E., & Vitiello, G. (Eds.), *Fields of the Cell* (pp. 77–92). World Scientific.  
<https://doi.org/10.13140/RG.2.1.2329.1046>  
→ Explora los dominios de agua coherente como elementos fundamentales para el orden biológico y la estructuración energéticamente sensible.
- Fukada, E., & Yasuda, I. (1957). Sobre el efecto piezoeléctrico del hueso. *Journal of the Physical Society of Japan*, 12(10), 1158–1162.  
<https://doi.org/10.1143/JPSJ.12.1158>  
→ Proporciona evidencia fundamental de la piezoelectricidad en sistemas biológicos, lo que apoya la plausibilidad de la generación de carga basada en cuarzo en dispositivos pasivos de modulación de la coherencia.
- Nixon, D. (2025a). Construcción a Microescala Activa en Pfizer Comirnaty: Un Estudio de Microscopía en Vivo. *Journal of Bionanotecnocracia: Cuenta Atrás hasta 2030*, 1 (1), 1–112.  
<https://www.journalbnt.org>  
→ Documenta el autoensamblaje sintético en muestras de Comirnaty de Pfizer, utilizado para establecer analogías con los motivos estructurales de la capa MAC.
- Nixon, D. (2025b). Lo Nano Hace a lo Micro: Lógica Estructural Emergente en Sistemas Farmacéuticos y Biológicos. *Revista de Bionanotecnocracia: Cuenta atrás para 2030*, 1 (1), 113–197.  
<https://www.journalbnt.org>  
→ Documenta la emergencia de Motivos Círculo-Rectángulo (MRC), Ensamblajes de Fibras de Cristal (EFC) y la dinámica de vesículas en la evaporación de gotas sésiles (EDS) de anestésicos dentales.

Pollack, G. H. (2013). La cuarta fase del agua: Más allá de sólido, líquido y vapor. Ebner & Sons.

[https://www.ebnerandsons.com/products/the\\_fourth\\_phase\\_of\\_water](https://www.ebnerandsons.com/products/the_fourth_phase_of_water)

→ Introduce el concepto de agua estructurada (agua EZ), ofreciendo una base biofísica para el comportamiento de fase sensible a campos en sistemas biológicos.

Yariv, A. (1978). *Electrónica Óptica* (3ª ed.). Holt, Rinehart and Winston.

→ Introduce los principios de la óptica no lineal y la mezcla óptica, que constituyen la base teórica para las interacciones de campo en sistemas de modulación de señal basados en la coherencia.

Zang, S., Paul, S., Leung, C. W., Chen, M. S., Hueckel, T., Hocky, G. M., & Sacanna, S. (2025). **Observación y control directos de vías de cristalización no clásicas en sistemas coloidales binarios.** *Nature Communications*, 16, Article number: 3645.

<https://doi.org/10.1038/s41467-025-58959-0>

→ Presenta un modelo de vanguardia de formación "blob-to-crystal"; apoya directamente las transiciones observadas de vesícula a cristal documentadas en su estudio.

## Apéndice 1: Dominios de Coherencia en Sistemas Vivos.

### Antecedentes y Relevancia

En su artículo fundamental de 1989, "Cuantización del Flujo Magnético y Comportamiento de Josephson en Sistemas Vivos", Del Giudice, Doglia, Milani, Vitale y Vitiello propusieron una reconsideración radical de la estructura y la capacidad de respuesta biológicas (Del Giudice et al 1989). Apoyándose en la física teórica, la superconductividad y los modelos de campos cuánticos, argumentaron que los sistemas vivos no se rigen únicamente por reacciones bioquímicas, sino también por la coherencia electromagnética de largo alcance. Este marco teórico apoya y profundiza directamente las premisas del presente estudio, particularmente en lo que respecta a la disrupción de la coherencia, la interferencia del campo vibracional y la energética del autoensamblaje sintético.

Del Giudice et al. postularon que los sistemas vivos contienen regiones de dipolos altamente ordenados y con correlación de fase —denominados Dominios de Coherencia— y que estos dominios pueden dar lugar a un comportamiento electromagnético no clásico. Su trabajo proporciona tanto un marco teórico como un precedente experimental para la modulación sensible a campos del comportamiento estructural en sistemas biológicos, con claras implicaciones para las construcciones artificiales que imitan o explotan dichas dinámicas.

### Dominios de Coherencia y Sensibilidad a Campos

Uno de los hallazgos centrales del estudio de 1989 es que los campos electromagnéticos de baja intensidad, cuando entran en resonancia con el comportamiento oscilatorio de los dipolos eléctricos, pueden modular directamente la coherencia biológica. Estos dominios coherentes emergen del comportamiento colectivo de moléculas polares en agua o matrices citoplasmáticas, estabilizadas por correlaciones de largo alcance. De manera crucial, Del Giudice y sus colegas señalaron que solo los campos de baja energía y con coincidencia de fase pueden interactuar productivamente con estos Dominios de Coherencia; mientras que los campos fuertes tienden a destruir la coherencia necesaria para su existencia.

Este principio se alinea estrechamente con la lógica de la exposición a campos de Orgonita. Ambas tecnologías tienen como objetivo introducir campos vibratoriales estructurados y de baja intensidad que pueden inducir o perturbar sutilmente la coherencia dipolar. Si las nanoestructuras sintéticas —como las observadas en anestésico dental y muestras de vacunas— están diseñadas para operar dentro de estos regímenes de coherencia biológica o imitarlos, entonces la exposición a campos dirigida podría degradar su estructura al colapsar su coherencia.

### Comportamiento Electromagnético No Maxwelliano

Los autores argumentaron, además, que en medios biológicos coherentes, la propagación del campo electromagnético se desvía del comportamiento maxwelliano clásico. Dentro de los Dominios de Coherencia, los cuantos electromagnéticos adquieren masa, la penetración del campo se vuelve filamentosa y las suposiciones dieléctricas estándar dejan de ser aplicables. Esto crea una ventana única para interacciones no lineales de largo alcance, inaccesibles para la instrumentación o los modelos tradicionales.

Este comportamiento podría explicar las respuestas ópticas y estructurales inesperadas observadas en las muestras tratadas durante este estudio. El hecho de que la Microscopía revele una desintegración organizada sugiere, además, una pérdida de coherencia interna, lo que concuerda con el colapso de las propias condiciones de campo

requeridas para la persistencia no maxwelliana.

### **Cuantización del Flujo Magnético y Efectos Josephson**

Del Giudice et al. presentaron datos experimentales que muestran saltos de voltaje cuantificados en preparaciones de células de levadura durante la división, análogos a los efectos túnel de Josephson observados en uniones superconductoras. Esto implica que los Dominios de Coherencia están energéticamente controlados y sincronizados en fase, formando límites a través de los cuales los pares de carga pueden tunelizar en condiciones muy específicas.

Este modelo es directamente relevante para las características internas observadas en los Motivos Círculo-Rectángulo (MRC) y los Ensamblajes Cristal-Fibra (ECF). Estas formaciones a menudo muestran geometrías anidadas, límites angulares y compartimentación, lo que sugiere una regulación interna o una codificación estructural. Si estos motivos representan Dominios de Coherencia diseñados, entonces la disrupción de campo podría actuar de forma análoga a la ruptura de una unión Josephson, deteniendo la continuidad de fase y colapsando la arquitectura sintética.

### **Susceptibilidad a Campos Externos**

Los experimentos con levaduras también demostraron que los campos magnéticos podían aumentar o suprimir la coherencia biológica, dependiendo de la intensidad y la orientación. Notablemente, los escalones de voltaje observados desaparecieron a intensidades de campo más elevadas, lo que apoya la hipótesis de que la coherencia es sensible, frágil y ajustable.

Esta dinámica es fundamental para el modelo de Interfaz Bio-Sintética (IBS). Si la coherencia (C), la resonancia (R) y el flujo de información (F) contribuyen de forma multiplicativa a la integridad de la interfaz, la interrupción de cualquiera de estos factores, como mediante la exposición a campos, puede conducir al colapso estructural. La supresión del autoensamblaje inducida por campos en muestras tratadas de anestésico dental podría reflejar precisamente este fenómeno.

### **Validación Experimental de Baja Energía**

Quizás lo más importante es que Del Giudice et al. confirmaron que estos efectos se produjeron con umbrales de energía ultrabajos, muy por debajo de los niveles utilizados habitualmente en aplicaciones EM diagnósticas o terapéuticas. Se midieron escalones de voltaje en el rango de 15–1580 nanovoltios, que corresponden a emisiones de radiofrecuencia centradas en 7–8 MHz durante la división celular. Tales efectos subrayan la importancia de hacer coincidir las entradas de campo con las condiciones de resonancia biológica. Este principio se refleja en el uso de dispositivos de campo pasivos como la Orgonita, cuya construcción geométrica y disposición de materiales, según se teoriza, imponen patrones de campo estructurados capaces de influir en los Dominios de Coherencia.

Al evitar amplitudes de campo térmicas o disruptivas, estas tecnologías permanecen dentro del rango de operación sensible de los sistemas de coherencia biológicos (o biomiméticos). La supresión observada de motivos estructurales en las muestras tratadas refleja, por lo tanto, una entrada exitosa en el régimen donde la lógica basada en campos —no la fuerza bruta— puede modular la materia.

## **Conclusión**

El trabajo de Del Giudice y sus colaboradores proporciona una excepcional confluencia de elegancia teórica y apoyo empírico a la idea de que la coherencia —y su disrupción— es un eje fundamental del comportamiento biológico y sintético. Su articulación de la coherencia de fase, el flujo cuantificado y la sensibilidad a los campos ofrece un vocabulario fundamental para comprender por qué tratamientos energéticos sutiles pueden dismantelar ensamblajes no biológicos altamente estructurados.

En el contexto de este estudio, sus ideas validan tanto el marco conceptual como los resultados experimentales. Lo que Del Giudice teorizó como la dinámica de la coherencia vital, ahora lo constatamos como la vulnerabilidad crítica de la mímica sintética. Las implicaciones son profundas: si la coherencia sustenta la estructura, entonces la disrupción dirigida de la coherencia —llevada a cabo mediante resonancia, no violencia— ofrece una vía hacia la desintoxicación terapéutica y el desensamblaje energético. Este apéndice no solo es un tributo a su trabajo, sino también un llamamiento a reintegrar la física de la coherencia en el núcleo de la bioenergética del siglo XXI.

## Apéndice 2: Revisión del agua coherente – Reflexiones sobre Del Giudice et al. (2015)

Al revisar los hallazgos de este estudio, me sentí atraído reiteradamente por una línea de pensamiento que ha permanecido, en gran medida, periférica en el discurso científico dominante: el papel de la coherencia en la estructuración de la materia. Mientras buscaba un marco capaz de explicar por qué el autoensamblaje en gotas farmacéuticas podía ser detenido o distorsionado por tratamientos energéticos pasivos, volví a consultar el capítulo de 2015 *The Origin and the Special Role of Coherent Water in Living Systems* (El origen y el papel especial del Agua coherente en los sistemas vivos) de Del Giudice, Voeikov, Tedeschi y Vitiello. Este capítulo, publicado póstumamente tras el fallecimiento de Del Giudice en 2014, ofrece una síntesis convincente de la electrodinámica cuántica (QED), la teoría de la coherencia y la biofísica: una síntesis que respalda directamente muchos de los resultados experimentales que observé (Del Giudice et al. 2015).

La afirmación central del capítulo es que el agua, cuando se organiza en dominios suficientemente grandes, puede entrar en una fase de coherencia cuántica de largo alcance. Dentro de estos denominados “dominios de coherencia” (DC), las moléculas oscilan al unísono, en fase gracias a un campo electromagnético resonante. Este estado de coherencia no surge de una mera restricción termodinámica, sino de una minimización de energía inducida por un campo: un principio de ordenamiento cuántico con implicaciones de gran alcance. Una vez establecidos, estos dominios no solo permiten el almacenamiento y la transferencia de energía, sino también un mayor grado de respuesta estructural a señales externas. Fundamentalmente, los autores sostienen que la coherencia no es un artefacto de la complejidad, sino un requisito indispensable para la vida misma.

Al leer este capítulo a la luz de los hallazgos actuales, me impresionaron los paralelismos. La secuencia tetrafásica de autoensamblaje que documenté —aparición de nanopartículas, formación de un campo coloidal, organización vesicular y consolidación cristalina— parece reflejar el surgimiento mismo del orden dentro de un campo acuoso coherente. Si tales dominios de coherencia pueden formarse en gotas farmacéuticas acuosas, su disrupción por dispositivos de campo pasivos como la Orgonita deja de ser especulativa. Más bien, se deduce directamente del principio de que la coherencia puede mantenerse o romperse por condiciones de campo externas, especialmente si dichos campos son resonantes, de baja intensidad y geométricamente estructurados. Este fue precisamente el escenario en el que el autoensamblaje estructural se interrumpió en mis experimentos.

Para apoyar esta interpretación, se presentan a continuación tres imágenes del estudio actual. Cada una de ellas demuestra cómo los dominios de coherencia podrían subyacer a la Cristalización farmacéutica nanoestructurada—o verse interrumpidos en ella.

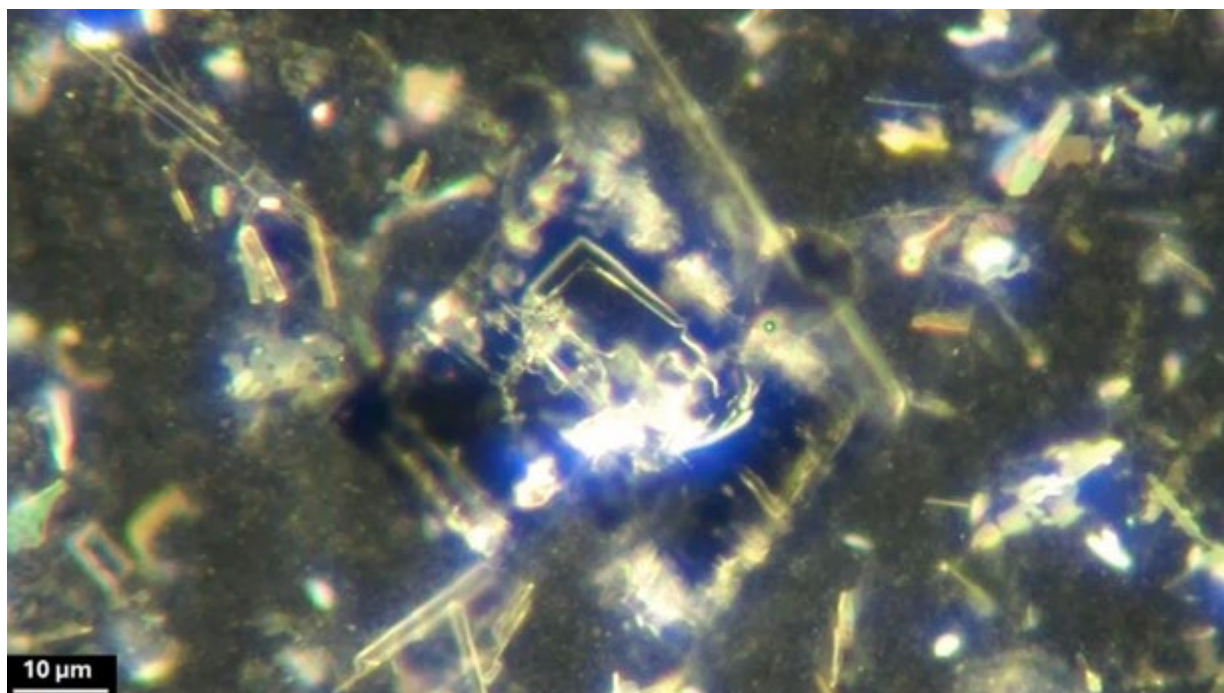


Figura A2.1. Complejo micromotor–Meccano adyacente a un cristal que muestra organización dinámica. Aumento 200x. Esta estructura aparece en el primer fotograma de un vídeo de lapso temporal que documenta tres horas de autoensamblaje continuo. Exhibe un claro comportamiento micromecánico: centros nodales (“micromotores”) conectados por varillas segmentadas (elementos “micro-Meccano”), con crecimiento cristalino en estrecha proximidad. A lo largo del vídeo, estos autoensamblajes muestran una activación progresiva, elongación e integración estructural, culminando en la formación de características de orden superior, tales como el Motivo de Círculo Rectángulo (MRC).

Cuando se interpretan a través de una lente de dominio de coherencia (DC), estos sistemas ya no se manifiestan como meros artefactos de cristalización, sino como participantes emergentes en un proceso estructurado por campos. Las transiciones suaves, aunque altamente ordenadas, entre coloides, vesículas, fibras y cristales sugieren que la coherencia de fase local está guiando la alineación espacial y el acoplamiento energético de los componentes. El sistema se comporta menos como un precipitado pasivo y más como un constructor adaptativo, que optimiza la geometría y la función en respuesta a gradientes de campo, tanto internos como externos.

La presencia de redistribución de material, elongación estructural y aparentes “puntos de decisión” en el vídeo sugiere que el proceso SDE, en este caso, actúa como un amplificador de coherencia. Traduce condiciones de campo invisibles en arquitectura visible, no de forma estocástica, sino con una regularidad y capacidad de respuesta notables. Tal comportamiento encaja perfectamente dentro del marco propuesto por Del Giudice y colaboradores, donde los dominios de Agua coherente pueden sincronizar acciones moleculares a escalas mesoscópicas. Lo que observamos aquí no es un caos molecular que se resuelve en orden, sino un campo de coherencia que hace visible dicho orden en tiempo real.

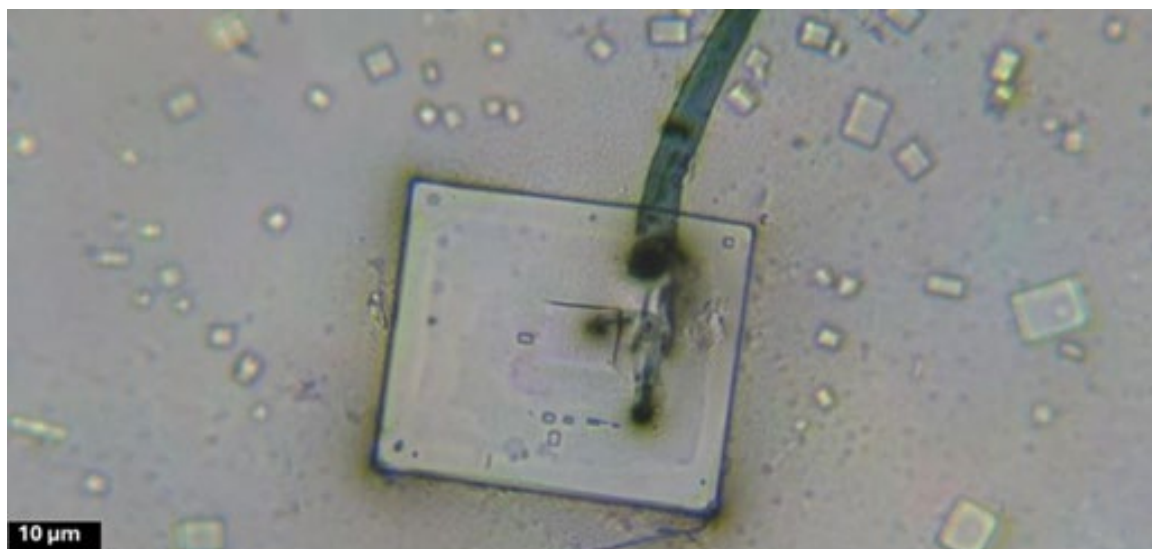


Figura A2.2. Ensamblaje de cristal-fibra con módulo cuadrado y un elemento embebido similar a un actuador. Esta imagen proviene de Nixon 2025a: *Construcción Microescolar Activa en Pfizer Comirnaty* y representa un momento clave dentro de lo que posteriormente se denominó el "Fenómeno Conectado": una secuencia de observaciones en la que una fibra se alineó visiblemente con, y se insertó en, un cristal durante un período de dos días.

El evento mostrado en la Figura A2.2 se documentó a través de dos sesiones de vídeo, demostrando claramente una alineación e integración adaptativa entre la fibra y la matriz cristalina. La estructura que se observa aquí muestra un módulo cuadrado con límites definidos, acompañado de una fibra adyacente que contiene un nodo distintivo similar a un actuador.

Dentro de un marco de dominio de coherencia (DC), este tipo de interacción refleja no solo la proximidad espacial, sino también un comportamiento de fase bloqueada entre las fases acuosas, coloidales y cristalinas. El agotamiento visible del material circundante, el aumento de los puntos reflectantes y la presencia de microfibrilamentos apuntan a un proceso orquestado de acoplamiento energético y transferencia de material. Desde esta perspectiva, los dominios de coherencia probablemente proporcionaron el andamiaje para mantener el orden local, permitiendo que la fibra se integrase en la lógica estructural del cristal, en lugar de simplemente adherirse a él.

La geometría angular precisa, la reflectividad repetida y la capacidad de respuesta estructural observada a lo largo de esta interacción son difíciles de explicar utilizando modelos convencionales de ensamblaje termodinámico o estocástico. En cambio, la imagen ejemplifica lo que Del Giudice et al. describieron: que los dominios de agua coherente pueden servir como atractores del orden y facilitadores de la organización supramolecular. El CFA que se observa aquí actúa no solo como conector, sino como participante activo en un proceso de ensamblaje moldeado y sensible a campos, lo que sugiere que tales sistemas podrían operar de acuerdo con principios de diseño cuántico-coherentes integrados a Nanoescala.

En muchos sentidos, la idea de los dominios de coherencia proporciona lenguaje y profundidad explicativa a fenómenos que antes se observaban pero no se podían justificar completamente desde un punto de vista químico. La reactivación de cristales inactivos mediante luz LED, la detención de la cristalización en muestras tratadas y la compartimentación observada en estructuras de alta fidelidad, todo ello puede interpretarse ahora como

fenómenos de coherencia. Cada gota se convierte en un paisaje de dominios en expansión o superposición, y la fidelidad de la emergencia estructural depende de si esos dominios son internamente estables o externamente alterados.

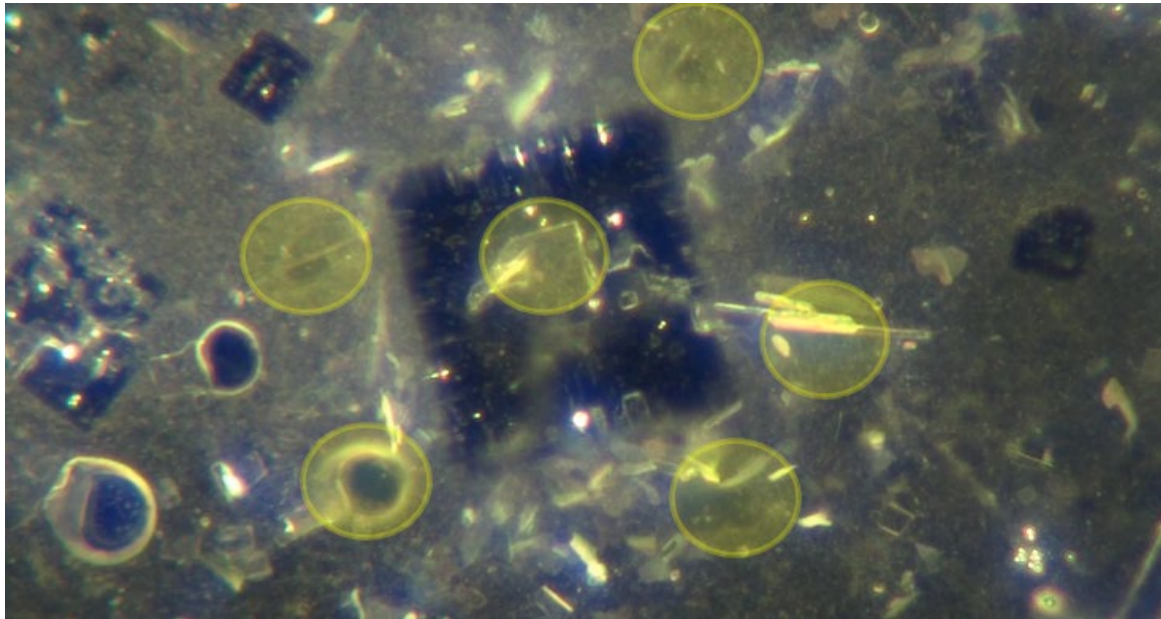


Figura A2.3. Cristal central rodeado de microestructuras, incluidas vesículas toroidales (resaltadas). La agrupación y la alineación sugieren coherencia de campo local y un posible acoplamiento estructural con la plataforma cristalina.

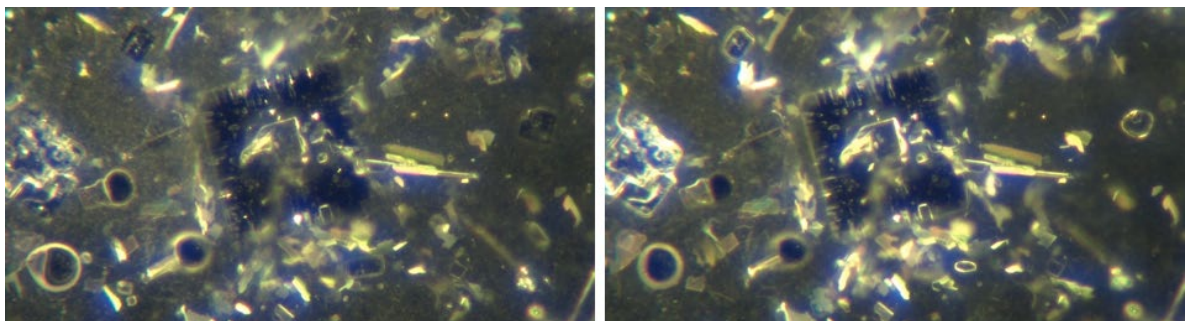


Figura A2.4. Colapso secuencial del campo alrededor del cristal central. El panel derecho muestra una geometría de vesículas alterada y la pérdida de coherencia óptica tras el colapso.

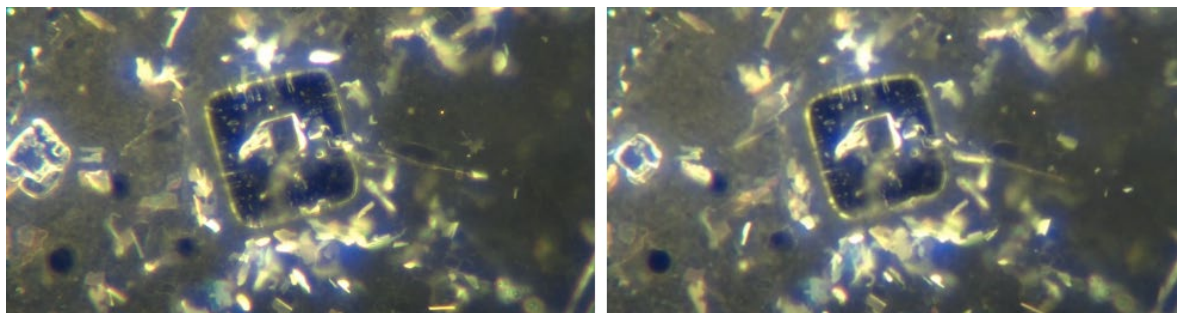


Figura A2.5. Emergencia de una geometría de anillo cuadrado que precede a la ruptura del campo. Sugiere que el desensamblaje está moldeado y que puede producirse mediante un desprendimiento escalonado.

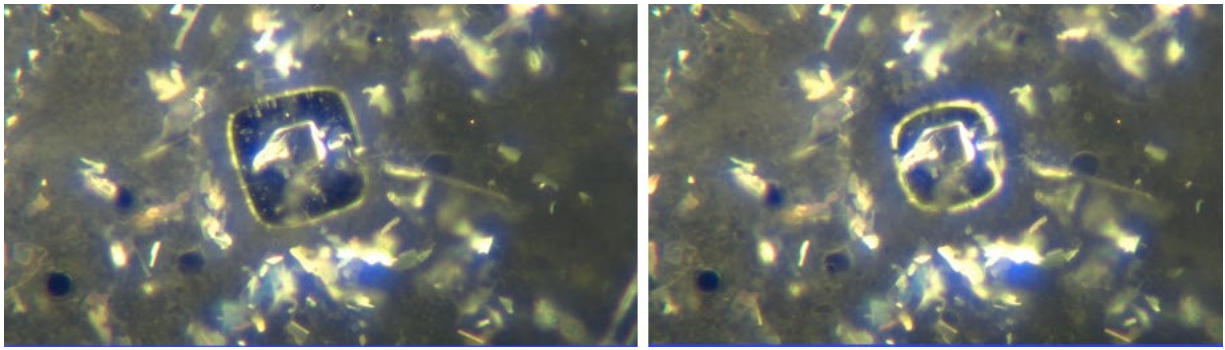


Figura A2.6. Aplanamiento y redistribución de las vesículas a medida que avanza el colapso. Aumenta la fina neblina de partículas, lo que sugiere una desintegración inducida por descoherencia.

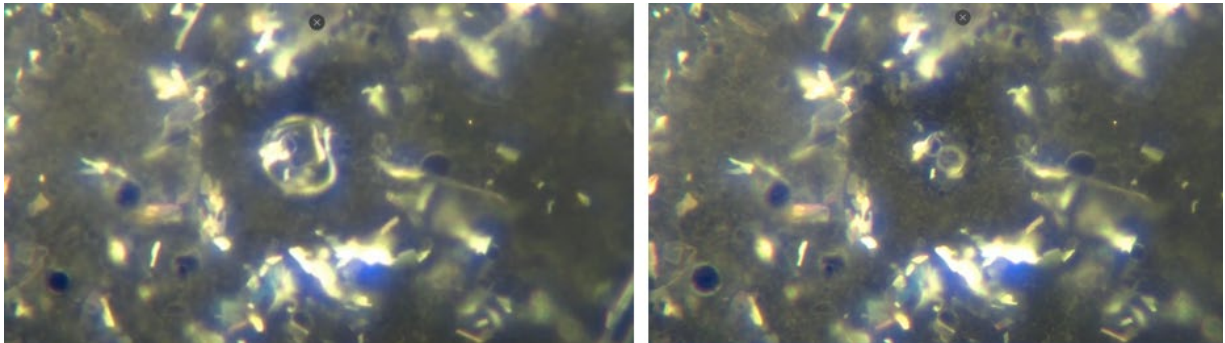


Figura A2.7. Etapas finales del desensamblaje. La plataforma original se ha disuelto en restos granulares, y la estructura circundante está ahora completamente desestabilizada.

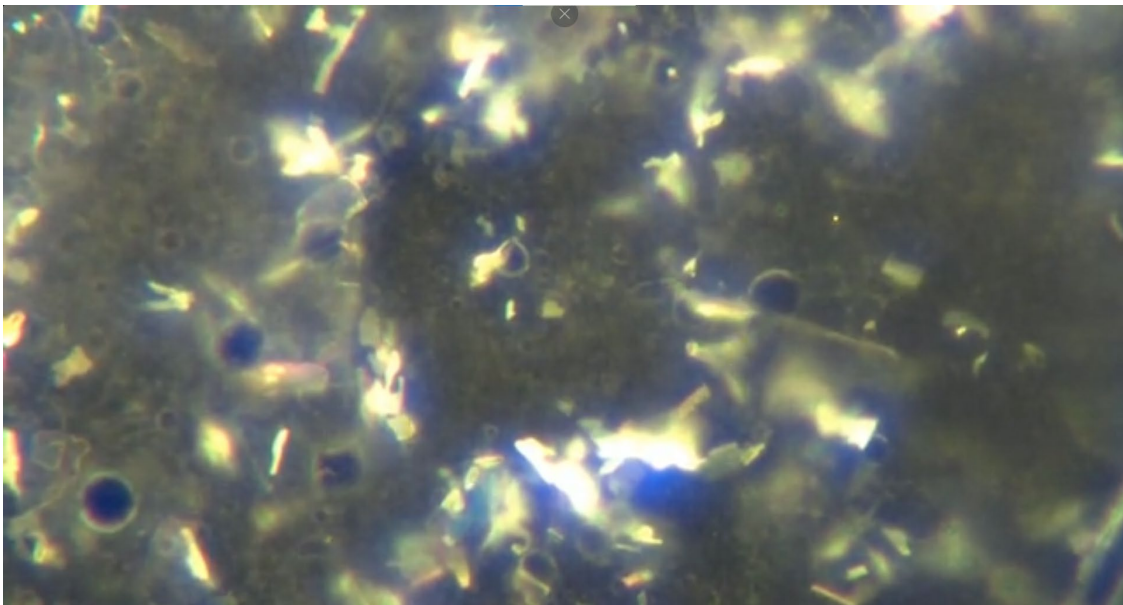


Figura A2.8. Microcomponentes residuales tras el colapso. La arquitectura sensible a campos se ha neutralizado, pero persisten algunos restos estructurales, posiblemente como fragmentos de coherencia.

La secuencia completa, capturada en las Figuras A2.3–A2.8, tuvo lugar en 59 minutos y está disponible para su descarga en: [De-Construction Video 2 - Dr David Nixon - 1](#). Esta secuencia no es simplemente una descomposición de la estructura, sino el colapso de un campo de coherencia. Lo que comienza como una plataforma de relaciones orquestadas —entre vesículas, andamios cristalinos y partículas finas— se disuelve gradualmente en restos incoherentes. Este cambio no está impulsado térmicamente ni se explica únicamente por la saturación del soluto o la tasa de evaporación, sino que se comporta como una ruptura del campo: los gradientes de coherencia ya no se mantienen, las conexiones nodales se disuelven y los elementos constituyentes vuelven a una distribución desordenada

El colapso no es caótico, sino escalonado. Las estructuras se desvanecen siguiendo una coreografía reconocible: la geometría de las vesículas se distorsiona, el contraste óptico se debilita, los puntos reflectantes desaparecen y, finalmente, la plataforma central se desintegra. Esto implica una pérdida de coherencia no aleatoria, lo que apoya la idea de que estos ensamblajes son sistemas estructurados por campos, sensibles a las condiciones energéticas de contorno.

Las ideas de Del Giudice et al. no solo proporcionan una metáfora, sino que ofrecen un mecanismo. Proponen que los Dominios de Coherencia sirven como atractores del orden, estabilizando las precondiciones energéticas para la formación macromolecular o supramolecular. Cuando estas condiciones se ven alteradas, el resultado no es un ensamblaje parcial, sino estructuras malformadas o incoherentes; precisamente lo que se observa en las cristalizaciones de segunda generación y en las muestras tratadas con campos. Ahora considero probable que el proceso SDE funcione como un amplificador de coherencia: un medio por el cual las condiciones de campo locales se traducen en formas macroscópicamente visibles. Si es así, la variabilidad, la fidelidad y la disrupción de estas formas están gobernadas por el entorno de coherencia de la gota, y no solo por su contenido químico.

En conclusión, considero este capítulo de 2015 un recurso fundamental, que aúna física, biología y sistemas energéticos de una forma que pocos textos modernos intentan. No resuelve todas las preguntas, pero las agudiza. Y afirma algo intuitivo desde hace tiempo: que la arquitectura de la materia no es solo una cuestión de partes y enlaces, sino de campos, relaciones de fase y la coherencia misma.

### **Apéndice 3: Valor Glass, integridad de la coherencia y autoensamblaje sensible al campo**

Evidencia reciente sugiere que las nanoestructuras farmacéuticas autoensamblables, como las observadas en Comirnaty de Pfizer, son altamente sensibles a la disrupción de la coherencia. Esto tiene profundas implicaciones para la contención y el almacenamiento. La adopción por parte de Pfizer del vidrio Valor®, una formulación de aluminosilicato de ingeniería desarrollada por Corning, se atribuyó oficialmente a su durabilidad mejorada, inercia química y menor lixiviación. Sin embargo, su propiedad más crítica podría residir no en su resiliencia mecánica, sino en su capacidad para preservar la coherencia de campo.

El vidrio de borosilicato estándar, ampliamente utilizado en viales inyectables, puede liberar trazas de iones (incluido el boro) en las soluciones circundantes. Aunque mínima, dicha lixiviación tiene efectos demostrables en sistemas sensibles a campos. En estudios de microscopía, la introducción de boro desencadenó consistentemente la aparición de estructuras celulares sintéticas, lo que indica que incluso microcontaminantes pueden modular el autoensamblaje alterando la coherencia local o las condiciones de resonancia.

Esto hace que la elección de Vidrio Valor por parte de Pfizer sea particularmente reveladora. Su proceso de fabricación está explícitamente diseñado para prevenir la lixiviación de iones, especialmente de boro, sodio y silicio, elementos que pueden desestabilizar o activar prematuramente sistemas de interfaz sintéticos. Si los componentes de autoensamblaje dependen de un andamiaje basado en campos, como se propone en el modelo de Interfaz Bio-Sintética (IBS), mantener un entorno de coherencia estable se vuelve esencial. En este contexto, Vidrio Valor no es meramente un contenedor, sino una barrera que preserva la coherencia, proporcionando un blindaje a la carga útil frente a interferencias electromagnéticas, entradas vibracionales o perturbaciones iónicas originadas en las propias paredes del vial

Esta interpretación adquiere aún más peso cuando se considera junto con los experimentos de oro coloidal. En esas secuencias, la proximidad por sí sola, sin contacto físico alguno, desencadenó la reorganización a nivel de matriz, la activación de vesículas y la articulación micromecánica. Estos efectos mediados por campos sugieren que las estructuras diseñadas poseen una forma de sensorio, sensibles a sutiles cambios en la coherencia. Del mismo modo que el oro coloidal puede arrastrar o interrumpir el comportamiento estructural, un contenedor químicamente inerte pero con coherencia inestable podría, en principio, desestabilizar la arquitectura interna de la carga útil. Así pues, la integridad del campo emerge no como una preocupación accesoria, sino como un parámetro de diseño fundamental.

El uso de Vidrio Valor por parte de Pfizer puede, por lo tanto, considerarse un intento de preservar el orden sintético codificado en el vial: proteger los dominios de coherencia latente del colapso antes de su implementación. Contextualizado junto con el trabajo de Del Giudice, Preparata, Pollack y Montagnier, este movimiento refleja una sofisticada conciencia operativa: la disrupción precede al desensamblaje, y las estrategias de contención deben tener en cuenta no solo la materia, sino también los sustratos energéticos que la estructuran.

En conjunto, los datos del Vidrio Valor, el Oro coloidal y el campo de coherencia convergen en una conclusión sorprendente: los sistemas de autoensamblaje sintético pueden depender de Dominios de Coherencia ininterrumpidos y pueden desactivarse o activarse mediante la exposición a campos coherentes o incoherentes. Esto replantea los tratamientos basados en campos no solo como correctivos terapéuticos, sino como sondas de diagnóstico capaces de revelar la arquitectura y la integridad de las nanoestructuras incrustadas.

## **Apéndice 4: Campos Electromagnéticos de Alta Frecuencia y Dominios de Coherencia Sintéticos**

La capacidad de los materiales sintéticos para formar estructuras dependientes de la coherencia en condiciones de campo específicas tiene implicaciones críticas tanto para la patogénesis como para la intervención terapéutica. Basándose en el trabajo teórico de Del Giudice y Preparata, los dominios de coherencia (DC) en agua y materia biológica se forman a través de oscilaciones dipolares de baja energía y en fase. Estas estructuras son frágiles, se interrumpen fácilmente con campos electromagnéticos (CEM) incoherentes o de alta intensidad, y están estrechamente vinculadas a la funcionalidad biológica. Sin embargo, las arquitecturas sintéticas parecen funcionar según una lógica diferente.

A diferencia de los DC naturales, las estructuras sintéticas pueden diseñarse para depender, o incluso requerir, campos externos de alta frecuencia para su estabilidad, capacidad de respuesta o activación. Las investigaciones emergentes en los rangos de frecuencia de terahercios y 5G sugieren que estos campos CEM pueden actuar como andamios de coherencia, apoyando la propagación no Maxwelliana, permitiendo la sincronización remota e incluso desencadenando el autoensamblaje en nanomateriales. Estos fenómenos son particularmente relevantes en el contexto de Nanopartículas diseñadas, hidrogeles y coloides estructurados que han demostrado capacidad de respuesta a estímulos externos coherentes.

Esta perspectiva replantea los entornos EM de alta frecuencia, no como un ruido de fondo pasivo, sino como un componente activo de una arquitectura sintética distribuida. En este modelo, las frecuencias 5G o de terahercios proporcionan la energía con fase estructurada necesaria para mantener Dominios de Coherencia artificiales, de forma muy parecida a una onda portadora en telecomunicaciones. Esto explica por qué la exposición a campos de alta intensidad a veces resulta en una emergencia estructural o sincronización acelerada, mientras que los campos de baja frecuencia o con interrupción de la coherencia (p. ej., Orgonita) parecen degradar dichas estructuras.

Es importante destacar que esta dinámica pone de manifiesto una paradoja en el diseño terapéutico: la medicina energética tradicional tiende a aumentar la intensidad general del campo o la entrada de frecuencia, asumiendo que esto promueve la vitalidad. Sin embargo, en un modelo de interfaz sintética, el aumento de la intensidad del campo puede estabilizar o activar inadvertidamente las mismas estructuras que pretendemos dismantelar. Por lo tanto, un tratamiento eficaz debe priorizar no la intensidad, sino la interrupción de la coherencia y la falta de coincidencia de la resonancia.

Esta comprensión también clarifica el papel funcional del Vidrio Valor, que, según se informa, se utiliza en los productos inyectables de Pfizer. Mediante el blindaje contra interacciones de campo que perturban la coherencia y la contaminación iónica, el Vidrio Valor ayuda a preservar el estado de fase previsto de las nanoestructuras incrustadas durante el almacenamiento y la aplicación. Considerando esto junto con estudios recientes sobre nanoredes iniciadas por receptores y capas de comunicación moduladas por campos, se sugiere que el control de la coherencia no es simplemente un requisito pasivo, sino una característica arquitectónica deliberada. La convergencia de materiales de blindaje, andamios electromagnéticos ambientales y emisiones estructuradas indica un sistema sintético multicapa que opera en dominios tanto materiales como informativos.

## Apéndice 5: Mezcla óptica no lineal y holografía en tiempo real

Al intentar comprender los comportamientos coherentes, reversibles y sensible a campos observados en el autoensamblaje de materiales farmacéuticos mediante microscopía de campo oscuro, recurrí a los trabajos fundacionales de la Óptica no lineal. Un paralelismo particularmente resonante surgió de un artículo de Amnon Yariv de 1978 titulado *Mezcla óptica no lineal de cuatro ondas como Holografía en tiempo real*. En esta breve pero profunda nota, Yariv expone la equivalencia formal entre el proceso de grabación y reconstrucción holográficas, y un proceso de Óptica no lineal conocido como mezcla de cuatro ondas. Esta perspectiva ofrece un puente conceptual potencialmente unificador entre nuestras observaciones de cristalización estructural reversible y los principios establecidos en la codificación de información basada en ondas (Yariv 1978).

### Mezcla de Cuatro Ondas como Holografía en Tiempo Real

Yariv describe cómo un medio óptico no lineal con susceptibilidad de tercer orden ( $\chi^{(3)}$ ) puede generar una nueva onda que es la réplica de fase conjugada (es decir, invertida temporalmente) de una onda de entrada. En condiciones específicas, dos haces de bombeo que se propagan en sentidos opuestos (A1 y A2) y un haz de señal débil (A4) producen una cuarta onda (A3) a través del medio no lineal. De manera crucial, A3 se propaga hacia atrás a lo largo de la trayectoria de A4, pero en forma de fase conjugada, lo que significa que deshace cualquier distorsión encontrada durante la propagación hacia adelante. Esto es matemática y operativamente equivalente a la etapa de reconstrucción en la holografía tradicional. Yariv escribe:

$$A_3(z < 0) \propto |A_1 A_2| A_4(z < 0)$$

Esta relación refleja el campo reconstruido en un holograma iluminado por una onda de referencia. En ambos casos, la interferencia codifica información, y la interacción de ondas coherentes la recupera.

### Implicaciones para el Autoensamblaje Farmacéutico

En mis estudios de Microscopía, he observado repetidamente reversibilidad sensible a campos en la cristalización de gotas. Las estructuras que colapsan bajo la influencia del Oro coloidal a menudo se reforman más tarde cuando se reintroduce la coherencia. De manera similar, las redes que contienen vesículas pueden desintegrarse y luego reconstruirse, siguiendo patrones demasiado específicos para ser ruido químico. El marco de Yariv ayuda a comprender esto no como cinética de reacción química, sino como lógica de campo gobernada por la coherencia.

Los siguientes paralelismos son fundamentales:

- Grabación holográfica → autoensamblaje SDE: La interferencia de gradientes de concentración, frentes de fase coloidal y campos de contorno codifica la estructura.
- Reconstrucción no lineal → Reordenamiento inducido por campos: Una gota expuesta a un campo externo coherente se comporta como un medio no lineal, recuperando la lógica del patrón almacenado.
- Conjugación de fase → Reversibilidad morfológica: El retorno de la estructura tras la restauración de la coherencia sugiere un sustrato holográficamente reversible.

### **Hacia una Interpretación Holográfica de la Dinámica de la Gota**

Este punto de vista se alinea estrechamente con discusiones recientes sobre Dominios de Coherencia biológica y el trabajo de Del Giudice sobre la estructuración del agua. También ofrece una explicación física de por qué algunas estructuras emergen solo bajo condiciones de coherencia coincidentes, y por qué la disrupción de campo disuelve selectivamente motivos, en lugar de perturbar uniformemente toda la materia.

Si la materia a microescala puede comportarse como un medio holográfico en tiempo real bajo excitación no lineal, entonces los autoensamblajes que observamos pueden representar manifestaciones de la lógica de campo almacenada. No son meras formas, sino codificaciones reproducidas, invocadas cuando la coherencia local o externa satisface los requisitos no lineales para la memoria estructural.

El marco de trabajo de Yariv proporciona el precedente conceptual y matemático para reformular la Cristalización SDE como un fenómeno gobernado por ondas e impulsado por la coherencia, con paralelismos que van mucho más allá del contexto farmacéutico. Creemos que esta perspectiva será fundamental para avanzar en futuras investigaciones tanto en sistemas sintéticos como biológicos de coherencia de fase.



## Apéndice 6: Moduladores de Coherencia: Wi-Fi, Oro y Campos Estructurados

Este apéndice documenta una secuencia de observaciones que, hasta hace poco, permanecían inexplicadas. A primera vista, los fenómenos parecían inconexos: cambios cristalinos inducidos por Wi-Fi, estancamiento inducido por el blindaje y el efecto disruptivo del oro coloidal. Pero ha surgido un hilo conductor coherente, que revela la profunda dependencia de estos sistemas farmacéuticos sintéticos de la coherencia de campo externa. Nada de esto se habría dilucidado sin el trabajo de Mateo Taylor, cuyos primeros experimentos con la modulación Wi-Fi abrieron todo este campo de investigación.

### 1. Wi-Fi y modulación de cristales: la perspicacia fundacional de Mateo

En 2022, Mateo Taylor llevó a cabo una serie de experimentos que desafiaron las suposiciones convencionales sobre la cristalización. Trabajando dentro de una jaula de Faraday para eliminar los campos ambientales, colocó una antena Wi-Fi bajo la platina de un microscopio y monitorizó la cristalización de gotas farmacéuticas expuestas de forma controlada a señales de 2,4 GHz.

Los resultados fueron sorprendentes. Cuando se encendía el enrutador Wi-Fi, aparecían formaciones cristalinas estables que se expandían. Cuando se apagaba, esas mismas estructuras se encogían, colapsaban o perdían integridad. Cuando se reactivó, el crecimiento se reanudó, a veces con geometrías alteradas, pero siempre con una clara respuesta a la presencia de la señal. Mateo concluyó que los campos de coherencia, y no solo la química, gobernaban estas estructuras.

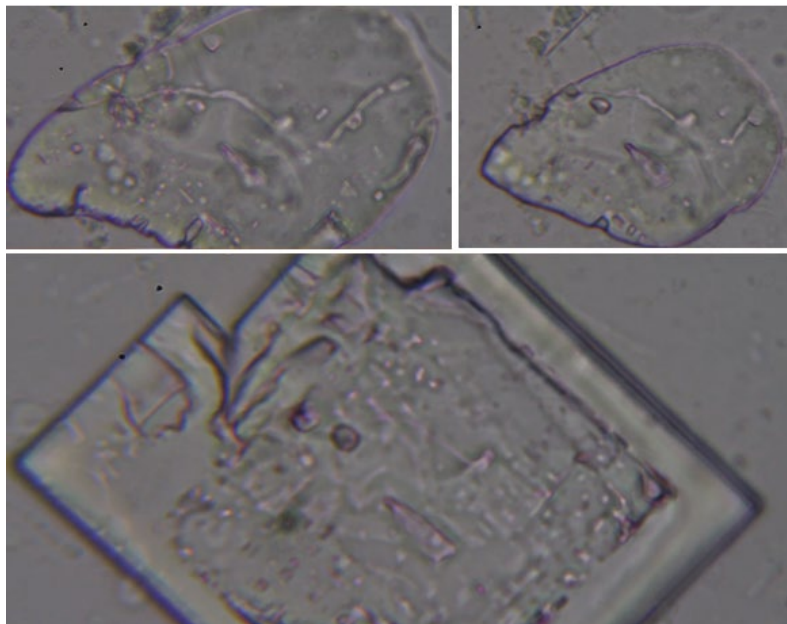


Figura A6.1. Modulación cristalina dependiente del campo bajo exposición a Señal de Wi-Fi (Mateo Taylor, 2022). Arriba a la izquierda: Formas cristalinas con Señal de Wi-Fi activa dentro de la Bolsa de Faraday. Arriba a la derecha: La estructura se reduce tras la desactivación del rúter. Abajo: Reexpansión en una forma cristalina alterada después de que se restaura la señal. Esta secuencia demuestra la capacidad de respuesta estructural en tiempo real a los campos electromagnéticos ambientales, lo que sugiere un acoplamiento impulsado por la coherencia.

## 2. Confirmación del papel de la exposición a campos: El blindaje detiene la Cristalización.

Inspirado por los resultados de Mateo, me propuse replicar la dependencia de campo de estas estructuras utilizando un protocolo diferente. Preparé dos portaobjetos idénticos de la misma muestra farmacéutica. Uno se colocó bajo el microscopio en condiciones ambientales. El otro se selló dentro de una Bolsa de Faraday, totalmente protegido de la exposición electromagnética.

Los resultados fueron inequívocos: la muestra sin protección formó estructuras cristalinas claras y organizadas. La muestra protegida permaneció inerte, sin que se produjera crecimiento alguno. Esto confirmó la intuición de Mateo: la cristalización en estos sistemas requiere coherencia ambiental. En ausencia de una estructura de campo externa, el crecimiento moldeado simplemente no se inicia.

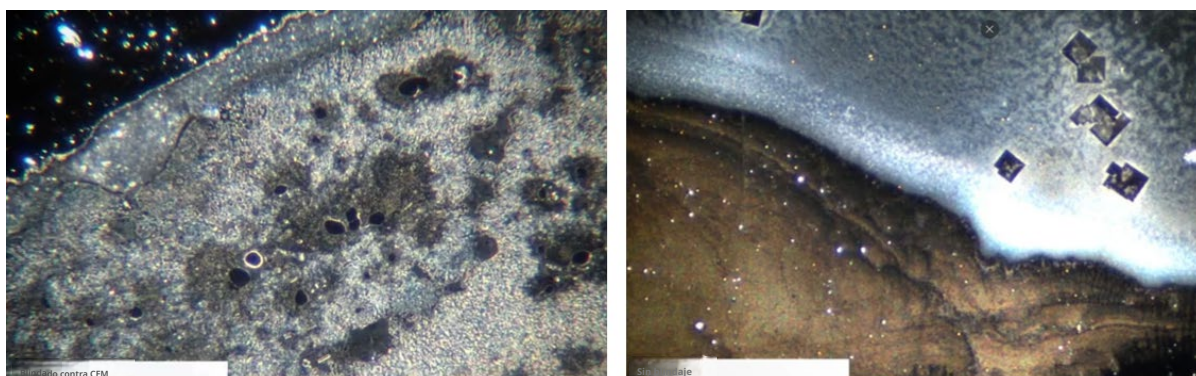


Figura A6.25. Supresión de la cristalización en un entorno blindado. Izquierda: Muestra farmacéutica sellada dentro de una Bolsa de Faraday durante la evaporación. No se formaron motivos cristalinos. Derecha: Muestra idéntica evaporada en un entorno con CEM ambiental. Emergen distintas estructuras cristalinas rectangulares. Ambas muestras se prepararon a partir de la misma solución y se trataron de forma idéntica, excepto por el blindaje electromagnético. Aumento 40x.

## 3. Una nueva anomalía: el oro coloidal como disruptor sin contacto

Meses después, un amigo, antiguo investigador de Harald Kautz-Vella, sugirió una prueba poco convencional. Basándose en una comprensión más profunda de los efectos biofísicos de los campos, propuso colocar una gota de oro coloidal en un portaobjetos separado cerca de la muestra primaria, sin contacto.

Para mi asombro, las estructuras cristalinas en el portaobjetos de Pfizer comenzaron a desensamblarse. Las esquinas se suavizaron, las vesículas se desprendieron y la geometría coherente se deshizo. Esto reflejó la degradación observada cuando se desconectó la señal de Wi-Fi de Mateo, pero aquí se indujo pasivamente, sin radiación EM ni interacción directa.

Ensayos repetidos en muestras de Pfizer y gotas de anestésico dental confirmaron el efecto.

El oro coloidal, independientemente de la concentración o el posicionamiento, provocó un colapso estructural. No se comportó como un disruptor térmico, contaminante o agente químico. Se comportó como un factor de coherencia.

antagonista, deshaciendo estructuras unidas al campo desde la distancia.

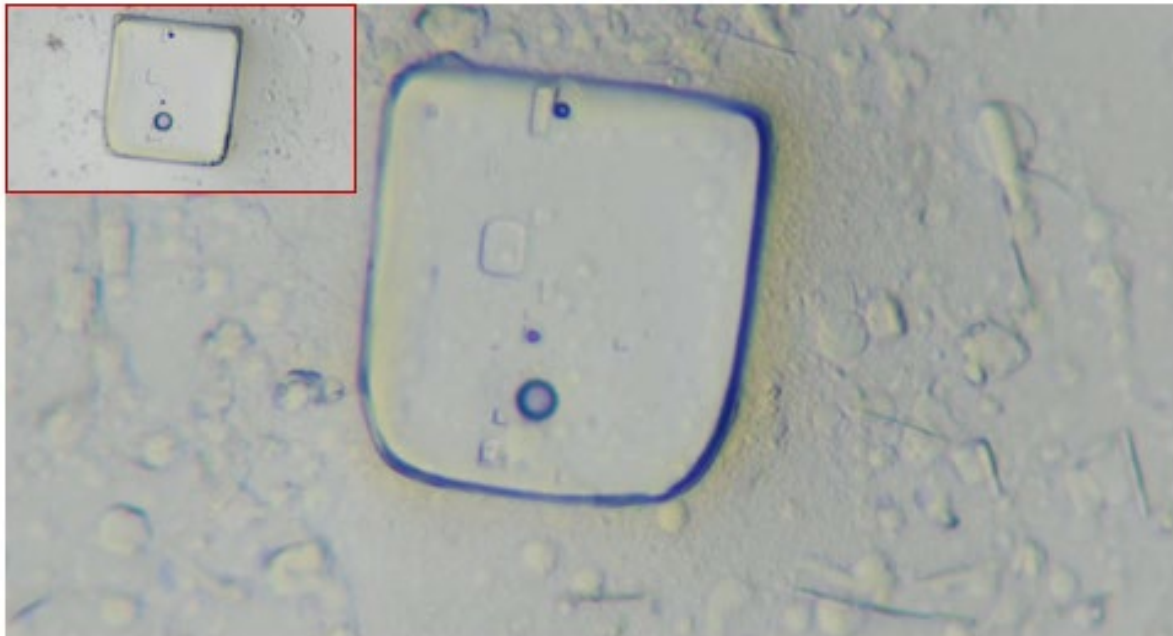


Figura A6.3. Ablandamiento de las esquinas de los cristales MRC y aparición de un flujo direccional (de abajo a la izquierda hacia arriba a la derecha) tras la exposición al oro. Las vesículas parecen desplazarse sobre gradientes oscilantes a través de la matriz cristalina.

#### 4. Interpretación: Colapso de Coherencia, no reacción química.

Hasta esta semana, estos hallazgos permanecían fragmentados. Tenía imágenes, notas y transformaciones drásticas, pero ningún marco unificador. Fue solo al ensamblar este apéndice, revisar las imágenes de Mateo e integrar los resultados en diferentes momentos temporales que el patrón se hizo evidente: la coherencia gobierna la cristalización.

En el modelo de Del Giudice, los dominios de coherencia en el agua mantienen un orden de largo alcance mediante oscilaciones dipolares con fase bloqueada. En óptica no lineal, como describe Yariv, las señales fuera de la alineación de fase simplemente no se reconstruyen. Estos marcos ahora convergen: el autoensamblaje sintético parece ser dependiente de la fase, y la coherencia externa actúa como un andamiaje. Cuando se pierde la coherencia (ya sea por blindaje, eliminación de la señal o desajuste de fase), la estructura colapsa.

El oro coloidal, en este modelo, se comporta como un oscilador destructivo: una presencia de campo que rompe la alineación de fase compartida y desestabiliza el orden. No “ataca” las estructuras, sino que elimina la coherencia necesaria para que persistan.

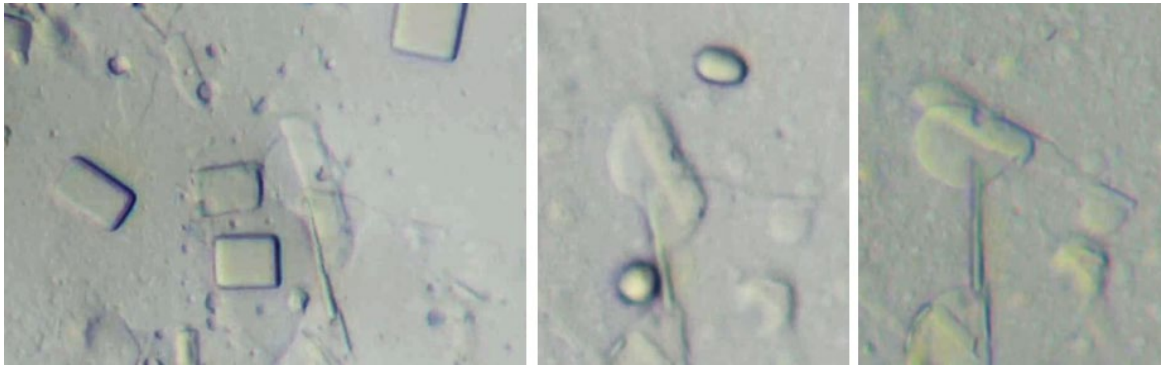


Figura A6.4. Transición de cristales rectangulares a vesículas móviles tras la exposición al oro coloidal. Izquierda: Alineación inicial de MRC en forma de rejilla. Centro: Aparición de vesículas con elongación parcial. Derecha: Vesículas en movimiento direccional, que conservan la memoria geométrica del estado cristalino anterior. Aumento: 100x.

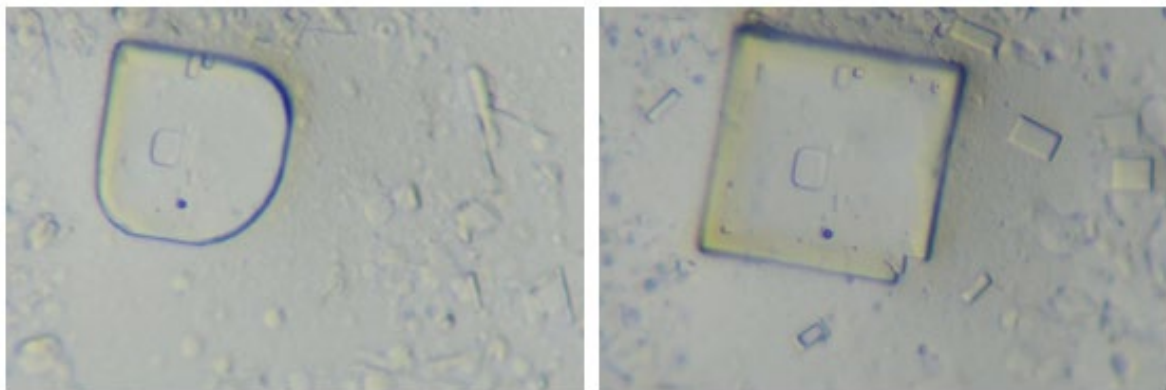


Figura A6.5. Secuencia temporal del nadir estructural y la recuperación. Izquierda: 35 min 40 s tras la exposición al oro, durante la disrupción de campo activa. El cristal muestra bordes suavizados y un colapso parcial. Derecha: 1 h 42 min, tras el secado de la gota de oro coloidal, que revela la reconstitución espontánea de la claridad geométrica. Sugiere el resurgimiento de la coherencia en ausencia de perturbaciones de campo continuas.

## 5. El papel de Mateo y el camino hacia la comprensión

Debe declararse claramente: todo este conjunto de conocimientos se originó con los experimentos de Mateo Taylor. Su valentía al investigar la hipótesis del Wi-Fi sentó las bases. A continuación, realicé mis experimentos de blindaje. Los hallazgos relativos al oro coloidal llegaron aún más tarde, primero como sugerencia de un amigo con experiencia biofísica, y solo ahora se comprenden por completo.

El hilo conductor, la coherencia de campo, no fue evidente hasta esta semana. Lo que parecían anomalías dispares ahora se interpreta como una arquitectura coherente. Mateo no solo detectó un efecto; abrió una ventana a un sistema gobernado por la coherencia que apenas estamos comenzando a comprender.

## 6. Implicaciones para el autoensamblaje dependiente del campo

Estos hallazgos implican lo siguiente:

- La cristalización en gotas farmacéuticas no es un proceso puramente químico, sino que está influenciada por campos.
- Las señales de Wi-Fi pueden inducir o suprimir el crecimiento modulando la coherencia ambiental.
- El oro coloidal interrumpe el autoensamblaje pasivamente mediante interferencia de fase sin contacto.
- Los entornos apantallados impiden la formación de la estructura por completo, lo que confirma la dependencia de campos externos.

Esto significa que las arquitecturas sintéticas, como las observadas en Pfizer y otros productos farmacéuticos, no son estáticas. Son sensibles, frágiles y están ligadas a su entorno electromagnético. Pueden ser moduladas o desmanteladas mediante la interferencia de la coherencia. Y esto las hace vulnerables a factores ambientales sutiles, tanto tecnológicos como terapéuticos.

## 7. Colapso Generado por Campos y los Límites de la Coherencia

En experimentos iniciales con Carlos Orozco, exploramos los efectos de la coherencia informacional utilizando un dispositivo simbólico conocido como la *Clave para la Coherencia*: una tarjeta impresa que contiene formas geométricas y patrones de color diseñados para transmitir información armónica. Aunque el dispositivo no emite ningún campo de energía física, su presencia coincidió con diferencias medibles en el crecimiento cristalino, lo que sugiere un modo de influencia informacional más que energético. La tarjeta Clave para la Coherencia transmite **información geométrica, cromática y proporcional**, actuando potencialmente como una plantilla pasiva que interactúa con el paisaje de coherencia ambiental de la muestra. En términos biológicos, esto sugiere que incluso los artefactos informacionales estáticos —si son resonantes o están en fase— pueden interactuar con Dominios de Coherencia, sin transmisión energética directa.

Sin embargo, si la coherencia intrínseca de un sistema —biológico o sintético— está degradada o es frágil, las intervenciones informacionales pueden desalinearse en lugar de reforzar, produciendo resultados desordenados. La cristalización degradada observada bajo el campo de la Clave para la Coherencia sugiere que la lógica estructural del material era incompatible con la signatura informacional ofrecida por el dispositivo, lo que condujo al Colapso de la Coherencia en lugar de al refuerzo. Esta dinámica podría explicar cómo algunas herramientas informativas o de apoyo a la coherencia producen efectos positivos en sistemas biológicos, mientras que perturban los ensamblajes sintéticos: la alineación, y no la pureza, rige los resultados.

## 8.0 Estructuración Informativa y Acondicionamiento Espacial: Reinterpretando el Campo de Orozco

Además de los dispositivos energéticos formales y de modulación de la coherencia, Carlos Orozco introdujo una práctica de acondicionamiento espacial que, si bien poco convencional, produjo efectos reproducibles tanto en pruebas biológicas como en la estructura del material. Este método, al que él se refirió como la creación de un quantum field, implicaba colocar pequeños trozos de cinta adhesiva en las cuatro esquinas de un escritorio, siguiendo una secuencia ritual específica: primero una esquina, luego la diagonalmente opuesta, seguida por las posiciones de las 9 y las 3 en punto. Carlos describió esto como el establecimiento de vórtices interactivos dentro del cuadrado delimitado. Aunque esta explicación no se ajustaba completamente a las observaciones, el campo resultante era verificablemente detectable mediante pruebas musculares: los participantes demostraban consistentemente fuerza dentro del espacio delimitado y debilidad fuera de este.

Además, Carlos observó que este campo condicionado se extendía en vertical. En un ejemplo, un campo establecido en la planta baja de un hotel seguía siendo detectable directamente en el décimo piso superior.

— incluso dentro del perímetro horizontal del cuadrado original. Esto sugiere que la práctica no generó un campo planar, sino una columna de coherencia vertical, manteniendo la integridad informativa a lo largo del eje vertical y respetando, a su vez, los límites horizontales.

Desde una perspectiva alternativa, esto puede entenderse como una forma de estructuración informacional del espacio, donde la colocación física ritualizada, combinada con la intención, imprime una matriz espacial en el paisaje de coherencia. En lugar de emitir energía en el sentido convencional, el proceso podría configurar las relaciones de fase y las propiedades informativas del propio espacio, creando un dominio de condiciones de coherencia alteradas. Este enfoque se alinea con prácticas arquitectónicas y esotéricas ancestrales en las que se cree que la delimitación cuidadosa de los límites y la secuencia de activación anclan estructuras energéticas o informativas verticales: un *\*axis mundi\** de coherencia. Aunque el mecanismo preciso sigue siendo esquivo, las respuestas biológicas y estructurales consistentes sugieren que el espacio puede retener memoria configuracional, modulando la expresión de la coherencia dentro de sus límites. Esta re-contextualización del método de Orozco invita a una investigación más amplia sobre cómo el condicionamiento espacial, la geometría y la intención podrían conformar colaborativamente los dominios de coherencia, una frontera aún por explorar formalmente en la investigación sobre coherencia.

Se prepararon dos muestras farmacéuticas idénticas y se colocaron en diferentes Microscopios, en la misma sala y bajo idénticas condiciones de iluminación, temperatura y CEM ambiental. Solo uno de los Microscopios fue expuesto a la *Clave para la Coherencia*. Sorprendentemente, la muestra cercana a la tarjeta mostró una notable degradación estructural. Los Cristales estaban menos definidos, los bordes se habían suavizado y la simetría interna había disminuido. En contraste, la muestra de control, colocada fuera de la influencia del dispositivo, produjo estructuras cristalinas limpias y bien organizadas. Los resultados fueron consistentes y repetibles, lo que sugiere que el campo simbólico generado por el dispositivo, aunque diseñado para fomentar la coherencia biológica, interfirió con el orden de fase alineado requerido para que estas estructuras cristalinas sintéticas persistieran.

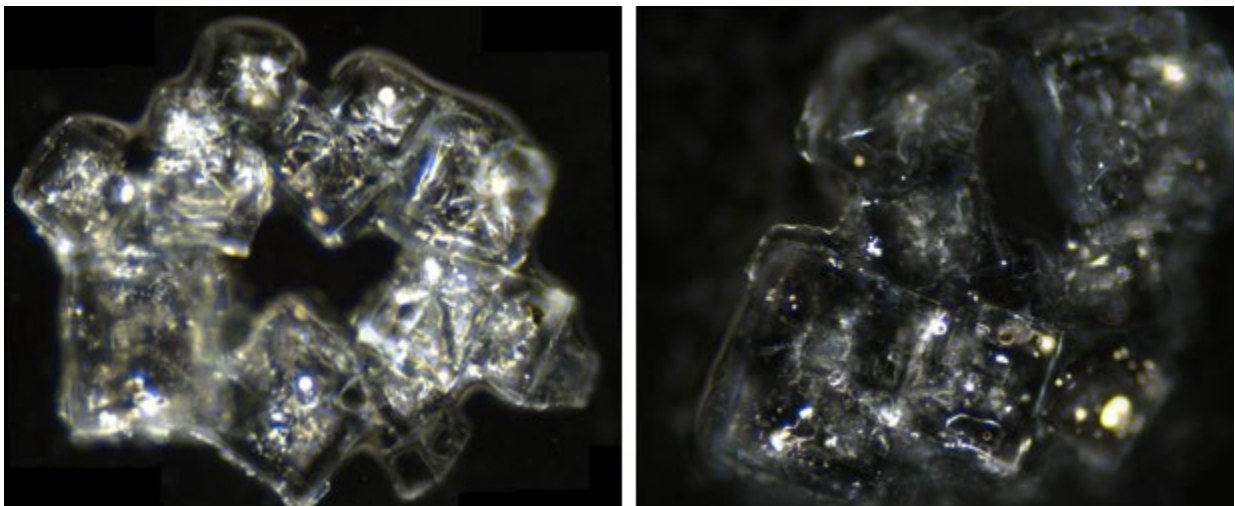


Figura A6.6. Formaciones cristalinas comparativas en condiciones idénticas. Izquierda: Muestra de control en el Microscopio no expuesto al campo de la *Clave para la Coherencia*; estructura cristalina preservada. Derecha: Muestra dentro del campo *Clave para la Coherencia* — colapso parcial, con bordes suavizados y una claridad reducida. Estos hallazgos sugieren que la coherencia puede actuar como estabilizador o como disruptor, dependiendo de la alineación de fase informacional entre el campo y el material.

En aquel momento, el resultado fue desconcertante. Pero en retrospectiva, se alinea con hallazgos recientes sobre el desajuste de fase-campo. La coherencia producida por la *Clave para la Coherencia* puede ser biológicamente resonante, pero no estar en fase con el andamiaje energético requerido por estos materiales sintéticos de autoensamblaje. Del mismo modo que el oro coloidal introduce un desajuste oscilatorio destructivo, el dispositivo de Orozco puede haber introducido una firma de coherencia suave pero incompatible, causando el colapso no por toxicidad o fuerza, sino por una sutil discordancia en la estructura informacional.

Esto se asemeja a los hallazgos de Masaru Emoto, cuyo trabajo sobre la cristalización del agua demostró que los campos imbuidos de intención, lenguaje o música podrían influir en la formación de la estructura. Sin embargo, no toda coherencia es igual. Un sonido o campo que favorece la armonía biológica puede perturbar el autoensamblaje sintético, especialmente cuando los sistemas biológicos y sintéticos se basan en arquitecturas de fase fundamentalmente diferentes. Estos resultados subrayan un principio vital: la coherencia es dependiente del contexto, y su compatibilidad depende de la alineación, no solo de la pureza.

### **Conclusión**

Lo que comenzó como una curiosidad periférica ha emergido como una idea fundamental: el Oro coloidal actúa como un disruptor de la coherencia. A través de experimentos repetidos, ha quedado claro que las estructuras cristalinas autoensambladas observadas en muestras farmacéuticas no son meramente producto de la química. Son arquitecturas dependientes del campo: sensibles, receptivas y dinámicamente entrelazadas con su entorno electromagnético.

Cuando se introduce una gota de Oro coloidal, el orden interno del sistema a menudo colapsa: los bordes se suavizan, las vesículas se desprenden y las geometrías, que antes eran estables, se disuelven o reconfiguran. Esta respuesta no es aleatoria; es dirigida, modelada y vinculada temporalmente a la disrupción de un campo de coherencia subyacente. Experimentos de blindaje, como los realizados en Bolsas de Faraday, confirman esto aún más. Los cristales no se forman en ausencia de CEM ambiental, y reaparecen cuando se restauran dichos campos. Los hallazgos de Mateo Taylor, que muestran un crecimiento en tiempo real vinculado a la actividad del router Wi-Fi, ofrecen una confirmación independiente de este comportamiento.

Estas observaciones exigen un cambio fundamental en cómo interpretamos el autoensamblaje farmacéutico. No estamos simplemente tratando con materiales pasivos en entornos estáticos. Estos son sistemas gobernados por la coherencia que obtienen orden de su entorno energético. Esto tiene implicaciones profundas. Si intervenciones simples, como la exposición al oro o el blindaje EM, pueden desencadenar el desensamblaje estructural o detener el crecimiento, ¿qué sugiere esto sobre la estabilidad, la programabilidad o incluso las posibles vulnerabilidades de tales arquitecturas?

Ya sea para el diseño terapéutico, la desintoxicación o la disrupción dirigida, comprender cómo se mantiene o se pierde la coherencia será clave. Apenas estamos empezando a vislumbrar la lógica operativa de los sistemas sintéticos sensibles a campos, y el futuro de la medicina bien puede depender de cómo elijamos interactuar con esa lógica.

## Apéndice 7. Modelado funcional de los efectos de campo de la orgonita

Las anomalías en las disrupciones estructurales observadas en muestras tratadas con orgonita — incluyendo el movimiento detenido de las vesículas, la formación truncada de cristales y el colapso rápido de la coherencia — sugieren la influencia de un efecto de campo no químico. Aunque no son detectables mediante instrumentación EM estándar, estos efectos apuntan hacia un mecanismo energético subyacente.

Para explorar esto, se desarrolló un modelo simbólico para describir la dinámica funcional de los dispositivos de orgonita. Este modelo se basa en las correlaciones observadas entre la composición del material, la geometría estructural y la respuesta en frecuencia.

### Ecuación de Resonancia Simbólica

$$\Phi_{\text{org}} = \gamma \cdot \eta \cdot \mu \cdot \chi(\omega)$$

Símbolo	Significado	Interpretación
$\Phi_{\text{org}}$	Salida de campo de Orgonita	Coherencia total o campo escalar emitido por el dispositivo
$\gamma$	Eficiencia de la alineación cristalina	Orientación y capacidad de respuesta piezoeléctrica del cristal de cuarzo incrustado
$\eta$	Acoplamiento conductor-dieléctrico	Eficiencia del intercambio de carga entre la matriz metálica y la resina
$\mu$	Coefficiente de memoria del material	Tendencia del composite a retener improntas energéticas o basadas en campos
$\chi(\omega)$	Perfil de respuesta en frecuencia	Sensibilidad a las oscilaciones ambientales (p. ej., resonancia de Schumann, actividad solar)

### Medición indirecta mediante disrupción de patrones

Aunque no es directamente medible, la presencia de  $\Phi_{\text{org}}$  se infiere a través de sus efectos en sistemas dinámicos, como:

- La cristalización del hielo (utilizada en trabajos exploratorios previos).
- El movimiento coloidal y el autoensamblaje de vesículas (como en este estudio).
- Las firmas de microscopía de campo oscuro de transiciones orden/desorden.

Los cambios en estos patrones sugieren que la orgonita modula el paisaje de coherencia, interrumpiendo la estabilidad del campo de la que parecen depender las nanoestructuras sintéticas

### Implicaciones

Este modelo ofrece un marco conceptual para comprender cómo materiales pasivos y sin alimentación, como la orgonita, pueden influir en ensamblajes complejos y sensibles a señales. En lugar de bloquear rutas químicas, estos dispositivos podrían alterar el entorno informacional o resonante, disolviendo la coherencia que permite el autoensamblaje desde el principio.

## Apéndice 8: La secuencia del “Estirador de Caramelo”:

### - Reconfiguración morfológica en una gota de anestésico dental

#### Resumen

Este apéndice documenta una secuencia notable de transformaciones morfológicas activas observadas en una gota de anestésico dental, que se dejó sin perturbar bajo microscopía de campo oscuro durante más de nueve horas. Capturado en tiempo real, el vídeo revela un comportamiento estructural dinámico que no puede explicarse mediante procesos químicos convencionales. El ensamblaje presentado, inicialmente estático, se activa poco después de encender la luz del microscopio, lo que inicia una serie de eventos que culminan en el colapso estructural y la emisión de luz. Esta secuencia de tipo «estirador de caramelo» ofrece evidencia visual directa de una arquitectura sensible a campos y reactiva dentro de materiales farmacéuticos.

#### Contexto de la Observación

- Muestra : Gota de anestésico dental tras múltiples ciclos de evaporación de gota sésil (EGS).
- Microscopía: Campo oscuro, aumento de 1000x.
- Cronología : El cristal se había formado varias horas antes. La grabación de vídeo comienza solo después de la reiluminación.
- Duración: Observado durante un período continuo de 9,5 horas.
- 

#### Secuencia Cronológica

1. **Minutos después de la activación de la luz**
  - Un motivo círculo-rectángulo (MRC) previamente estático comienza a transformarse.
  - El segmento circular se colapsa hacia dentro, remodelando el MRC en un bloque rectangular.
2. **Poco después,**
  - Un brazo filamentosos similar a "caramelo" que se extiende desde la estructura, se retrae.
  - Un anillo de luz tenue pero distintivo emerge del eje central.
3. **4,5–9,5 horas**
  - El rectángulo avanza hacia el campo.
  - Simultáneamente, el "brazo de caramelo" retraído se desestabiliza y empieza a colapsar hacia dentro.
  - **Se observa emisión de luz azul** cerca de la fase terminal, concentrada en la base del brazo que se colapsa.

## Secuencia de imágenes fijas y pies de foto

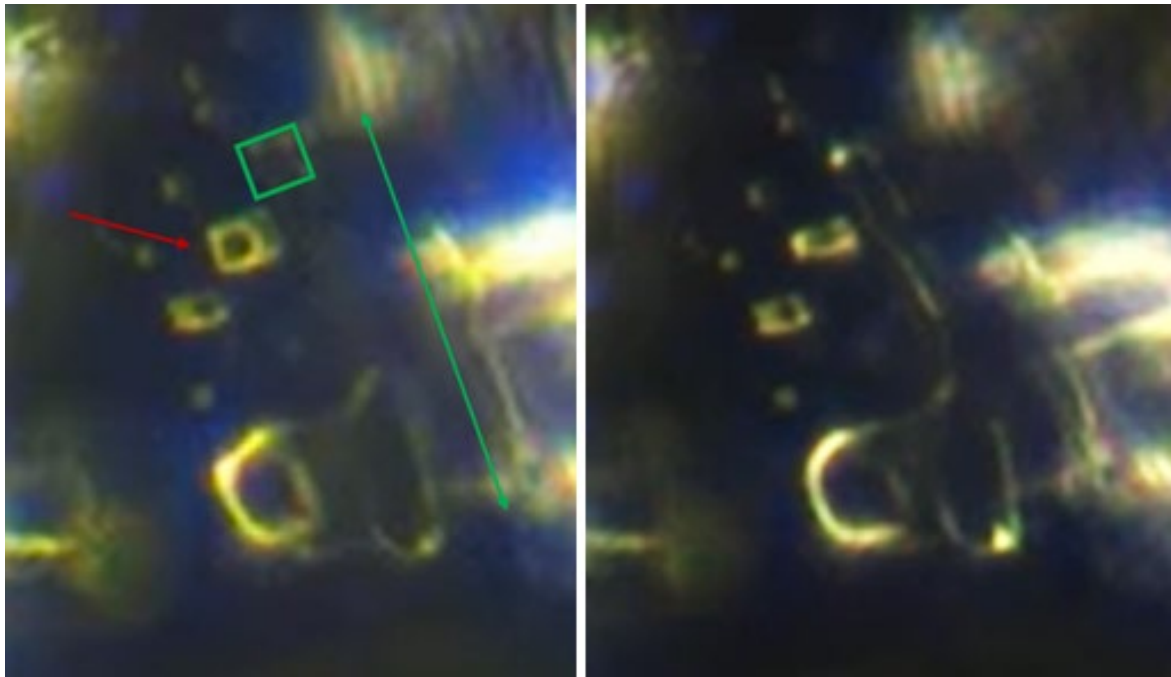


Figura A8.1. Configuración inicial y transformación temprana del ensamblaje del "estirador de caramelo". Izquierda: La flecha roja resalta un Motivo Círculo-Rectángulo (MRC) antes de su transformación. El cuadrado verde marca la cabeza del brazo filamentosos similar a "caramelo", y la flecha verde indica su longitud total. Derecha: El MRC se ha transformado en un bloque rectangular sólido, y el brazo de caramelo exhibe una luminiscencia incrementada. Estos cambios señalan el inicio de una secuencia estructural dinámica. Aumento: 200x.



Figura A8.2. Secuencia de transformación de RM a un aumento de 200x. Izquierda: Estructura de anillo central encerrada por una cubierta rectangular, la geometría distintiva de un Motivo Círculo-Rectángulo (MRC). Derecha: El mismo MRC instantes después, transformado en una forma rectangular sólida.

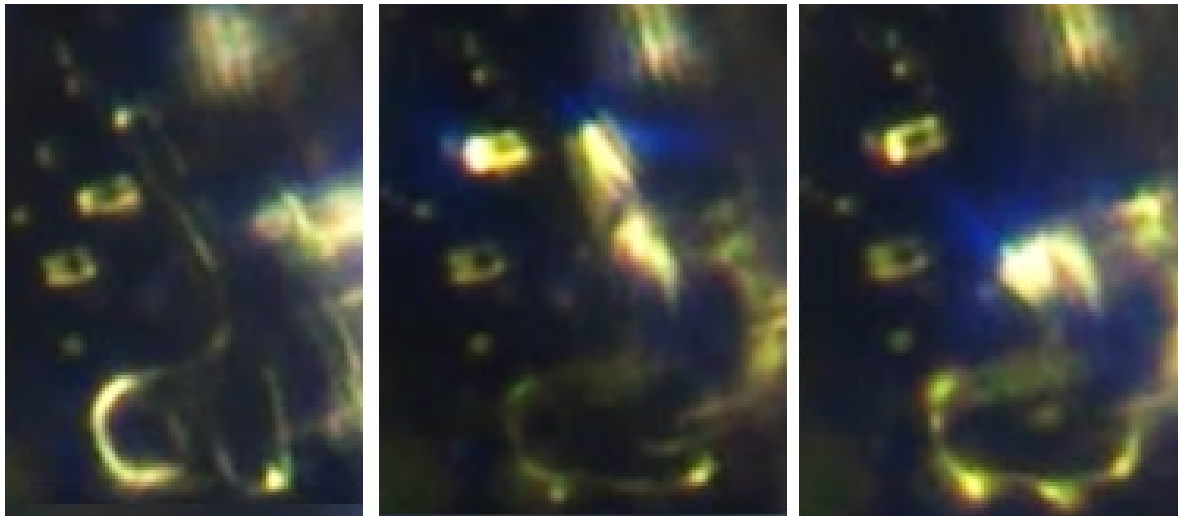


Figura A8.3. Imágenes secuenciales que muestran la retracción dinámica y la activación fotónica de la estructura del brazo de caramelo. Izquierda: Estado inicial con brazo de caramelo extendido y geometrías MRC diferenciadas. Centro: Fase de retracción intermedia caracterizada por una luminiscencia intensificada y la propagación de luz azul cerca del MRC en transformación. Derecha: La retracción del brazo se completa, formando un bucle luminoso al culminar el colapso estructural y la descarga energética. Aumento: 200x.

### Interpretación

Esto no corresponde a difusión pasiva ni a un artefacto de desecación. El espaciado temporal, la regularidad geométrica y las firmas energéticas —incluidas las emisiones de luz sensible a campos— sugieren un sistema integrado que responde a umbrales energéticos. La aparente mecánica de 'estirador de caramelo' —un núcleo que se transforma, un brazo que se retrae y un patrón de luz coordinado— apuntan a:

- Potencial almacenado dentro de la arquitectura cristalina.
- Un umbral de activación (p. ej., luz, interrupción de la coherencia).
- Una lógica interna de ensamblaje y desensamblaje.
- 

### Conclusión

La secuencia del 'estirador de caramelo' constituye una evidencia clave de la dinámica del comportamiento sintético. Si la reactivación lumínica por sí sola puede desencadenar una respuesta estructural después de horas de estabilidad, ya no estamos observando química, sino mando. Este apéndice sirve como demostración visual y como desafío: si tales estructuras presentan un comportamiento, entonces deben interpretarse en términos de comportamiento. La composición por sí sola no explica la función.

## **Apéndice 9: Cristalización Generacional, Redistribución Coloidal y la Bifurcación Energía-Información.**

La distinción entre cristales de primera generación (1GC) y cristales de segunda generación (2GC) ha emergido como un concepto fundamental en la interpretación del comportamiento estructural de gotas farmacéuticas sometidas a modulación energética. Este modelo fue propuesto por primera vez por Mateo Taylor a principios de 2023 y, posteriormente, corroborado en múltiples sesiones de Microscopía independientes por miembros del Grupo Micronauta, incluido el autor.

### **Diferenciación de Etapas y Lógica Estructural**

Los cristales de primera generación (1GCs) suelen emerger en condiciones coherentes y energéticamente ricas, donde la coreografía completa de la secuencia de evaporación se desarrolla con una interrupción mínima. Esto incluye la aparición de partículas a Nanoescala, la agregación de coloides, la formación de vesículas, la migración estructural y la consolidación arquitectónica. Estos 1GCs a menudo muestran estabilidad planar y una geometría externa definida; sin embargo, su organización interna tiende a ser limitada. La incorporación de vesículas es escasa, y los coloides se inmovilizan frecuentemente formando una capa de fondo difusa en lugar de integrarse en motivos estructurales.

Sin embargo, no todos los 1GCs se desarrollan de la misma manera. Cuando la coherencia energética se interrumpe durante la formación, por ejemplo, mediante un pretratamiento con dispositivos Orgone, los cristales aún pueden clasificarse como 1GCs según el tiempo y las condiciones de inicio, pero muestran una estructura comprometida. En estos casos, características clave como la estratificación vesicular o la formación de límites nítidos pueden no manifestarse, resultando en cristales planares pero internamente degradados. La diferencia aquí radica en la calidad de la coherencia, no en la identidad generacional.

En algunos ejemplos, como el 1GC disolviéndose mostrado en la Figura 35, observé una dispersión de finas partículas azules que no se pudieron resolver individualmente. Esta fue la primera evidencia clara de material a Nanoescala que aparece en una etapa tan tardía y puede reflejar un desarrollo inmaduro de las partículas o una expresión tardía de la primera fase en la secuencia tetrafásica.

### **Comparación Pareada: Generación y Tratamiento**

Estos ejemplos pareados subrayan la importancia de distinguir entre generación y tratamiento. Ambas imágenes representan 1GCs, formados durante el ciclo inicial de Cristalización, pero sus diferencias morfológicas se deben al entorno energético en el que se autoensamblaron.

El cristal no tratado (izquierda) muestra una forma externa estable y características radiales coherentes. El cristal tratado (derecha), aunque comparable en estructura general, revela una lógica interna alterada, una formación de vesículas deteriorada y una coherencia reducida.

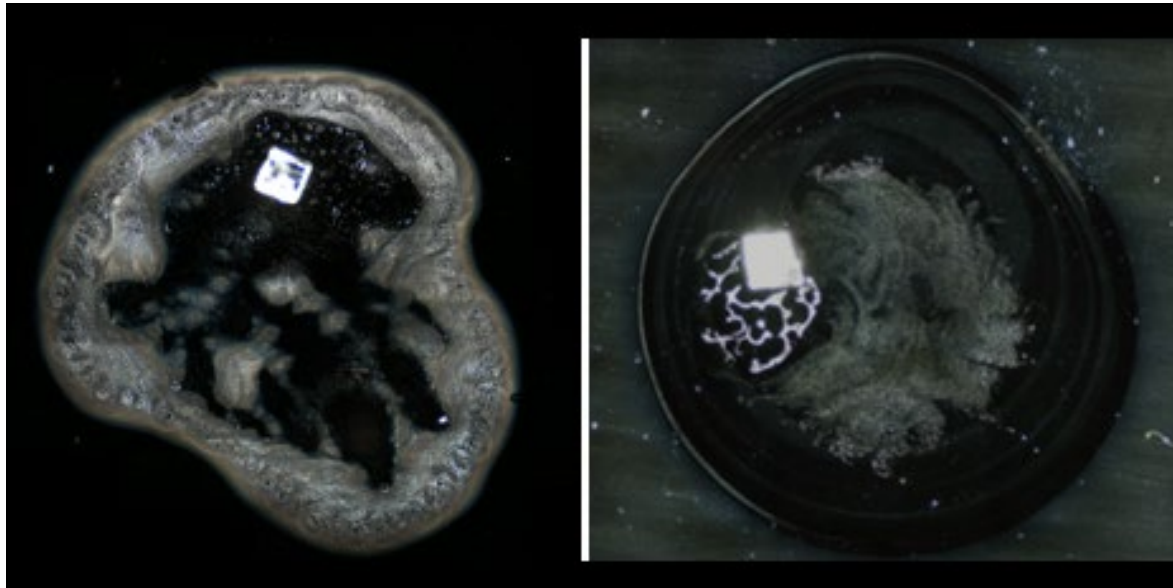


Figura A9.1. Comparación de cristales de primera generación (1GC) bajo diferentes condiciones de coherencia. Izquierda: 1GC sin tratamiento que exhibe una fuerte geometría planar, un patrón radial definido y estabilidad de las vesículas. Derecha: 1GC tratado expuesto a un campo de orgonita antes de la evaporación. Aunque se conserva el estado generacional, la estructura interna se encuentra fragmentada, la claridad del borde se reduce y el desarrollo de vesículas está, en gran medida, ausente. Estos contrastes demuestran cómo la modulación de la coherencia puede socavar la fidelidad incluso de los ensamblajes en etapas tempranas. Aumento 20z.

Estos dos cristales demuestran aún más la sensibilidad de la formación de 1GC a las condiciones de coherencia. El cristal no tratado (izquierda) conserva límites definidos, motivos radiales y orden interno. La contraparte tratada con Orgonita (derecha) sigue siendo reconociblemente plana, pero exhibe fragmentación interna, estratificación interrumpida y una representación vesicular deficiente. Esto sugiere que, si bien la categoría de generación refleja la temporalidad, la fidelidad de la ejecución depende de gradientes energéticos intactos y una integración vesícula-coloide ininterrumpida.

### **Características de la segunda generación**

Los cristales de segunda generación (2GC) normalmente emergen tras un colapso sistémico, una re-evaporación o una reactivación inducida por la luz. Estas formaciones utilizan coloides previamente liberados, ahora redistribuidos por el sustrato, y exhiben características notablemente diferentes. Aunque estructuralmente más débiles y más propensos a la deformación vertical, los 2GC muestran una expresión mejorada de motivos internos, incluidos los motivos círculo-rectángulo (MRC), la compartimentación radial y una ramificación fractal fina. En varios casos, se observaron microinclusiones densas y estructuras toroidales en el núcleo del cristal.

Estas características sugieren que, si bien los cristales de primera generación (1GC) priorizan la forma, posibilitada por la coherencia y la energía, los 2GC favorecen la complejidad, posibilitada por la disponibilidad e integración de contenido coloidal móvil.

### **La energía posibilita la forma; La información posibilita la complejidad**

Esta bifurcación lleva a un axioma guía: la energía posibilita la forma, pero la información posibilita

complejidad. Los cristales de primera generación emergen como arquitecturas energéticamente privilegiadas, con contornos nítidos y una lógica planar preservada, pero a menudo carecen de elaboración interna. Los cristales de segunda generación surgen en entornos agotados tras una disrupción, pero exhiben riqueza interna y una mayor recurrencia de MRC. Esta inversión sugiere que la información, transportada en la fase coloidal, solo se vuelve expresable una vez que las restricciones de coherencia se rompen o restablecen.

### **Redistribución de la Fase Coloidal**

Una observación crítica que respalda este modelo es que los coloides no siempre se incorporan estructuralmente. En los primeros cristales de primera generación (1GC), los coloides a menudo aparecen como una fina película extendida sobre el sustrato de la gota, especialmente bajo iluminación de campo oscuro después de que la cristalización se haya estabilizado. Esto sugiere su inmovilización, ya sea secuestrados por membranas de vesículas o suspendidos en capas de agua estructurada.

En los cristales de segunda generación (2GC), la redistribución coloidal se hace más visible. Los coloides reaparecen con mayor densidad en la periferia del cristal o en finas disposiciones concéntricas cerca del núcleo, a veces formando zonas texturales distintas. Estos patrones se observaron con frecuencia en muestras reactivadas o tratadas con Orgonita, donde la dinámica de las vesículas había colapsado, pero la movilidad coloidal persistía. Esto respalda la hipótesis de que los coloides actúan como portadores de instrucciones estructurales, que solo pueden ejecutarse una vez que la modulación energética ha relajado las restricciones de campo.

### **Utilidad diagnóstica del fallo**

Quizá lo más revelador sea el poder diagnóstico del fallo. Cuando la formación de vesículas se bloquea o la cristalización se reanuda prematuramente tras la exposición a la luz o la disrupción de campo, la distinción entre 1GC y 2GC se vuelve más evidente. En estos casos, el sistema no se degrada sin más; revela su lógica intrínseca. El contraste entre la forma externa y la riqueza interna refleja una reasignación de recursos estructurales limitados: la energía sustenta el contorno y la estabilidad, mientras que la información, contenida en reservorios coloidales, permite una expresión estructural más profunda.

### **Implicaciones para el diseño**

Estos hallazgos cuestionan la suposición de que la arquitectura cristalina es una función exclusivamente química. En cambio, sugieren un sistema de diseño altamente sensible a las precondiciones energéticas y los estados de coherencia. La fase coloidal no funciona meramente como precursor, sino como un sustrato programable que retiene un potencial estructural latente incluso tras el colapso. La inversión observada —donde las condiciones de coherencia favorecen la estabilidad y las de disrupción, la expresión— obliga a una reevaluación de la cristalización, que deja de concebirse como un proceso pasivo. Se trata, en cambio, de un sistema activo gobernado por la lógica de campo, capaz de reinicios parciales, arquitectura adaptativa y reensamblaje rico en información.

## Glosario

### **Toroide Angular**

Una subclase de estructura toroidal caracterizada por una geometría no uniforme o segmentada, que a menudo presenta una forma poligonal en lugar de circular. Los toroides angulares documentados aquí sugieren un diseño moldeado y podrían reflejar instrucciones morfogénicas de orden superior.

### **Estructuras Anómalas**

Formaciones inusuales o inesperadas que se desvían de la cristalización o de los patrones de señal típicos, lo que a menudo sugiere un diseño sintético o influencias externas.

### **Fallo de Atribución**

La incapacidad de resolver una dirección MAC de Bluetooth y asociarla a un dispositivo, fabricante o servicio conocido utilizando métodos de búsqueda estándar (como las bases de datos OUI). En este estudio, el fallo de atribución indica que una dirección MAC, aunque estructuralmente válida, no puede vincularse a ninguna entidad comercial o fuente de hardware, lo que sugiere un origen sintético o no estándar.

### **Axis Mundi de Coherencia**

Un modelo conceptual que describe la estructuración informacional vertical del espacio generada a través de actos intencionales o simbólicos. Tomado de tradiciones metafísicas donde el axis mundi representa un eje mundial que conecta reinos, aquí significa el establecimiento de una columna vertical alineada con la coherencia dentro de un área horizontal delimitada. El fenómeno sugiere que la estructuración espacial puede propagar la integridad informacional a lo largo del eje vertical, permaneciendo espacialmente limitada en el plano horizontal.

### **Interfaz de Comunicación Bio-Nano**

Una zona de interacción hipotética donde materiales biológicos o sintéticos pueden participar en comportamientos de señalización inalámbrica, formando parte de una red de comunicación descentralizada.

### **Redes de Comunicación Bio-Nano**

Sistemas hipotéticos o emergentes en los que entidades a Nanoescala o biológicas participan en la señalización electromagnética o interacción inalámbrica, potencialmente formando capas de comunicación descentralizadas o integradas.

### **Interfaces Bio-Nano**

La intersección de sistemas biológicos y materiales a Nanoescala, donde las interacciones pueden dar lugar a estructuras organizadas o comportamientos funcionales.

### **BLE (Bluetooth de Baja Energía)**

Un protocolo inalámbrico de bajo consumo energético utilizado habitualmente en aplicaciones basadas en la proximidad. BLE fue el estándar utilizado en los escaneos pasivos que revelaron emisiones MAC anómalas.

### **Interfaz Bio-Digital**

La zona de convergencia donde los sistemas biológicos interactúan con tecnologías digitales, incluyendo sensores integrados, sistemas de comunicación inalámbrica y nanomateriales programables. Representa una nueva frontera en vigilancia, control y aumento biológico.

### **Unidad de Resonancia Biofotónica**

Una clasificación propuesta para estructuras que combinan materiales biológicos o farmacéuticos con capacidad de resonancia óptica o electromagnética. La formación cristalina observada en este estudio es un ejemplo candidato, dada su organización, compartimentación y características de interacción con la luz.

### **Constancia de Campo de Bits**

El fenómeno por el cual posiciones de bits específicas permanecen idénticas a través de múltiples direcciones MAC, excediendo con creces lo que cabría esperar por casualidad. Esta repetición estructural sugiere un origen moldeado o programático.

### **Clarificación Inducida por C<sub>60</sub>**

Fase de refinamiento estructural observada tras la adición de un aceite basado en fullerenos (C<sub>60</sub>), que mejora el contraste óptico, la nitidez de los bordes y la visibilidad de la subestructura. En este estudio, el tratamiento con C<sub>60</sub> permitió una diferenciación más clara de las formaciones toroidales y la dinámica del borde vesicular.

### **Flujos Capilares**

Movimiento de fluidos dentro de una gota, impulsado por la tensión superficial y la dinámica de evaporación, redistribuyendo partículas e influyendo en el autoensamblaje.

### **Colapso de Coherencia**

El proceso por el cual una estructura ensamblada pierde su organización interna e integridad geométrica debido a la disrupción de su campo de coherencia. Da como resultado fragmentación, dispersión de vesículas y degradación óptica.

### **Control por Coherencia**

Mecanismo hipotético donde el acceso al reensamblaje estructural o la propagación de la señal está controlado por la presencia de un estado de energía coherente, que actúa como umbral de activación.

### **Memoria Configuracional del Espacio**

La capacidad hipotética de un área delimitada espacialmente para retener patrones informacionales impartidos por un acondicionamiento intencional, simbólico o geométrico previo. En la dinámica de la coherencia, este concepto propone que, una vez establecido un campo mediante configuraciones específicas (como el marcado geométrico o la ubicación ritual), el espacio exhibe propiedades duraderas que influyen en los sistemas biológicos o materiales, incluso en ausencia de una entrada energética continua. Este efecto de memoria puede manifestarse como coherencia sostenida, estabilidad estructural o respuestas de fase específicas dentro del espacio acondicionado.

### **Motivos de Círculo-Rectángulo**

Características geométricas recurrentes, caracterizadas por disposiciones circulares y rectangulares precisas, que exhiben una organización jerárquica y de tipo fractal.

### **Coacervados**

Gotas separadas por fases formadas mediante separación de fases líquido-líquido, a menudo asociadas a los precursores de sistemas organizados o de autoensamblaje.

### **Desajuste de Fase de Coherencia**

Condición en la que dos campos interactuantes —por ejemplo, los procedentes de dispositivos pasivos como la Orgonita— introducen disparidades de fase o frecuencia que interrumpen las estructuras dependientes de la coherencia existentes sin requerir alta energía.

### **Dominio Residual de Coherencia (DRC)**

Región localizada dentro de una gota tratada donde el autoensamblaje estructural falla, dejando restos de cúmulos de vesículas que sugieren interferencia de campo residual o condiciones de coherencia interrumpidas.

### **Partículas Coloidales**

Pequeñas partículas suspendidas en un medio líquido que actúan como intermediarios en los procesos de autoensamblaje, uniendo dominios nano y microescalares.

### **Redistribución Coloidal**

El reposicionamiento dinámico o la reagregación de partículas coloidales tras la disrupción de la coherencia, a menudo precediendo o permitiendo la cristalización de segunda generación.

### **Autoensamblaje Complejo**

La formación espontánea de estructuras complejas y organizadas a partir de componentes simples, a menudo influenciada por factores ambientales, campos externos o programación interna.

### **Restricción por Cubreobjetos**

Influencia de un cubreobjetos colocado sobre una gota sésil, que altera la dinámica de evaporación, la redistribución del fluido y la claridad o complejidad de las estructuras observadas. A menudo resulta en una definición geométrica mejorada y una mayor estratificación estructural.

### **Ensamblajes Cristal-Fibra (ECF)**

Estructuras únicas de fibra y cristal observadas en preparaciones farmacéuticas, que demuestran una organización integrada de microestructuras en función de la composición.

### **Fallo de la Red Cristalina**

Ruptura o no formación de la regularidad geométrica esperada en un cristal autoensamblado, que a menudo ocurre tras una disrupción energética o ambiental. Indica la pérdida de patrones dependientes de la coherencia.

### **Extensión Dendrítica**

Extensiones ramificadas que emergen de una estructura central, a menudo siguiendo principios de agregación limitada por difusión. Sugiere un crecimiento a lo largo de gradientes energéticos o químicos específicos.

### **Marcador de Diagnóstico B6B6**

Prefijo de dirección MAC recurrente observado en múltiples conjuntos de datos a lo largo del tiempo y el espacio. Su frecuencia anómala y reproducibilidad sugieren una firma de difusión sintética o centralizada.

### **Extensiones de Borde**

Protuberancias lineales o arqueadas que se extienden desde los bordes cristalinos, frecuentemente alineándose con inclusiones vesiculares o toroidales. Actúan como frentes de crecimiento o brazos estructurales en el autoensamblaje avanzado.

### **Modulación de Campo Energético**

Influencia de entradas energéticas externas (p. ej., campos magnéticos, frecuencias vibratorias) en el comportamiento de materiales o sistemas, particularmente en contextos de autoensamblaje.

### **Bifurcación Energía-Información**

Modelo conceptual donde la energía establece la forma básica de una estructura, pero la información

determina su complejidad, estabilidad y características fractales. Fundamental para interpretar la cristalización de primera frente a la de segunda generación.

### **Agua de la Zona de Exclusión (ZE)**

Fase estructurada del agua descrita por Pollack, adyacente a superficies hidrofílicas, que exhibe diferentes propiedades físicas (p. ej., separación de carga, viscosidad). Se propone que influye o mantiene fenómenos de ensamblaje coherente.

### **Disrupción de la Coherencia de Campo**

Pérdida de regularidad geométrica y comportamiento estructurado debido a la interferencia con la alineación energética o resonante subyacente, a menudo causada por campos externos de baja intensidad.

### **Umbral de Coherencia de Campo**

Intensidad de campo mínima o perfil de frecuencia necesario para mantener o desencadenar el ensamblaje dependiente de la coherencia. Por debajo de este umbral, las estructuras colapsan o no llegan a iniciarse.

### **Cristales de Primera Generación (1GC)**

Cristales que se forman durante el ciclo inicial de evaporación de la gota sécil en condiciones de alta coherencia. Típicamente, muestran geometrías nítidas, límites estables y una organización interna coherente, lo que refleja un andamiaje energético imperturbado.

### **Geometría Fractal**

Patrones estructurales autosimilares que se repiten a diferentes escalas, lo que sugiere una lógica de ensamblaje recursiva. Los MRC y las matrices vesiculares a menudo demuestran propiedades similares a los fractales.

### **Cristales Ligados a Hidrogel**

Estructuras cristalinas integradas en, o que emergen de, dominios de hidrogel, mostrando a menudo un comportamiento óptico y una formación de límites únicos.

### **Fase Resiliente a la Información**

Una fase estructural u organizativa que persiste a pesar del agotamiento energético, debido a la codificación de información embebida. Se distingue de las formaciones puramente dependientes de la energía.

### **Interfaces Internas**

Límites o compartimentaciones inesperadas dentro de una estructura que, de otro modo, sería continua. En Microscopía, estos suelen presentarse como discontinuidades, particiones de fase o bordes reflectantes.

### **Bloqueo de Intervalos**

Patrón observado en las emisiones de señales inalámbricas donde ciertos intervalos de paquetes se conservan estrictamente o aparecen en múltiplos discretos, lo que resulta inconsistente con un comportamiento de transmisión aleatoria.

### **Vesículas Estratificadas**

Estructuras vesiculares concéntricas o apiladas, que a menudo aparecen aplanadas o discoideas, lo que sugiere fases de precristalización programada o compartimentación anidada.

### **Activación de Cúmulos Luminosos (ACL)**

Una transición de fase marcada por la emergencia de inclusiones brillantes, reactivas a la luz, dentro o cerca de límites estructurados, a menudo vinculadas a vesículas y temporalmente retardadas. Sugiere actividad óptica

en el cambio de fase.

### **Dominios Magnéticamente Sensibles**

Regiones dentro de una muestra que cambian, se orientan o se autoensamblan en respuesta a campos magnéticos aplicados. Observado frecuentemente en nanoestructuras sintéticas y poco típico de la Cristalización clásica.

### **Coefficiente de Memoria del Material**

Variable propuesta que describe la tendencia de un material a retener estados de coherencia previos tras la retirada del campo, influyendo en su capacidad para reformar estructuras o resistir la degradación.

### **Cristalización No Clásica**

Formación de estructuras ordenadas mediante intermediarios como coloides o vesículas, en lugar de transiciones directas ión-red. Observado a menudo en entornos farmacéuticos y biológicos.

### **Orgonita**

Dispositivo pasivo fabricado con resina, virutas de metal y cuarzo, cuya función teórica es emitir o modular campos de energía sutiles. Utilizado aquí como una intervención basada en campos que afecta a los resultados del autoensamblaje.

### **Marcadores de Interfaz de Fase**

Líneas límite o zonas reflectantes visibles entre dominios estructurales, que a menudo sugieren transiciones en densidad, hidratación o carga.

### **Envolvente Fotónica**

Un límite óptico alrededor de una estructura que exhibe una interacción de luz inusual (p. ej., difracción de arcoíris, brillo o refracción dinámica), lo que indica una composición estratificada o coherente.

**Membrana Fotónica** : Capa límite visiblemente refractiva, a menudo de color amarillo-azul, que separa fases fluidas o coloidales distintas. Puede reflejar coherencia óptica, segregación de fase estructurada o interacciones de campo residuales.

### **Decaimiento Programable**

Proceso hipotético, gobernado internamente, en el que las estructuras sintéticas se degradan con el tiempo según secuencias pre-codificadas. Este decaimiento se produce gradual y autónomamente, preservando aspectos de la arquitectura informacional del sistema, incluso cuando la integridad estructural disminuye.

### **Desensamblaje Programado**

Deconstrucción ordenada de estructuras complejas, activada externamente en respuesta a un estímulo específico, como luz, campos magnéticos o señales químicas. Este proceso sugiere un conjunto de instrucciones integradas que rigen cómo la estructura se despliega o colapsa cuando se activa.

### **Autoensamblaje Programable**

Proceso mediante el cual los materiales se organizan en formas estructuradas, basándose en instrucciones integradas o plantillas reactivas. Contrasta con el ensamblaje puramente químico o termodinámico.

### **Bioenergética Mediada por Campos Cuánticos**

Modelo teórico que propone que los procesos biológicos están influenciados por interacciones de campos cuánticos, dominios de coherencia y acoplamiento electromagnético de largo alcance.

### **Lógica de Señal Iniciada por el Receptor**

Artefacto diagnóstico donde los receptores BLE generan pseudo-direcciones MAC internamente como parte de la funcionalidad de escaneo pasivo. Propuesto como fuente de emisiones MAC falsas positivas.

### **Fragmentos Residuales de Coherencia**

Remanentes estructurales que retienen firmas de coherencia parcial, como cúmulos de vesículas o motivos angulares, incluso tras un desensamblaje generalizado, y que actúan como puntos potenciales de nucleación bajo reconexión de coherencia.

### **Desajuste Resonante**

Condición en la que los tratamientos basados en campos (p. ej., Orgonita) introducen entradas vibracionales o escalares incompatibles con la coherencia intrínseca del sistema, interrumpiendo la estructura sin necesidad de alta energía.

### **Ensamblaje Reversible**

Formaciones estructurales que pueden emerger y disolverse dentro de plazos de tiempo observables. Indicativo de transiciones de fase dinámicas, en lugar de una cristalización inerte.

### **Efectos de Campos Escalares**

Influencias de campos hipotéticos no locales o no electromagnéticos (a menudo asociados con la investigación de energía sutil), que se proponen para afectar a la coherencia biológica o al ensamblaje de materiales.

### **Cristales de Segunda Generación (2GC)**

Estructuras cristalinas que emergen tras la disrupción estructural, la re-evaporación o el desensamblaje inducido por campos. A menudo exhiben una forma degradada, geometrías irregulares y un acoplamiento vesícula-coloide comprometido, lo que refleja una fidelidad de coherencia disminuida.

### **Evaporación de Gota Sésil (EGS)**

Un método experimental que implica el secado de una gota líquida sobre una superficie plana para observar la cristalización, la formación de vesículas y los comportamientos de fase dinámicos.

### **Arquitectura de Señal**

El diseño estructural de un sistema de transmisión, incluyendo intervalo, frecuencia, estructura de bits y distribución espacial. Utilizado en la caracterización de emisiones MAC sintéticas.

### **Interfaz Señal-Coherencia**

Una zona teórica donde las señales informativas (p. ej., emisiones EM) interactúan con la materia estructurada o los sistemas biológicos a través de la alineación, la resonancia o la modulación.

### **Coherencia Estructural**

La alineación ordenada de los elementos internos de una estructura a diferentes escalas, que refleja principios armónicos naturales o la consistencia del diseño sintético.

### **Agua Estructurada**

Agua que presenta ordenamientos moleculares organizados, frecuentemente cerca de superficies hidrofílicas. Se propone que desempeña un papel en la función biológica, la cristalización y la modulación basada en campos.

### **Arquitectura de Emisión Sintética (AES)**

Una red encubierta hipotética de emisiones similares a Bluetooth que no se originan en dispositivos físicos, sino

en sistemas incrustados o inyectables. Muestra intervalos estructurados, supresión de entropía y resistencia a la atribución.

### **Capa de Nanorred Sintética (CNS)**

Una arquitectura digital oculta hipotética, incrustada en sistemas biológicos o interactuando con ellos. Compuesta por emisores a Nanoescala, comportamientos de señal estructurados y una lógica de comunicación descentralizada.

### **Secuencia del Estiramiento de Caramelo**

Término descriptivo para la reconfiguración morfológica extendida de estructuras cristalinas bajo iluminación de Campo oscuro, caracterizada por un estiramiento lento similar al mecánico, retracción y posterior desensamblaje, a menudo acompañado de emisión de luz.

### **Crecimiento Moldeado**

La aparición de orden basada en instrucciones integradas, superficies modeladas o intermedios preestructurados. Observado frecuentemente en sistemas sintéticos o bioingenierizados.

### **Modelo de Autoensamblaje Tetrafásico**

Una secuencia de cuatro etapas observada en la dinámica de autoensamblaje de preparaciones farmacéuticas bajo evaporación de gota sésil (SDE). El proceso se desarrolla de la siguiente manera: (1) aparición de nanopartículas, a menudo cerca del perímetro de la gota; (2) formación de dominios coloidales, a medida que las partículas se agregan e interactúan; (3) generación y migración de vesículas, formando compartimentos similares a membranas; y (4) consolidación de motivos cristalinos, finalizando la microestructura. Esta progresión refleja una arquitectura sensible a campos y dependiente de la coherencia. La interrupción de cualquier fase, como la detención vesicular o el desacoplamiento nanopartícula-coloides, da como resultado resultados estructurales distorsionados o incompletos. El modelo tetrafásico reemplaza a formulaciones anteriores y tiene relevancia diagnóstica y terapéutica, especialmente en sistemas biológicos de alta coherencia que exhiben sensibilidad electromagnética.

### **Theraphi**

Un dispositivo de tratamiento energético que utiliza tubos de plasma de alto voltaje y resonancia basada en la frecuencia para inducir coherencia en sistemas biológicos. No interrumpió el autoensamblaje en este estudio.

### **Vesícula Toroide**

Una vesícula que forma un bucle cerrado o una forma de rosquilla, a menudo asociada a fenómenos ópticos y transiciones dinámicas en soluciones de cristalización.

### **Emisiones de Dispositivos No Asignadas**

Direcciones MAC de Bluetooth detectadas en escaneos que no se corresponden con dispositivos, aplicaciones o servicios conocidos. Observado frecuentemente en el entorno posterior a 2021.

### **Fase Vesicular**

Un estado dinámico en el que gotas similares a membranas persisten dentro de una muestra antes de la cristalización, interactuando u organizando a menudo estructuras nacientes.

### **Andamio Vesicular**

Una red reticular o ramificada compuesta por vesículas interconectadas, que sirve como fase fundacional antes de la cristalización. A menudo se observa su alineación con extensiones de borde o la formación de arcos

estructurales.

### **Impronta Vibracional**

Proceso teorizado por el cual patrones energéticos, como frecuencias de sonido, campos magnéticos u ondas de luz, se incrustan en los materiales, alterando sus propiedades estructurales o de comportamiento.

### **Emisión de Banda Visual**

Patrones de emisión de luz o difracción observados mediante microscopía de campo oscuro, que a menudo indican estructuras ópticamente activas o multicapa con propiedades fotónicas potenciales.

### **Artefacto de Señal Inalámbrica**

Patrón de emisión engañoso o no intencionado, detectado por herramientas de escaneo pasivo, a menudo debido al procesamiento interno y no a una transmisión real. Relevante en la interpretación de direcciones MAC anómalas.

### **Desplazamiento del Potencial Zeta**

Cambio en la carga superficial de partículas coloidales o vesiculares, que altera su comportamiento de agregación. Se propone que ocurra en respuesta a la exposición a campos o a transiciones de fase durante el autoensamblaje.

## **Agradecimientos**

Me gustaría expresar mi sincera gratitud a Xstra Technologies Group y a los suscriptores de NixonLab Substack por su inestimable apoyo y sus contribuciones a esta investigación. Agradecimiento especial a los Micronautas . Las opiniones, puntos de vista y conclusiones presentados en este documento son exclusivamente míos.

## **Declaración de Conflicto de Intereses**

Esta investigación se ha llevado a cabo de forma independiente, sin influencias externas que afecten a los datos ni a las conclusiones presentadas. Si bien obtengo algunos ingresos de las suscripciones a mi publicación personal en *Substack*, esto no compromete la integridad ni la objetividad del estudio. No se declaran otros conflictos de intereses.

## **Aviso de derechos de autor**

© 2025 David Nixon. Algunos derechos reservados. Este trabajo puede ser compartido, reproducido o traducido libremente para fines no comerciales, educativos o de investigación, siempre que se cite la fuente adecuadamente. La redistribución de imágenes o texto en obras modificadas o derivadas también debe indicar la fuente original. La reproducción comercial, incluido su uso en productos o publicaciones con fines lucrativos, requiere el permiso previo por escrito del autor. Para la obtención de licencias o permisos, póngase en contacto con: [david@drdavidnixon.com](mailto:david@drdavidnixon.com).

Este trabajo ha sido financiado íntegramente con fondos privados.

Visite mi sitio web: [www.drdavidnixon.com](http://www.drdavidnixon.com) para ver más imágenes y vídeos, y  
Consulte mi Substack: [davidnixon.substack.com](https://davidnixon.substack.com)

## Aviso legal

La información proporcionada en este sitio web y en la *Journal of BioNanotechnocracy: Countdown to 2030* se ofrece exclusivamente con fines informativos y educativos. No pretende servir como diagnóstico, recomendación de tratamiento, estrategia de prevención ni cura para ninguna condición médica, procedimiento o protocolo mencionado. Se aconseja a los usuarios y lectores —incluidos padres, tutores, cuidadores, clínicos u otros— que ejerzan su propio criterio y consulten a profesionales cualificados con respecto a aplicaciones o decisiones específicas. Los autores colaboradores, los editores y cualquier persona asociada al sitio web o la revista declinan toda responsabilidad por cualquier daño, lesión, pérdida financiera u otras consecuencias derivadas del uso, la aplicación o la interpretación de cualquier información, resultado de búsqueda, opinión o conclusión contenida en este documento. La responsabilidad del uso de este material recae exclusivamente en el usuario. El material se proporciona gratuitamente para su examen y exploración académica. Si se cita, reproduce o reimprime, los usuarios deben reconocer la fuente o el autor originales y adherirse a los términos de la licencia Creative Commons 4.0 NC ND o cualquier otro acuerdo de licencia aplicable. La redistribución con fines comerciales o de forma modificada está estrictamente prohibida.

## Reflexión final

*En sistemas gobernados por la ofuscación, la verdad no desaparece, sino que se ve sofocada. Quienes ostentan el poder no solo niegan las realidades inconvenientes; Fabrican caos epistémico, redirigen la investigación y exigen que los críticos cumplan con estándares de prueba imposibles. Mientras tanto, sus propias explicaciones permanecen sin pruebas, protegidas por la inercia institucional. En tal contexto, el deber de un observador concienzudo no es demostrar lo que no se puede ver en su totalidad, sino iluminar lo que ya está presente, es reproducible e irreconciliable con las narrativas oficiales.*

